



Introducción a la Acústica

Apuntes de la asignatura

Alexandre Wagemakers

Universidad Rey Juan Carlos

Madrid, 2007

Índice general

1. Física acústica	7
1.1. Onda sonora	7
1.1.1. La onda plana	8
1.1.2. La onda esférica	11
1.1.3. La onda estacionaria	13
1.2. Impedancia acústica	14
1.2.1. Impedancia de la onda plana	14
1.2.2. Impedancia de la onda esférica	14
1.3. El efecto Doppler	15
1.4. Energía e intensidad	17
1.4.1. Escala logarítmica	17
1.4.2. Intensidad acústica	17
1.4.3. Energía	18
1.5. Reflexión, interfaces	20
1.5.1. Reflexión, transmisión	20
1.5.2. Ley de Snell de la acústica	22
1.6. Fuentes acústica y propagación	23
1.6.1. La esfera pulsante	23
1.6.2. El dipolo	27
1.6.3. Directividad	29
1.6.4. Fuente cardiode	31
1.6.5. El pistón apantallado	33
1.7. Ejercicios	38
2. Analogías acústicas	41
3. Electroacústica	43

4. El altavoz electrodinámico	45
4.1. Impedancia eléctrica	45
4.2. Impedancia mecánica	47
4.3. Función de transferencia	51
4.4. Potencia y rendimiento	51
4.5. Parametros de Thiele-Small	54
4.6. Identificación de los parametros	56
4.7. Angulo de apertura	61
4.8. Diseño de bafles	64
5. Micrófonos	67
5.1. Sensibilidad	67
5.2. Tipos de receptores	68
5.2.1. Micrófonos de presión	68
5.2.2. Micrófonos de gradiente de presión	69
5.2.3. Circuitos acústico	77
5.3. Tipos de Micrófonos	77
5.3.1. Micrófono electrodinámico	77
5.3.2. Micrófono electroestático	80
5.3.3. Otros tipos de micrófonos	82
5.4. Micrófono de guitarras	83
5.5. Ejercicios	86
6. Psicoacústica	89
6.1. El oído humano	89
6.2. Anatomía	89
6.3. Fisiología	90
6.3.1. El oído medio	90
6.3.2. El oído interno	91
6.4. Percepción	94
6.4.1. Sensibilidad de potencia	94
6.4.2. Sensibilidad en frecuencia	95
6.4.3. El efecto còktel	95
6.4.4. Enmascaramiento y codificación audio	96
6.5. Orientación auditiva	97
6.5.1. Localización circular	97
6.5.2. Estimación de la altura	101
6.5.3. Estimación de la distancia	101

7. Acústica de las salas	103
7.1. Salas pequeñas	103
7.2. Salas de conciertos y estudio	106
7.2.1. Reverberación y echo	106
7.2.2. Formula de Norris-Eyring	112
7.3. Claridad	116
7.4. Criterios para una buena acústica	117

Introducción

Que es el sonido? El sonido es antes de todo una interpretación del cerebro de una vibración de la presión exterior. Una vibración del aire llega hasta el oído donde se transforma en impulso nervioso, lo cual está tratado e interpretado como un sonido. Sin embargo llamamos sonido también vibraciones del aire que no podemos oír, como por ejemplo los ultrasonidos o los infrasonidos. Mas generalmente se llama sonido una vibración local de un fluido que se propaga localmente.

Ordenes de magnitud? Cuando hablamos de ondas sonoras se trata de presiones muy pequeñas frente a la presión atmosférica. Como ejemplo la presión atmosférica media se sitúa entorno a 10000 Pa, cuando la mínima presión detectable por el oído es de 20μ Pa.

Capítulo 1

Física acústica

La física acústica trata los sonidos de un punto de vista de la materia. Se toman en cuenta los efectos de la física de fluidos. Con esta introducción vamos a describir los fenómenos básicos de la acústica como la propagación de una onda sonora, el efecto de los medios y también las fuentes elementales de ondas sonoras.

1.1. Onda sonora

Como muchos fenómenos físicos, el estudio de las vibraciones es el punto de mayor importancia de la acústica. Antes de hablar de acústica, que se refiere más al estudio de los fenómenos sonoros. Aquí tratamos el sonido desde la perspectiva de los fluidos, sin preocuparse de que el sonido está relacionado con la percepción que tenemos de ello. A partir de hipótesis simples y algo de física estadística se puede deducir la ecuación de la propagación de una onda de presión, o también llamada onda sonora cuando la onda se propaga en el aire. La onda de presión es una perturbación local que se va propagando por el medio.

En este capítulo vamos a describir las ondas sonoras en función de dos parámetros físicos, la presión del fluido y su velocidad. Estas cantidades van a depender generalmente del espacio y del tiempo. Primero estudiamos la propagación de una perturbación en un plano.

1.1.1. La onda plana

Para estudiar como se propaga el sonido en un fluido consideramos primero un pequeño volumen de gas V , cuyos vertices son $ABCD$ y una superficie S Fig. 1.1. Sobre este pequeño volumen se ejerce una pequeña perturbación de tal modo que el volumen se desplaza en $A'B'C'D'$. La amplitud de la perturbación en x se nota $\epsilon(x)$. El nuevo volumen del gas es entonces la superficie $A'B'C'D'$ multiplicado por S . Este volumen V' se escribe como:

$$V' = S \cdot (dx - \epsilon(x) + \epsilon(x + dx))$$

como tratamos de pequeños volúmenes podemos desarrollar la expresión $\epsilon(x + dx)$ al primer orden:

$$\epsilon(x + dx) \simeq \epsilon(x) + \frac{\partial \epsilon}{\partial x} dx$$

Por lo que el volumen se simplifica como

$$V' = S dx \cdot \left(1 - \frac{\partial \epsilon}{\partial x}\right)$$

El volumen V' se puede interpretar como el volumen V más una pequeña variación dV debida a la perturbación:

$$V' = V + dV = S dx \cdot \left(1 - \frac{\partial \epsilon}{\partial x}\right)$$

Notando que $S dx = V$ obtenemos la variación de volumen en función del gradiente de la perturbación:

$$\frac{dV}{V} = - \frac{\partial \epsilon}{\partial x} \quad (1.1)$$

En los fenómenos de compresión o depresión de un volumen hay un cambio de temperatura del gas. Es el efecto que uno nota cuando incha la rueda de una bicicleta, la bomba se calienta cuando la presión aumenta. Cuando la perturbación se propaga también tenemos un calentamiento del aire localmente. El proceso es considerado adiabático si no hay flujo de calor de una parte a otra. Lo que va a ser el caso para las ondas sonoras debido a que las longitudes de ondas considerados son muchos más grandes que el camino

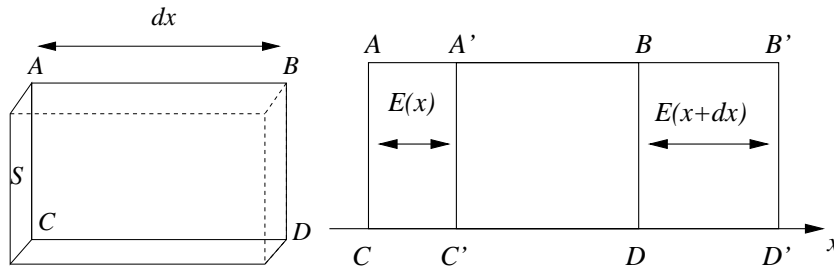


Figura 1.1: pequeño volumen de aire deformado por una perturbación

medio de las moléculas de aire. La onda sonora verifica entonces la ecuación de los gases en condiciones adiabática es decir:

$$pV^\gamma = cst \rightarrow V^\gamma = cst/p$$

Podemos escribir esta ecuación de otra forma:

$$p = cstV^{-\gamma}$$

y derivamos frente al volumen para obtener la variación de la presión en función del volumen:

$$\frac{dp}{dV} = -\gamma cstV^{-\gamma-1}$$

Usando las expresiones anteriores llegamos a

$$\frac{dp}{p} = -\gamma \frac{dV}{V}$$

La presión atmosférica o presión estática se toma como presión de referencia, estudiamos pequeñas variaciones de presión entorno a esta. En este caso podemos tomar $p = p_0$. Podemos reformular la ecuación para hacer aparecer la tasa de incremento del volumen:

$$dp = -K \frac{dV}{V} \quad (1.2)$$

con $K = p_0\gamma$. Como ya hemos mencionado en la introducción las presiones en juego son muy inferiores a la presión atmosférica, se trata de pequeñas variaciones entorno a p_0 . A continuación definimos la presión como $p = dp$ por lo

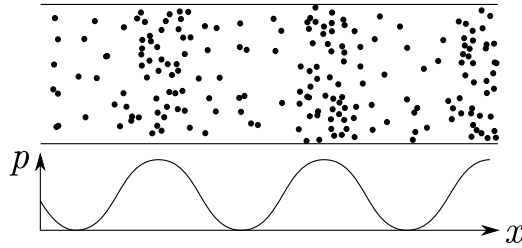


Figura 1.2: Ilustración de la propagación de una perturbación con la correspondiente presión debajo.

que podemos escribir: $p = -KdV/V$. Igualando las ecuaciones 1.1 y 1.4.3 obtenemos una relación entre la presión local y el gradiente de la perturbación:

$$p = -K \frac{\partial \epsilon}{\partial x} \quad (1.3)$$

Esta ecuación es importante, indica que un desplazamiento de aire induce una presión proporcional al gradiente. Ahora nos interesamos a la dinámica de este volumen, es decir cual va a ser su evolución en el tiempo. Las fuerzas ejercidas sobre un pequeño volumen de fluido van ser proporcionales al gradiente de presión sobre cada uno de sus lados:

$$f = -grad(p)$$

En nuestro caso solo se ejerce una presión según el eje x :

$$f = -S \frac{\partial p}{\partial x} dx$$

El principio de la dinámica aplicada al volumen nos asegura que la aceleración del desplazamiento $\epsilon(x)$ por la masa igualan las fuerzas (se desprecian las fuerzas debidas a la gravitación). La masa es igual a $m = \rho S dx$ con ρ la densidad volumica del gas.

$$\rho S dx \frac{\partial^2 \epsilon}{\partial t^2} = -S \frac{\partial p}{\partial x} dx$$

y simplificando:

$$\rho \frac{\partial^2 \epsilon}{\partial t^2} = - \frac{\partial p}{\partial x} \quad (1.4)$$

Combinando 1.3 y 1.4 obtenemos la ecuación de la onda plana:

$$\rho \frac{\partial^2 \epsilon}{\partial t^2} = K \frac{\partial^2 \epsilon}{\partial x^2} \quad (1.5)$$

O de forma equivalente para la presión:

$$\rho \frac{\partial^2 p}{\partial t^2} = K \frac{\partial^2 p}{\partial x^2} \quad (1.6)$$

Las soluciones de las ecuaciones son de la forma:

$$f(x, t) = f_1(x - ct) + f_2(x + ct)$$

con $c^2 = K/\rho = \gamma p_0/\rho$ es la celeridad del sonido en el aire, depende del coeficiente adiabático, de la presión estática y de la densidad del aire. La aplicación numérica con $\gamma = 1,4$, $p_0 = 10000$ Pa y $\rho = 1,3$ Kg/m³ da $c = 343$ m/s⁻¹.

Una manera de anotar la ecuación de onda en forma de exponencial compleja representando la suma de una progresiva y regresiva:

$$p(x, t) = Ae^{j(\omega t - kx)} + Be^{j(\omega t + kx)}$$

La relación de dispersión k se obtiene introduciendo la solución precedente con $B = 0$ en la ecuación 1.6 y derivando dos veces:

$$Aj^2k^2p = \rho/K Aj^2\omega^2p$$

despejando obtenemos la relación de dispersión $k = \omega/c$, la relación es lineal lo que significa que en general todas las longitudes de ondas viajan a la misma velocidad.

1.1.2. La onda esférica

Las ondas esféricas son el segundo tipo importante de ondas de presiones. Son creadas por fuentes pulsantes esféricas con una variación sinusoidal del diámetro. La ecuación de onda deducida en el párrafo anterior puede escribirse de forma más general como:

$$\frac{\partial^2 p}{\partial t^2} = c^2 \nabla^2(p)$$

también llamada ecuación de Helmholtz. Podemos escribir el gradiente en coordenadas esféricas, sin embargo podemos aprovechar la simetría del problema y solo tomar en cuenta la coordenada radial r :

$$\nabla^2(p) = \frac{1}{r^2} \frac{\partial}{\partial r} \left(r^2 \frac{\partial p}{\partial r} \right)$$

Para resolver la ecuación de onda hacemos el cambio de variable $\psi = p/r$ y se sustituye en la ecuación anterior. Después del cálculo obtenemos la ecuación de onda:

$$\frac{\partial^2 \psi}{\partial t^2} = c^2 \frac{\partial^2 \psi}{\partial r^2} \quad (1.7)$$

Conocemos ya las soluciones de esta ecuación, son de la forma:

$$\psi(r, t) = Ae^{j(\omega t - kr)} + Be^{j(\omega t + kr)}$$

y para la presión:

$$p(r, t) = \frac{A}{r} e^{j(\omega t - kr)} + \frac{B}{r} e^{j(\omega t + kr)} \quad (1.8)$$

Tenemos una dependencia en $1/r$ de la presión lo que se traduce en una dependencia en $1/r^2$ para la energía como lo veremos en el tratamiento de la intensidad acústica. Para terminar podemos calcular la expresión de la velocidad. A partir de la ecuación (1.4) tenemos la relación entre la velocidad y la presión:

$$\rho \frac{\partial v}{\partial t} = - \frac{\partial p}{\partial r}$$

Introducimos la expresión de una onda de presión progresiva (1.8) con $B = 0$ y suponiendo un régimen armónico para la velocidad (es decir la velocidad oscila sinusoidalmente). Derivamos la ecuación (1.8) frente a r y la velocidad frente al tiempo, lo que equivale a multiplicar por $j\omega$:

$$\rho j\omega v = \frac{jkA}{r} e^{j(\omega t - kr)} + \frac{A}{r^2} e^{j(\omega t - kr)}$$

Tenemos la expresión de $v(t, r)$:

$$v(t, r) = \frac{kA}{\rho\omega r} e^{j(\omega t - kr)} - \frac{jA}{\rho\omega r^2} e^{j(\omega t - kr)}$$

y simplificando:

$$v(t, r) = \frac{kA}{\rho\omega r} e^{j(\omega t - kr)} \left(1 - \frac{j}{kr} \right) \quad (1.9)$$

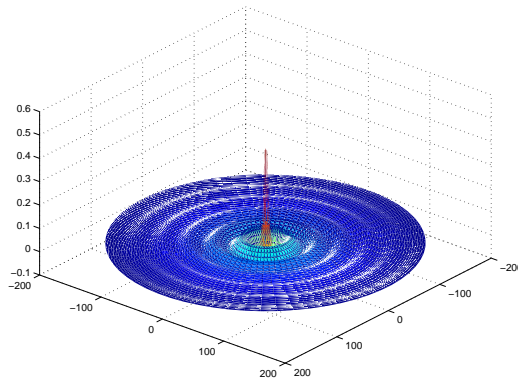


Figura 1.3: Ilustración de la propagación de una onda circular en un instante dado.

Se puede generalizar muy fácilmente esta expresión para $B \neq 0$. Podemos aquí destacar dos cosas importantes. Primero el módulo de la amplitud también disminuye en $1/r$. Por otro lado un término complejo dependiendo de la distancia y del número de ondas k aparece (es el término $(1 - j/kr)$). Existe un desfase entre la presión y la velocidad de la onda, oscilan a la misma frecuencia pero con fases distintas. Este desfase va a tener importancia cerca de la fuente ($r \ll 1$), donde el término complejo domina. Las consecuencias de este desfase son al nivel de energía transmitida al medio. Esta noción de desfase se generaliza con la impedancia acústica.

1.1.3. La onda estacionaria

Las ondas estacionarias aparecen cuando un fenómeno oscilatorio está confinado a un espacio delimitado. Las reflexiones o absorciones condicionada por unas paredes en una cavidad imponen un cierto modo de vibración para la onda. Por otra parte esta cavidad tendrá preferencias para ciertas frecuencias. Este caso se trata con más detalle en el capítulo de acústica en arquitectura. Ahora solo vamos a calcular en un ejemplo simple de una onda acústica entre paredes de distancia x . Si suponemos las paredes puramente reflexivas entonces condiciones sobre la presión en estos puntos.

1.2. Impedancia acústica

La impedancia acústica se define como la razón de la presión y de la velocidad de desplazamiento del flujo $d\epsilon/dt = v$. Como en electricidad, expresa una relación entre una diferencia de potencial (la presión) y un flujo (la velocidad). En general la impedancia depende del tipo de onda y del medio de propagación, se llama impedancia acústica característica. Es una noción importante para las fuentes acústicas, en el cual la impedancia y la potencia radiada están muy relacionadas.

Se puede destacar dos casos sencillos, la onda plana y la esférica.

1.2.1. Impedancia de la onda plana

Tenemos una relación entre la velocidad del flujo y la presión, se trata de la ecuación:

$$\rho \frac{\partial^2 \epsilon}{\partial t^2} = - \frac{\partial p}{\partial x}$$

Con la definición $d\epsilon/dt = v$ y para una onda progresiva esta ecuación para un régimen armónico se transforma en:

$$\rho j \omega v = j k p$$

Obtenemos por fin una relación entre p y v :

$$\frac{p}{v} = \rho c = z_c \quad (1.10)$$

z_c se llama impedancia característica de la onda plana, para el aire ρ_0 obtenemos $z_0 = \rho_0 c$.

Para una onda plana vemos que la presión y la velocidad oscilan en fase. La relación de amplitud depende del medio de propagación. La impedancia característica del aire es mucho más baja que la del agua donde las presiones son mayores pero las velocidades parecidas.

1.2.2. Impedancia de la onda esférica

Para una onda esférica la impedancia ya no es real sino aparecen otros términos:

$$v(t, r) = \frac{kA}{\rho \omega r} e^{j(\omega t - kr)} \left(1 - \frac{j}{kr}\right)$$

Para una onda esferica progresiva $p(r, t) = (A/r)\exp(j(\omega t - kr))$ se obtiene la relación:

$$\frac{p}{v} = z_e = \rho c \left(\frac{jk r}{1 + jkr} \right) \quad (1.11)$$

En este caso la impedancia depende de la distancia y aparece un termino complejo. Hay dos casos importantes: en campo cercano y en campo lejano. En campo cercano ($r \ll \lambda$) tenemos una impedancia totalmente compleja, lo que corresponde a una impedancia reactiva. No hay potencia acústica en esta zona, hay un desfase entre la presión y la velocidad. En campo lejano ($r \gg \lambda$) la impedancia se puede aproximar por $z_e \simeq \rho c = z_c$ lo que corresponde a una onda plana. En campo lejano los frentes de ondas son casi plano lo que permite la aproximación de la onda plana.

1.3. El efecto Doppler

El efecto Doppler acústico aparece cuando el emisor de una onda y el observador tienen un movimiento relativo uno respecto del otro. El fenómeno consiste en un desplazamiento de la frecuencia percibida por el observador respecto a la frecuencia emitida. Este fenómeno es responsable de la diferencia de frecuencia percibida cuando se acerca un coche de policía o cuando se aleja. El problema consiste en cuantificar estos efectos.

En la figura 1.4 se presentan un esquema del emisor y del receptor. El emisor se desplaza siguiendo una recta en sentido de los x positivos a una velocidad v_s . El observador permanece quieto en el punto M . El emisor emite una onda sonora de frecuencia f_s . Las posiciones marcadas $0, 1, 2, \dots$ representan la posición de la fuente cada vez que emite una nueva onda periodica. La relación entre la distancia d y el periodo T_s de la onda emitida es:

$$d = v_s T_s$$

Llamando a la distancia OM y $1M$, r y r' respectivamente, podemos expresar los tiempos T_0 y T_1 correspondientes a la llegada del frente de onda al punto M sabiendo que el medio de transmisión es el aire. El frente de onda emitido en la posición O llega al receptor después de un tiempo r/c , y por otra parte el frente de onda emitido en 1 llega al receptor un periodo después sumado a la

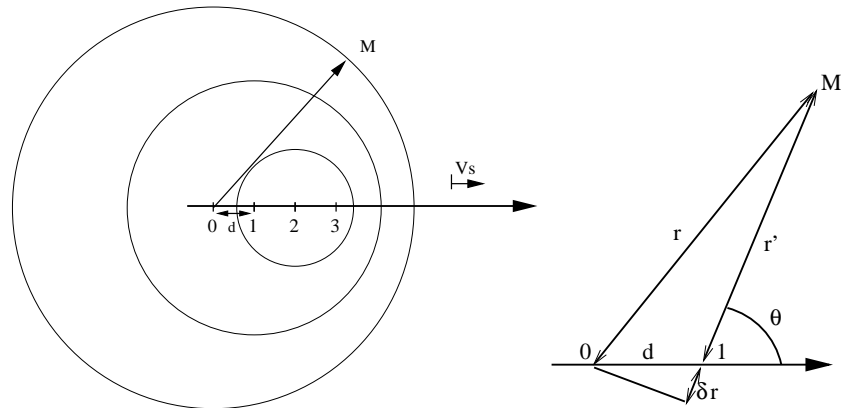


Figura 1.4: Frentes de onda generados por una fuente en movimiento y ondas percibidas por un observador situado en el punto M.

distancia separando los puntos OM . Podemos expresar los tiempos como:

$$\begin{aligned} T_0 &= r/c \\ T_1 &= T_s + r'/c \end{aligned}$$

Ayudandose de la figura 2, tenemos δr en función de v_s , T_s y θ (para r grande frente a $v_s T_s$)

$$\delta r = d \cos(\theta) = v_s T_s \cos(\theta) \simeq r - r'$$

El periodo de la onda percibida por el observador es la diferencia de tiempos entre los dos frentes de onda sucesivos T_0 y T_1 . El periodo del sonido observado en función de v_s , T_s , c y θ es:

$$\begin{aligned} T_1 - T_0 &= T_s + r'/c - r/c = T_s - \delta r/c = \\ &= T_s - v_s/c T_s \cos(\theta) = \\ &= T_s \left(1 - \frac{v_s}{c} \cos(\theta)\right) \end{aligned}$$

y la frecuencia observada es:

$$f'_s = \frac{f_s}{\left(1 - \frac{v_s}{c} \cos(\theta)\right)}$$

Aplicación numérica: Un aficionado se encuentra en la trayectoria de un coche de formula 1 desplazandose a 250km/h. El motor gira a una velocidad de 4000rpm y emite una onda sonora de aproximativamente de 4000Hz. La frecuencia percibida por el observador cuando este se acerca y cuando se aleja es:

1.4. Energía e intensidad

1.4.1. Escala logarítmica

El oído humano tiene una sensibilidad a la potencia del sonido logarítmica (ver percepción) por lo que una medida muy útil para definir la intensidad del sonido es el logaritmo de la presión acústica. Se toma como base del logaritmo la mínima presión percibida por el oído, lo que corresponde a 0dB. La intensidad SPL (Sound Pressure Level) se define como:

$$SPL = 20 \log\left(\frac{p}{p_0}\right) \quad (1.12)$$

con $p_0 = 20 \mu\text{Pa}$, la presión de referencia. En esta ecuación se toman los valores de amplitudes en rms¹. Sobre esta escala podemos definir algunos niveles característicos de la vida cotidiana:

120 db	umbral de dolor (avión)
100dB	concierto
90dB	Ruido urbano
60dB	conversación animada
0db	umbral de audición a 1000Hz

Estos valores dan una referencia de los niveles de presión de los sonidos.

1.4.2. Intensidad acústica

La intensidad acústica es el equivalente al vector de Poynting para una onda electromagnética. Mide la densidad de energía acústica por unidad de superficie. La intensidad de la onda acústica puede definirse como:

$$I(r) = \frac{1}{T} \int p_r(t) u_r(t) dt \quad (1.13)$$

La intensidad corresponde al vector de Poynting en electromagnetismo, es el flujo de energía por unidad de superficie. Para una onda plana la intensidad se

¹Para una onda periódica la amplitud R.M.S (Root Mean Square) se define como: $p_{rms} = 1/T \int_0^T p^2(t) dt$.

mide como:

$$I_p = \frac{1}{T} \int p(t)(p(t)/\rho c)dt = \frac{p^2}{\rho c} = \rho c u^2 = pu [W \cdot m^{-2}]$$

Para una onda esferica las expresión en un punto difiere un poco, usamos unicamente la siguiente ecuación:

$$I_e = \frac{1}{T} \int p(t)u(t)dt = \frac{1}{T} \int \frac{1}{\rho c} \left(1 - \frac{j}{kr}\right) p(t)p(t)dt \simeq \frac{p^2}{\rho c}$$

para $kr \gg 1$. La intensidad de la onda decrece en función de la distancia en $1/r^2$ para una onda esferica. Para determinar la potencia de la fuente se integra la intensidad sobre toda la superficie radiada:

$$P = \int_S I(r) dS \quad (1.14)$$

Para obtener la potencia total de la onda esférica integramos la intensidad I_e sobre toda la superficie:

$$P = \frac{4\pi r^2 p(r)^2}{\rho c}$$

Esta expresión es obviamente independiente de r dado que se conserva la potencia total de la onda.

Al igual que para la presión podemos definir una escala logarítmica a partir de la intensidad de una onda con I_0 la mínima intensidad percibida:

$$L_I = 10 \log \left(\frac{I}{I_0} \right) \quad (1.15)$$

con $I_0 = 10^{-12} W \cdot m^{-2}$ la intensidad de referencia. Para ondas planas la medida en presión y en intensidad no difieren mucho, sin embargo para cierto tipo de ondas como las ondas estacionarias, la presión puede ser alta en amplitud pero la intensidad es baja debido a las ondas incidentes y reflejadas que se cancelan.

1.4.3. Energía

Para determinar la densidad de energía emitida por una fuente acústica se necesita a la vez la energía cinética de la onda de presión y la energía potencial (interna) de la moléculas del gas.

La energía cinética por unidad de volumen se puede determinar a partir de la velocidad de la presión como:

$$e_k = \frac{1}{2}\rho\left(\int v(t)dt\right)^2$$

Con ρ la densidad volumica del gas en cuestión. La integral calcula la velocidad media del gas. Para una onda plana el resultado se calcula facilmente tomando una presión oscilando en el tiempo $p(t) = A\sin(rk - \omega t)$, con esta presión tenemos:

$$e_k = -\frac{1}{2\rho_0 c^2} p^2 \quad (1.16)$$

Para determinar la energia potencial de un volumen V_0 tenemos la primera ley de la termodinámica, la cual enuncia que un cambio de energia interna es igual a menos el trabajo del sistema

$$e_p = -\frac{1}{V_0} \int_V^{V_0} p dV$$

La energia aumenta cuando la presión aumenta, por otra parte para una onda plana habiamos determinado la relación entre la presión y el volumen:

$$dp = -K \frac{dV}{V_0}$$

introduciendo en la precedente podemos calcular la energia potencial para una onda plana, tenemos que tener cuidado en la integral a cambiar los limites, integramos de p_0 a p :

$$e_p = -\frac{1}{K} \int_{p_0}^p p dp$$

para una presión de referencia nula $p_0 = 0$ (cuidado a no confundir con la presión estatica) tenemos la energia potencial:

$$e_p = \frac{1}{2K} p^2 \quad (1.17)$$

La densidad de energia se expresan entonces como la suma de la energia potencial y cinetica:

$$e = \frac{1}{2}\rho_0\left(u^2 + \frac{p^2}{\rho^2 c^2}\right) \quad (1.18)$$

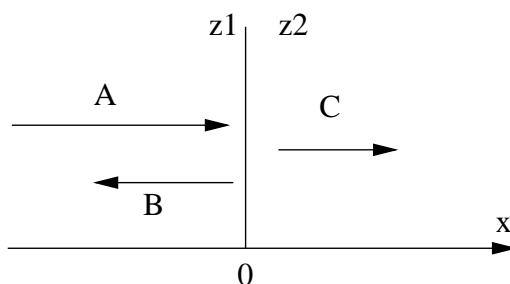


Figura 1.5: Onda reflejada y transmitida en una interfaz entre dos medio de impedancia z_1 y z_2 .

Para tener la energía media conviene promediar esta expresión sobre un periodo de la onda:

$$E = \frac{1}{T} \int_0^T e dt = \frac{1}{2} \frac{pu}{c} = \frac{1}{2} \rho_0 u^2 \quad (1.19)$$

para una onda plana.

1.5. Reflexion, interfaces

En esta parte estudiamos el efecto de transmisión y reflexión cuando la onda de presión pasa de un medio a otro. El ejemplo mas típico es la transición del aire al agua. Sin embargo se puede aplicar a otros fluidos, como por ejemplo capas de aire con un gradiente de temperatura.

1.5.1. Reflexion, transmisión

Como ejemplo paradigmático comentamos los cambios que una onda plana sufre cuando cambia de medio cuyas impedancias son distintas, una onda incidente de amplitud A a la interfaz tiene una parte reflejada de amplitud B y una parte transmitida C . Suponemos la onda incidente normal al plano de la interfaz, ver fig 1.5. En la interfaz $x = 0$ las velocidades de los fluidos tienen que cumplir la condición:

$$-v_B(0) + v_A(0) = v_C(0)$$

la velocidad siendo una cantidad orientada. Lo mismo para la presiones tenemos en la interfaz la condición:

$$p_B(0) + p_A(0) = p_C(0)$$

lo que se traduce en una condición sobre la amplitud de las respectivas ondas: $B + A = C$ Tenemos una relación entre las presiones y las velocidades para este tipo de ondas, usando la impedancia de la onda plana: $z_1 = p_A/v_A$, $z_1 = p_B/v_B$ y $z_2 = p_C/v_C$. Con estas tres ecuaciones obtenemos:

$$-p_B(0)/z_1 + p_A(0)/z_1 = p_C(0)/z_2$$

implicando una nueva condición sobre las amplitudes:

$$(A - B)/z_1 = C/z_2$$

A esta altura podemos definir el coeficiente de transmisión como la relación entre la amplitud de la onda incidente y la de la onda transmitida:

$$T = \frac{C}{A} \quad (1.20)$$

y el coeficiente de reflexión como:

$$R = \frac{B}{A} \quad (1.21)$$

Para la onda plana entre dos fluidos obtenemos la relación de reflexión y transmisión en función de la impedancia usando las dos condiciones sobre la amplitud ($A + B = C$ y $(A - B)/z_1 = C/z_2$):

$$R = \frac{z_2 - z_1}{z_1 + z_2} \quad (1.22)$$

y

$$T = \frac{2z_2}{z_1 + z_2} \quad (1.23)$$

Se puede comentar varios casos de transmisión y reflexión:

- $z_1 < z_2$ y $z_1 > z_2$, hay reflexión y transmisión de ondas en fase o en antifase según la impedancia.

- $z_1 = z_2$, no hay reflexión como lo confirma la intuición, el medio es continuo.
- $z_1 \ll z_2, z_1 \gg z_2$ la reflexión es casi total.

Para tener una medida de la potencia transferida de un medio a otro conviene usar las relaciones de transmisión y reflexión en intensidades:

$$R_I = \frac{I_B}{I_A} = \frac{p_B^2}{p_A^2} = |R^2| \quad (1.24)$$

y

$$T_I = \frac{I_C}{I_A} = \frac{v_C p_C}{v_A p_A} = \frac{p_C^2 / z_2}{p_A^2 / z_1} = \frac{z_1}{z_2} |T^2| \quad (1.25)$$

Ejemplos de impedancia acústica característica	
Aire	413 (Pa.s/m) con 20C
Agua dulce	1494 (Pa.s/m) con 20C
Agua salada	1569 (Pa.s/m) con 20C
Aceite de oliva	1320 (Pa.s/m) con 20C
Madera (pino)	1570 (Pa.s/m)

Fuente: Onda Corp

http://www.ondacorp.com/tecref_acoustictable.html

1.5.2. Ley de Snell de la acústica

Cuando la onda acústica ya no incide sobre un plano pero formando un cierto ángulo con la normal (ver Fig. 1.6) tenemos una relación entre los ángulos de la onda transmitida y la onda incidente similar a la ley de Snell en

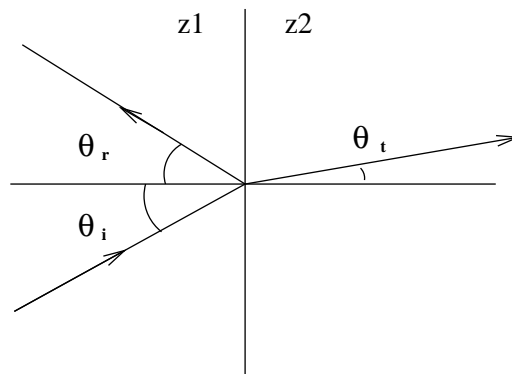


Figura 1.6: Relación de los ángulos de transmisión entre un medio y otro.

optica:

$$\frac{\text{sen}(\theta_i)}{c_1} = \frac{\text{sen}(\theta_t)}{c_2} \quad (1.26)$$

El seno del ángulo de la onda transmitida va a ser modificada por la relación de celeridad de la onda de un medio a otro.

1.6. Fuentes acústica y propagación

En este capítulo veremos varias fuentes acústicas sencillas que permiten aproximar fenómenos de objetos radiante como los altavoces o instrumentos sencillos que no dependen mucho de la geometría.

1.6.1. La esfera pulsante

Es la fuente más sencilla, se trata de una pequeña esfera cuyo diámetro a tiende a cero. El caudal volumétrico generado por esta esfera se expresa como:

$$q_a(t) = 4\pi a^2 v_a(t)$$

con $v_a(t)$ la velocidad de pulsación. Esta fuente genera obviamente ondas esféricas, hemos calculado antes la expresión de la presión y de la velocidad del fluido como:

$$p(r) = \frac{A}{r} e^{-jkr} \quad (1.27)$$

$$v(r) = \frac{A}{\rho cr} \left(1 - \frac{j}{kr}\right) e^{-jkr} \quad (1.28)$$

En esta expresión hemos dejado de lado el termino de oscilación temporal $e^{j\omega t}$ dado que no depende de la distancia. Podemos identificar el parametro A igualando la velocidad en a con la expresión $v_a(t) = q_a(t)/4\pi a^2 = v(a)$. tenemos:

$$q_a(t) = 4\pi^2 v(a) = 4\pi a^2 \frac{A}{\rho ca} \left(1 - \frac{j}{ka}\right) e^{-jka}$$

Para un diametro muy pequeño es decir $ka \ll 1$ podemos aproximar esta expresión por:

$$q_a(t) \simeq \frac{-4\pi a^2 A j}{\rho ca^2 k}$$

La amplitud de la onda generada es entonces:

$$A = \frac{j\rho ck}{4\pi} q_a(t)$$

La presión y la velocidad en función de la distancia se expresan como:

$$p(r) = \frac{j\rho ck}{4\pi} q_a(t) e^{-jkr} \quad (1.29)$$

$$v(r) = \frac{jk}{4\pi r} q_a(t) \left(1 - \frac{j}{kr}\right) e^{-jkr} \quad (1.30)$$

Esta fuente emite la misma intensidad en todas las direcciones, se llama una fuente omnidireccional. Para hallar la potencia de esta fuente se integra la intensidad $I = p_{rms}(r)v_{rms}(r)$ sobre toda la superficie. La potencia de tal fuente depende mucho de la frecuencia:

$$P = \frac{\rho\omega^2 Q^2}{8\pi c}$$

con Q la amplitud rms del caudal volumetrico $q_a(t)$. Esta expresión depende fuertemente de la frecuencia, lo que explica la baja eficiencia de radiación para los sonidos graves. Para tener una potencia razonable en los graves se necesita aumentar el caudal. La mayoría de los instrumentos "grave" como el contrabajo, los tambores de orquestas o altavoces de bajos tienen un tamaño apreciable. Además, esto explica también el tamaño de los altavoces. Los grandes tienen un tamaño grande (woofers, subwoofers, boomers...) cuando

los altavoces para frecuencias altas son relativamente pequeños.

Podemos generalizar estas ecuaciones cuando la fuente ya no tiene un diámetro que tiende a cero. Los cálculos son similares y obtenemos la expresión de la presión:

$$p(r) = \frac{v\rho ca^2 k}{r} \left(\frac{ka + j}{k^2 a^2 + 1} \right) e^{-jk(r-a)} \quad (1.31)$$

con v la velocidad de pulsación de la fuente y para la potencia:

$$P = \frac{2\pi\rho ca^4 k^2 v^2}{k^2 a^2 + 1}$$

Todavía hay una fuerte dependencia de la frecuencia pero también del diámetro de la fuente.

La **impedancia de radiación** de una fuente. Es la impedancia mecánica de una fuente, es decir la relación entre la presión y la velocidad de desplazamiento en la superficie. Esta impedancia representa de cierto modo la resistencia que el aire opone a las vibraciones de la fuente. Esta cantidad permite estimar el comportamiento de la fuente en función de la frecuencia. Se define por:

$$Z_r = \frac{Sp}{v} \Big|_a \quad (1.32)$$

donde S es la superficie del objeto radiante.

Para nuestra esfera pulsante de diámetro a se calcula la impedancia compleja a partir de la presión y de la velocidad calculada antes en la ecuación (1.31):

$$Z_r = S\rho c \left(\frac{k^2 a^2 + jka}{k^2 a^2 + 1} \right) \quad (1.33)$$

Otra vez obtenemos una expresión compleja. Dependiendo de la frecuencia y del diámetro, la fuente puede tener comportamientos reactivos o activos. Si separamos la parte imaginaria de la parte real obtenemos:

$$Z_r = S\rho c \left(\frac{k^2 a^2}{1 + k^2 a^2} + j \frac{ka}{1 + k^2 a^2} \right) \quad (1.34)$$

Para explicar el comportamiento en función de la frecuencia dibujamos en la figura 1.7 la parte real y la parte imaginaria de la impedancia de radiación.

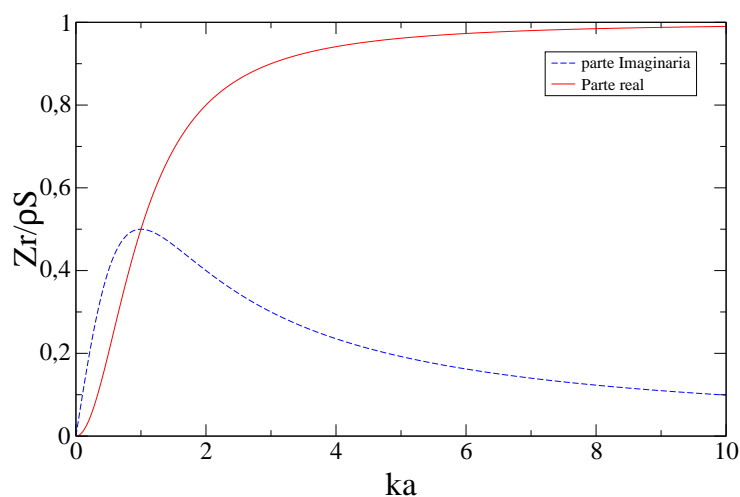


Figura 1.7: Parte imaginaria y real de la impedancia de radiación de la esfera. Se normaliza la impedancia por la densidad multiplicada por la superficie de la esfera. La impedancia se dibuja en función del diámetro por el número de ondas. Para $ka \gg 1$ tenemos también $a \gg \lambda$, es decir que el diámetro es grande frente a la longitud de onda y la impedancia es real, toda la energía se transmite al medio. Para $ka \ll 1$ tenemos $a \ll \lambda$ y la impedancia decrece rápidamente, además de tener una parte imaginaria superior a la parte real. En este caso hay intercambio de energía entre la fuente y el medio.

Podemos destacar varios comportamientos, primero en baja frecuencia la parte real crece rápidamente con ka , la parte imaginaria también crece y tenemos una potencia reactiva importante. La potencia activa representa la potencia que se transmite realmente al medio. La potencia reactiva representa la energía almacenada por el medio y que se devuelve luego a la fuente. En baja frecuencia, la longitud de onda suele ser mayor que el diámetro a de la fuente y las ondas generadas son esféricas. Cuando la longitud de onda disminuye frente al diámetro de la fuente, la parte real satura y tenemos un comportamiento de tipo onda plana, la parte imaginaria disminuye hasta desaparecer.

La impedancia está muy relacionada con la potencia acústica radiada, se puede estimar la potencia activa y reactiva por:

$$P = v^2 Z_r \quad (1.35)$$

Para la potencia acústica activa radiada tenemos:

$$P_a = v^2 S \rho c \frac{k^2 a^2}{1 + k^2 a^2} \quad (1.36)$$

con v la velocidad de la fuente. Esta velocidad va a depender del caudal de la fuente y de su radio como lo hemos especificado al principio de esta sección.

1.6.2. El dipolo

El dipolo va a ser nuestro primer modelo de altavoz sin apantallar. Un altavoz sin baffle crea una onda de presión en su parte delantera al mismo tiempo que provoca una depresión en su parte trasera. Este modelo, para longitudes de ondas grandes frente al diámetro del altavoz, es equivalente a dos esferas pulsantes separadas por una distancia dx y pulsando en oposición de fase (figura 1.8).

En la figura 1.8 se puede apreciar un esquema del dipolo dispuesto verticalmente con una fuente con un caudal de amplitud Q y el otro de amplitud $-Q$. En un punto M del plano tenemos la suma de las dos fuentes como:

$$p(r) = \frac{j\rho ck}{4\pi} \left(\frac{e^{-jk(r+dr)}}{r+dr} - \frac{e^{-jkr}}{r} \right) Q$$

para $a \ll r$ podemos expresar la diferencia de trayecto $dr = a \cos \theta$, además tenemos el límite:

$$\lim_{dr \rightarrow 0} \frac{f(r+dr) - f(r)}{dr} = f'(r)$$

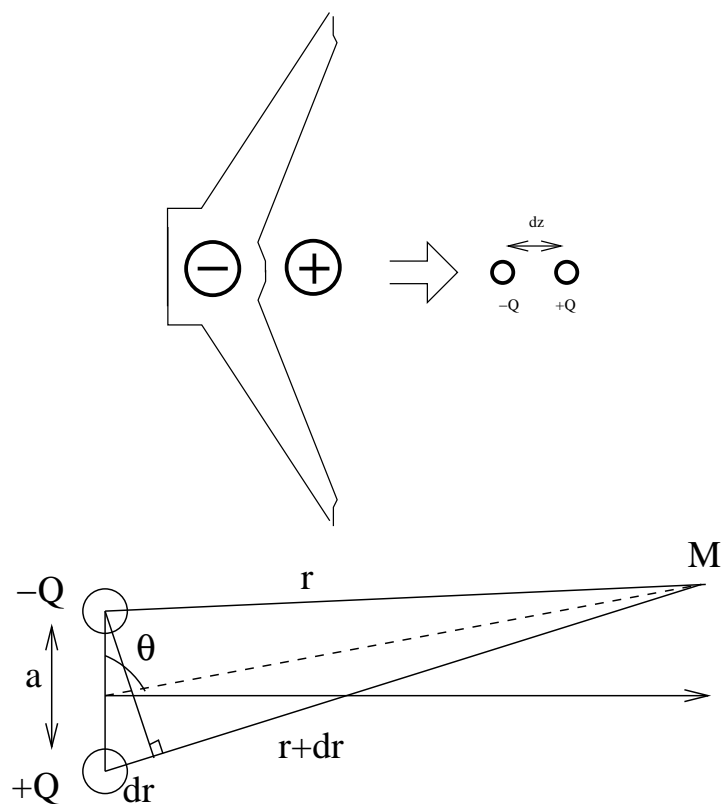


Figura 1.8: modelo del altavoz sin baffle para bajas frecuencias.

por lo que podemos escribir:

$$p(r) = \frac{j\rho\omega k}{4\pi} \left(1 - \frac{j}{kr}\right) Q dr \frac{e^{-jkr}}{r}$$

Al final obtenemos

$$p(r) = \frac{j\rho\omega k}{4\pi} \left(1 - \frac{j}{kr}\right) \frac{e^{-jkr}}{r} \mu \cos\theta$$

Con $\mu = Qa$ el momemto dipolar de la fuente y $d = a\cos\theta$. La función depende del angulo θ , podemos separar las dos contribuciones de la presión: $p(r, \theta) = f(r)h(\theta)$, $h(\theta) = \cos(\theta)$ donde h se llama función de directividad.

1.6.3. Directividad

Esta función representa la amplitud de la radiación en función del angulo θ . Se define de manera general como:

$$h(\theta) = \frac{p(\theta)}{p(\text{axis})} \quad (1.37)$$

Es decir la relación entre la presión sobre el eje y la presión siguiendo el angulo θ . Esta función es indepediente de la distancia y del tiempo, pero puede variar con los parametros del modelo. Es una función muy util para ver en que dirección esta radiada la potencia y también se puede definir en escala logaritmica como:

$$H_{dB}(\theta) = 20\log\left(\frac{p(\theta)}{p(\text{axis})}\right) \quad (1.38)$$

Por otra parte podemos definir el factor de directividad de una fuente como:

$$Q = \frac{I_{axis}(r)}{I_{media}(r)} \quad (1.39)$$

Es la relación entre la intensidad según el eje de emisión (generalmente donde la potencia de emisión en maximal) partido por la intensidad media de emisión. Cuando este factor vale uno la fuente es omnidireccional. Por ejemplo para la voz el factor de directividad es mas o menos igual a la unidad hasta 1000Hz y sube con la frecuencia.

La directividad para la fuente precedente, es decir el dipolo, esta representada en la figura 1.9, en la cual se observa una presión nula el eje del dipolo. Corresponde a una altavoz sin baffle dado que las ondas de presión se cancelan según este eje.

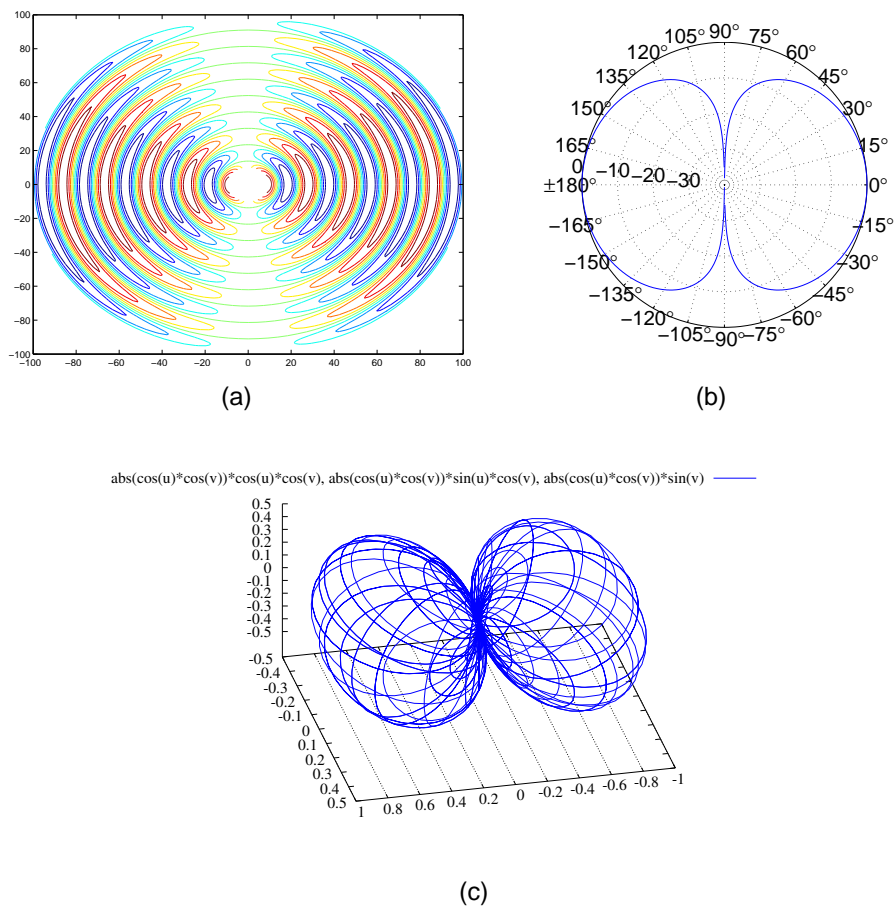


Figura 1.9: Directividad del dipolo en un plano (b) dibujado con un ejemplo de onda de presión con una directividad dipolar (a). En la figura (c) dibujamos la directividad en tres dimensiones. La directividad del dipolo es por ejemplo típica de un diapasón o de un altavoz sin apantallar.

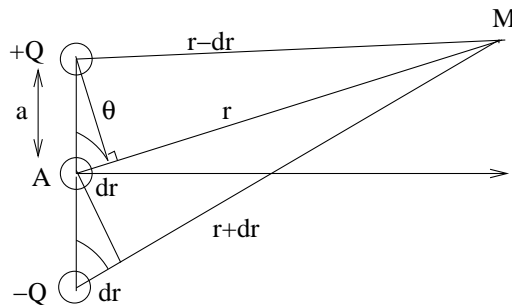


Figura 1.10: Esquema de una fuente cardioide.

1.6.4. Fuente cardioide

Se pueden obtener otros tipos de fuente añadiendo un monopolo entre el dipolo anterior. Si se coloca entre las dos fuentes del dipolo una fuente de amplitud de radiación $A = -jkaQ$ como indicado en la figura 1.10

Se procede de la misma manera sumando las presiones en el punto M.

$$p(r) = \frac{j\rho ck}{4\pi} \left(\frac{e^{-jk(r+dr)}}{r+dr} - \frac{e^{-jk(r-dr)}}{r-dr} - jka \frac{e^{-jkr}}{r} \right) Q$$

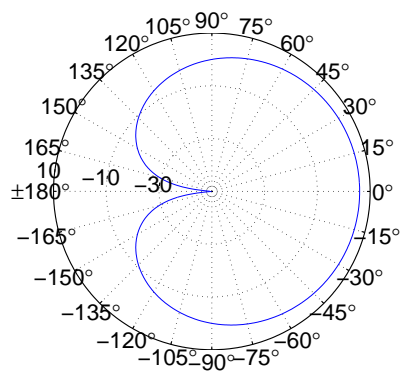
Factorizando y llevando al limite estas expresiones obtenemos:

$$p(r) = \frac{j\rho ck}{4\pi} \left(-jk(dr+a) + dr/r \right) \frac{e^{-jkr}}{r} Q$$

para el campo lejano, es decir para $r \gg dr$ y $dr = a \cos \theta$:

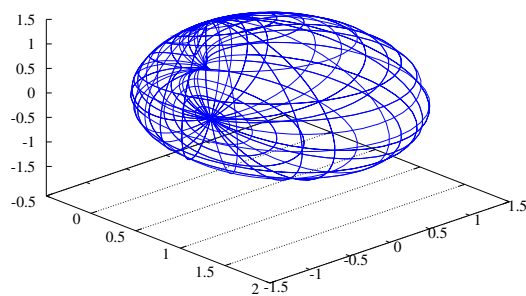
$$p(r) = \frac{\rho ck}{4\pi} a (1 + \cos \theta) \frac{e^{-jkr}}{r} Q$$

Ahora la función de directividad es $f(\theta) = 1 + \cos \theta$ lo que corresponde a la directividad de muchos microfones. Esta curva tan característica permite captar (o emitir) el sonido en un unico emisferio, es util por ejemplo para grabar una unica fuente y descartar a otras interferencias. Estas funciones de directividad son importantes en el diseño de altavoces o de otro tipo de transductor acústico. Es importante saber donde se concentra la energía en función de la frecuencia para poder adaptar la respuesta en función del auditor.



(a)

$$(1+\cos(u)*\cos(v))*\cos(u)*\cos(v), (1+\cos(u)*\cos(v))*\sin(u)*\cos(v), (1+\cos(u)*\cos(v))*\sin(v)$$



(b)

Figura 1.11: Diagrama de directividad de una fuente cardioide en un plano y en tres dimensiones

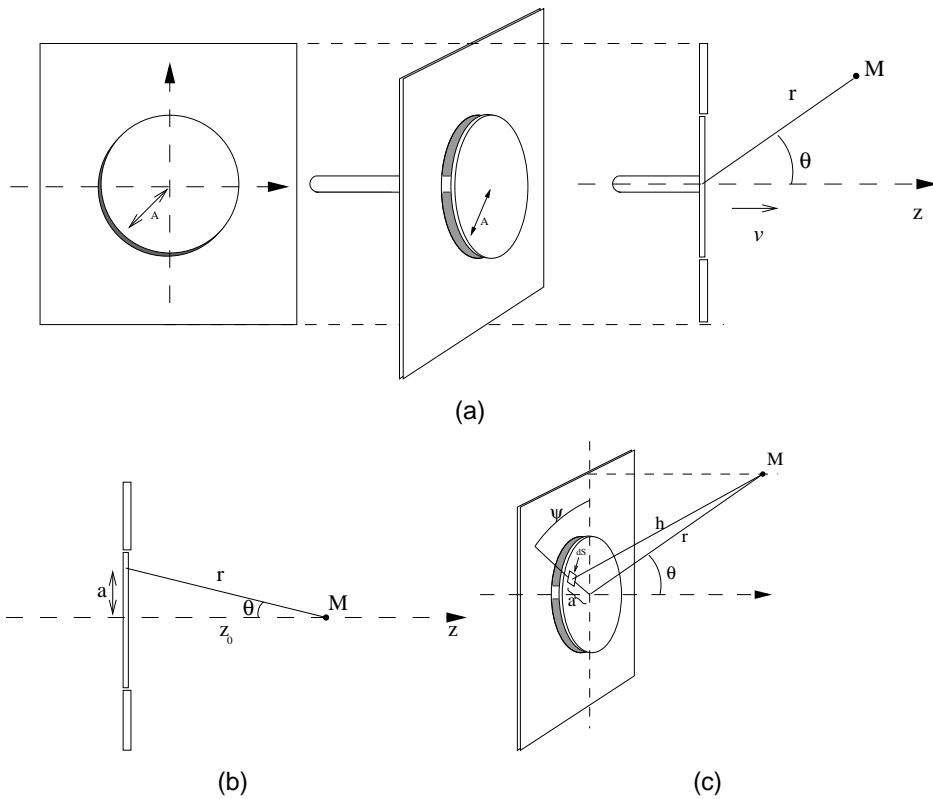


Figura 1.12: Esquema del pistón apantallado.

1.6.5. El pistón apantallado

Este fuente consiste en un pistón circular vibrando sobre un plano infinito. Este modelo corresponde a una aproximación del cono de un altavoz apantallado. El baffle del altavoz puede considerarse como una pantalla infinita dado que su papel es impedir el corto-circuito acústico, es decir que la onda de presión creada en la parte posterior del altavoz no cancele la presión creada delante. Hemos visto antes que un altavoz sin baffle tenía un comportamiento dipolar. El pistón se presenta en la figura 1.12. La velocidad de desplazamiento del pistón es v_a . Para calcular la presión generada en un punto r del semi-espacio (el espacio está partido en dos por la pantalla) se considera que cada elemento de superficie dS del pistón se comporta como una fuente dipolar. La

presión elemental creada por este dipolo es:

$$dp(r) = \frac{j\omega\rho v_a e^{-jkr}}{4\pi r}$$

y para obtener la presión se integra la expresión sobre toda la superficie del disco:

$$p(r, \theta) = \frac{j\omega\rho v_a}{4\pi} \iint_S \frac{e^{-jkr}}{r} dS$$

En el caso general esta ecuación es difícil de resolver, pero se puede calcular la integral en dos casos simplificados. El primer caso consiste en calcular la presión a lo largo del eje z (ver figura 1.12.b). La distancia del punto M al elemento de superficie dS se expresa como $r = \sqrt{a^2 + z_0^2}$ y gracias a la simetría del problema la integral de superficie se puede escribir como:

$$p(z_0) = \int_0^A \int_0^{2\pi} a \frac{e^{-jk\sqrt{a^2+z_0^2}}}{\sqrt{a^2+z_0^2}} d\theta da = \frac{\rho c v_a}{4} (e^{-jk\sqrt{a^2+z_0^2}} - 1)$$

Para los otros puntos del espacio el problema tiene una solución analítica para el campo lejano es decir $r \gg a$ con a el radio del pistón. Siguiendo la notación de la figura 1.12.c podemos entonces aproximar h proyectando primero el segmento a sobre el eje vertical lo cual es igual a $a \sin \psi$ y consiguiente se estima la diferencia de marcha entre los dos trayectos h y r por

$$r - h \simeq a \sin \psi \cos \theta$$

El elemento de superficie dS produce entonces una presión elemental dP :

$$dp(r) = \frac{j\omega\rho v_a e^{-jkh}}{4\pi r} dS$$

tenemos por otra parte podemos escribir $dS = a da d\psi$:

$$dp(r) = \frac{j\omega\rho v_a e^{-jkr}}{4\pi r} e^{jka \sin \psi \cos \theta} a da d\psi$$

Integrando sobre toda la superficie del disco obtenemos la presión creada por el pistón en todo punto:

$$p(r) = \frac{j\omega\rho v_a e^{-jkr}}{4\pi r} \int_0^a \int_0^{2\pi} a e^{jka \sin \psi \cos \theta} da d\psi \quad (1.40)$$

$$p(r) = \frac{j\omega\rho v_a e^{-jkr}}{4\pi r} \left(\frac{2J_1(ka \sin \theta)}{ka \sin \theta} \right) \quad (1.41)$$

Con J_1 la función de Bessel de primer especie y de orden 1. La función de directividad aquí es mas compleja que los precedentes ejemplos:

$$h(\theta) = \frac{2J_1(ka \sin \theta)}{ka \sin \theta} \quad (1.42)$$

Además esta función depende de la frecuencia de la onda y del radio del pistón.

En la figura 1.13 dibujamos varios ejemplos de diagramas de directividad para un radio de 10cm y para tres longitudes de ondas. Se puede observar que para una longitud de onda baja (1 metro) el pistón radia en todas las direcciones. Pero en cuanto aumente la frecuencia de la onda sonora el sistema se vuelve muy directivo. Las figuras también representan la presión alrededor del pistón. La amplitud de esta decrece en $1/r$ a medida que se expande la onda acústica.

Impedancia de radiación La impedancia de radiación del pistón es la relación entre la fuerza ejercida por el pistón con relación a la velocidad del fluido alrededor. Esta cantidad nos sera muy útil a la hora de modelizar los altavoces porque da una estimación de la impedancia de radiación de un altavoz en un baffle. Los calculos son muy complejos y daremos aquí solo el resultado con las aproximaciones estandares:

$$Z_{ar} \simeq \rho_0 c \pi a^2 \left(1 + j \frac{2c}{\pi a \omega}\right) \quad (1.43)$$

para $\omega \gg c/2a$, y

$$Z_{ar} \simeq \rho_0 c \pi a^2 \left(\frac{a^2 \omega^2}{2c^2} + j \frac{8a\omega}{3\pi c}\right) \quad (1.44)$$

para $\omega \ll c/2a$. Para el detalle de los calculos ver (Morse 1961). Podemos notar que para frecuencias altas ($\omega \gg c/2a$) que la parte real de la impedancia no depende de la frecuencia, esta saturada. Cuando para frecuencias bajas la impedancia crece con ω^2 . La potencia radiada del pistón es directamente relacionada con la impedancia de radiación. Cuando la impedancia es alta la resistencia a la vibración es alta y hay mas potencia acústica. Cuando lo que vibra no encuentra resistencia entonces no hay casi potencia emitida. En la figura 1.14 tenemos una representación grafica de la impedancia de radiación del pistón apantallado. Tenemos la fórmula exacta así como las aproximaciones precedentes superpuestas. Se puede observar que las aproximaciones son correctas en sus regiones respectivas ($ka \ll 1$ y $ka \gg 1$).

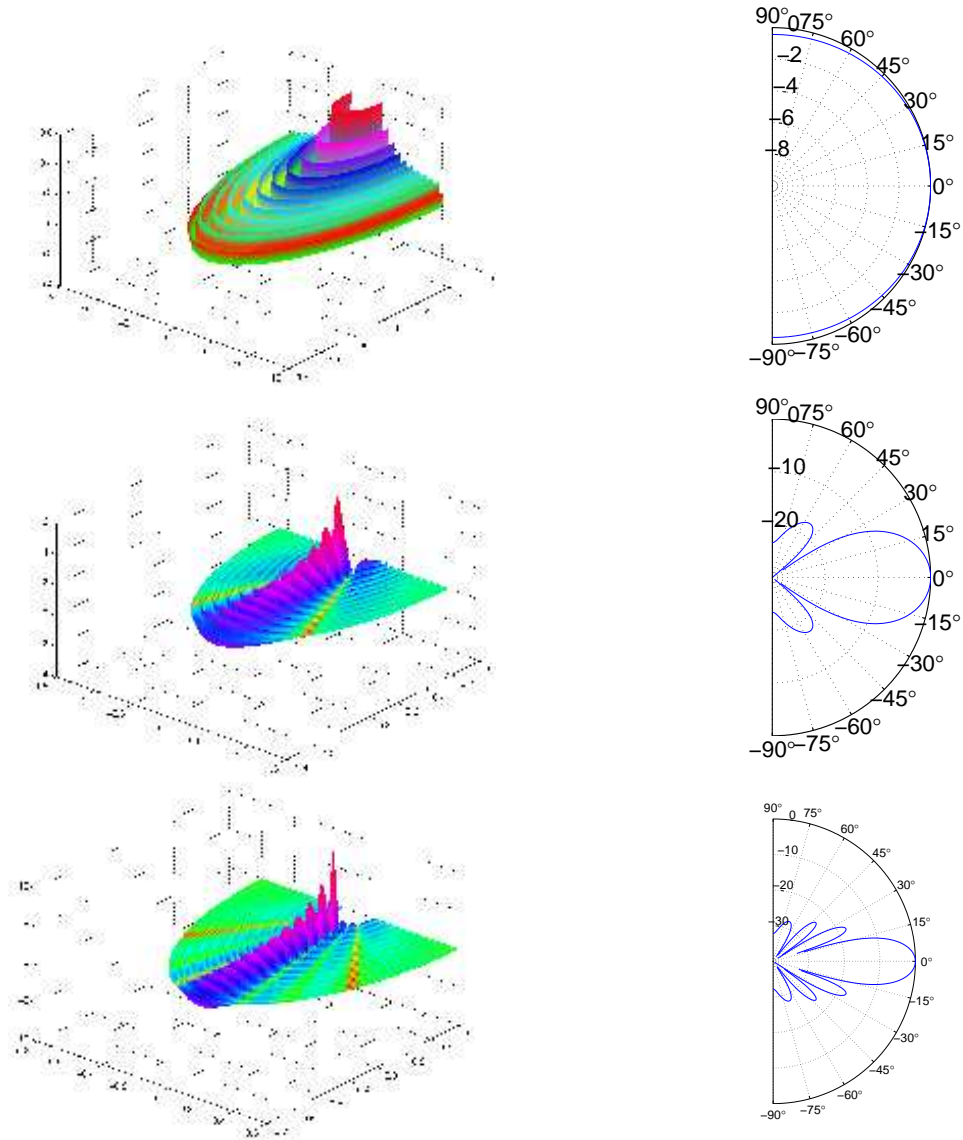


Figura 1.13: Diagrama de directividad en dB para $A = 0,1\text{m}$ y tres longitudes de ondas: $\lambda = 1\text{m}$ (arriba), $\lambda = 0,1\text{m}$ y $\lambda = 0,05\text{m}$ (abajo). Las figuras en tres dimensiones proporcionan la presión del pistón en tres dimensiones para $r \in [0,5; 2]\text{m}$, la presión tiene una dependencia de la amplitud en $1/r$.

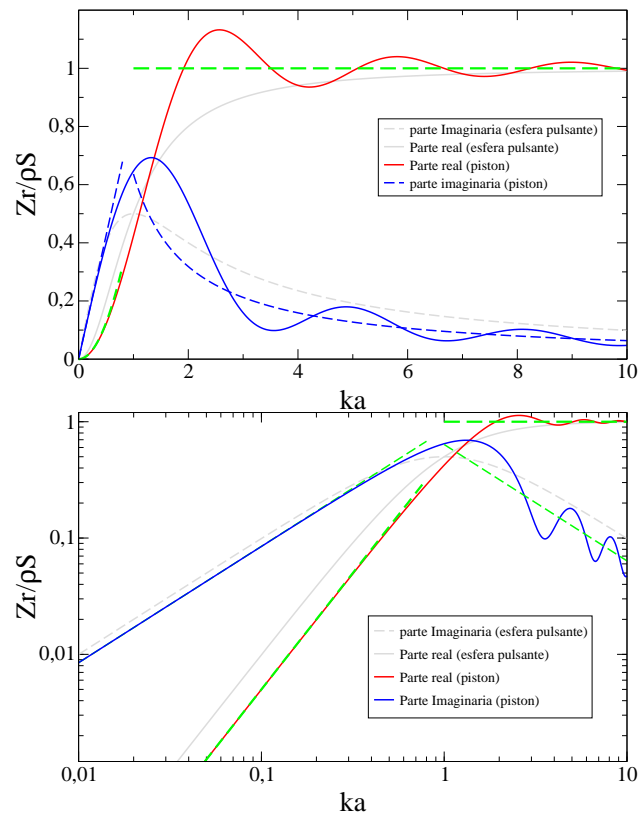


Figura 1.14: Impedancia de radiación del pistón apantallado junto con las aproximaciones en baja frecuencia y en alta frecuencia (líneas discontinuadas). En la misma figura hemos dibujado la impedancia de radiación de la esfera pulsante. Abajo representamos la misma figura en escala log-log.

1.7. Ejercicios

1. Presión y Intensidades.

Una onda plana de amplitud: $p_{rms} = 2 \cdot 10^4 \text{Pa}$ vibra en el agua. En el agua tenemos $z_a = 1,48 \cdot 10^6 \text{Pa.s.m}^{-1}$. Calcular la intensidad de la onda. Calcular la presión acústica de la misma onda en el aire. Calcular la relación entre la presión del agua y la del aire.

Una fuente de sonido en el aire radia ondas esféricas a 400Hz y con una potencia acústica de 10mW. Calcular a la distancia de 0.5m: la intensidad, la amplitud de la presión, la velocidad y la amplitud del desplazamiento.

2. Interfaces

El agua tiene una densidad $\rho = 1000 \text{kg.m}^{-3}$ y un coeficiente $\gamma p_a = 2,2 \cdot 10^9 \text{N.m}^{-2}$. Calcular la celeridad del sonido en el agua. Para una onda plana calcular el coeficiente de transmisión del aire al agua. Dar también el coeficiente de transmisión de intensidad en dB.

3. Intensidades

¿Dado una onda plana de 40dB de intensidad, de que factor tiene que aumentar la presión para aumentar la intensidad de 10dB?

4. Fuente monopolar

Una fuente puntual de caudal 25l.s^{-1} pulsa a 1000hz. Dar la potencia acústica. Calcular la intensidad y la presión a 8m. Dar la potencia de otra fuente de 500Hz para obtener la misma intensidad que la otra fuente.

La impedancia de radiación determina en un cierto sentido la potencia radiada en función de la distancia. Para una fuente monopolar de radio a tenemos la expresión de esta impedancia (ver texto). Discutir el efecto de esta impedancia sobre la potencia en campo cercano y en campo lejano.

5. Fuente dipolar

Calcular el factor de directividad de la fuente dipolar a partir de la intensidad sabiendo que esta toma la forma: $I(r, \theta) = \alpha(r) \cos^2(\theta)$ con α una

función de la distancia.

Misma pregunta con la fuente cardioide con la intensidad: $I(r, \theta) = \alpha(r)(1 + \cos(\theta))^2$.

A partir de la expresión de la presión de la fuente dipolar calcular la velocidad en función de la distancia y del ángulo.

6. Piston plano

7. Ejemplos aplicados

Un concierto en el aire libre produce un sonido de 60dB SPL a 3km del lugar del evento. El altavoz se puede considerar como una fuente monopolar emitiendo en un semi-emisferio. Calcular la potencia acústica de la fuente. ¿Sabiendo que el rendimiento del altavoz es de 1 % cual es la potencia eléctrica de alimentación?

Un sonar de un barco emite un breve impulso de un sonido debajo del agua y capta la respuesta 3 milisegundo después de la emisión del impulso. ¿Cuál es la profundidad del fondo?

¿Para un sonar que rango de frecuencias se usan? ¿Altas o bajas?
¿Porque?

Imaginar un experimento para medir la velocidad del sonido en el agua sobre un lago.

¿Cuál es el desplazamiento en frecuencia de una sirena de coche de policía de 500Hz cuando este se acerca a 60km por hora?

Capítulo 2

Analogías acústicas

Existen distintos formalismos para tratar de la física de fluidos. Hasta ahora hemos usado ecuaciones diferenciales para resolver la ecuación de onda o para representar la radiación de ciertas fuentes. Sin embargo para otros problemas de acústica existe otro formalismo que resulta más cómodo. Se trata de la analogía eléctrico-acústica en la cual los distintos elementos de un circuito acústico están representados por circuitos eléctricos. En los circuitos equivalentes ya no circulan corrientes de electrones sino velocidad de flujo.

Presentamos a continuación las analogías más útiles para realizar cálculos más rápidamente.

Capítulo 3

Electroacústica

En este capítulo presentamos los principios de la transducción electroacústica. La transducción es la transformación de una señal eléctrica en una señal acústica. No todos los transductores emiten sonidos audibles. Por ejemplo existen muchos sistemas aprovechando los ultrasonidos, como los sonars o las ecografías. En la figura 3.1 enseñamos un esquema de las sucesivas transformaciones de la señal acústica. Primero la señal eléctrica es tratada y transformada en un movimiento mecánico. El movimiento mecánico se transmite luego al medio con un difusor. Aquí describiremos los transductores más importantes y más comunes que son los altavoces y los microfonos.

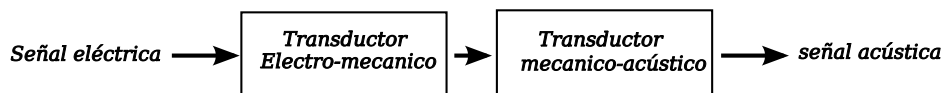


Figura 3.1: Figura de principios de la transducción electroacústica

Capítulo 4

El altavoz electrodinámico

El altavoz electrodinámico es posiblemente el transductor acústico más usado en el mundo. Este dispositivo permite transformar una señal eléctrica en una onda de presión audible. El principio del funcionamiento se basa en el principio de la fuerza de Laplace, es decir que una corriente en un hilo circulando en un campo magnético uniforme provoca una fuerza en el hilo conductor. Para poder transformar las señales eléctricas se coloca una bobina en un campo y los desplazamientos de la bobina se transmiten al aire por medio de un cono. Un esquema del altavoz electrodinámico se encuentra en la figura 4.1. El dispositivo combina entonces tres elementos básicos, un imán, una bobina y el cono. El altavoz se divide en tres partes lógicas: la parte eléctrica, la parte mecánica y la parte acústica. Es un sistema electromecánico.

4.1. Impedancia eléctrica

La parte más sencilla del altavoz consiste en la parte eléctrica, la cual se puede modelar sencillamente considerando la bobina. Tenemos la fuente de la señal eléctrica (típicamente un amplificador), la inductancia de la bobina, su resistencia y por fin una fuerza electromotriz inducida.

Esta fuerza electromotriz es debida a la ley de Lenz, la velocidad de desplazamiento del conductor en el campo magnético provoca una fuerza sobre los electrones que se opone a la causa que le ha dado lugar. La ley de Lenz se formula como: $F = qv \times B$ con el campo magnético B perpendicular a la velocidad de desplazamiento (ver figura 4.2) y se resume como $F = qvB$ con q la carga de un elemento dS del hilo. Por otro lado en un conductor podemos

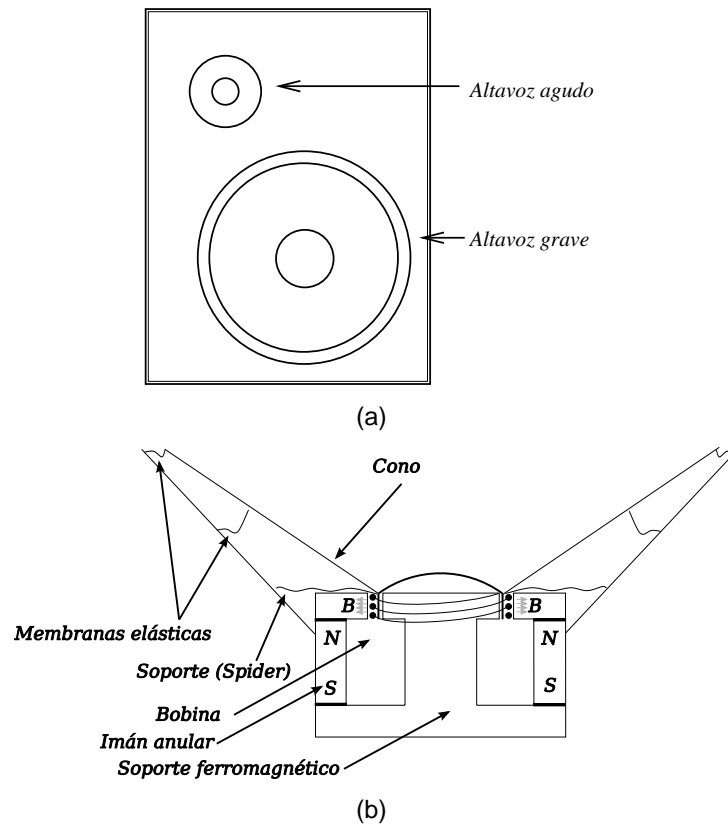


Figura 4.1: (a) Esquema de un altavoz con baffle, en general encontramos dos o tres altavoces en el mismo baffle. (b) Esquema del altavoz electrodinámico.

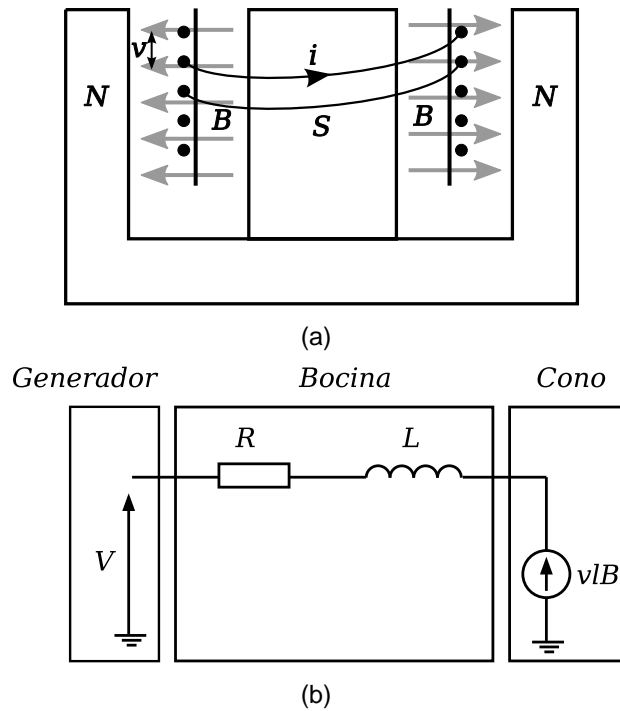


Figura 4.2: (a) Esquema de la base del altavoz, la bobina y el iman. (b) Esquema eléctrico equivalente del altavoz.

considerar que el campo eléctrico se expresa como $F = q\varepsilon$. Por lo cual el desplazamiento de la bobina provoca la creación de una f.e.m en el circuito tal que $e = \int_0^l \varepsilon dl = v(t)lB$. Se desprecian los efectos debidos a las capacidades parasitas entre los hilos de la bobina. A partir del esquema de la figura 4.2 podemos escribir la impedancia eléctrica del altavoz cuando este funciona en régimen armónico:

$$V - (jL\omega + R)i - vlB = 0 \quad (4.1)$$

notamos la impedancia eléctrica del altavoz el termino:

$$Z_e = jL\omega + R \quad (4.2)$$

La impedancia nominal dada por el constructor corresponde con R y depende de la longitud de la bobina y de la sección del hilo. En general para aplicaciones audio este valor oscila entre unos Ohmios hasta pocas decenas de Ohmios.

4.2. Impedancia mecánica

Para obtener la impedancia mecánica necesitamos hacer el balance de las fuerzas presentes sobre el sistema bobina/cono dado que son solidarios. Para ello contamos todas las fuerzas presentes en el sistema:

- Fuerza de Laplace ejercida por el alambre en el campo magnético. Dado que el campo magnético es constante (tenemos un imán) y que la longitud del hilo es l la fuerza total sobre el alambre es: $F = Bli$.
- Las membranas elásticas ejercen una fuerza sobre el cono similar a la de un muelle, la fuerza resulta ser $F_m = -kx$ con x el desplazamiento del cono según el eje vertical en la figura 4.2.
- Los rozamientos del aire no son despreciables, las velocidades de vibración son elevadas. Por lo tanto se aplica una fuerza de rozamiento proporcional a la velocidad de desplazamiento: $F_r = -fv$ con v la velocidad del sistema y f un coeficiente que depende de la geometría.
- Para terminar se toman en cuenta las fuerzas resultantes de las presiones acústicas a ambos lados del altavoz, $F_a = pS$. La presión p va a depender de muchos parámetros como la geometría del altavoz, el entorno, la frecuencia etc. S es la superficie de la membrana. Esta expresión se puede escribir también como: $F_a = -Z_r v$ con Z_r la impedancia de radiación del sistema. Como aproximación se puede tomar la impedancia del pistón apantallado calculada antes.

En la figura 4.3 enseñamos un equivalente esquemático del altavoz. Por un lado tenemos el corte del altavoz y a la derecha el equivalente mecánico de cada una de sus partes. Los muelles corresponden a la elasticidad de los soportes, los pistones representan las diversas fuerzas de rozamiento. En último representamos la impedancia de radiación como intermedia entre el cono y el aire. Esta representación permite clarificar el papel de cada elemento y su función al nivel mecánico.

Ahora que tenemos todas las fuerzas presentes podemos aplicar el principio de la dinámica al sistema bobina/cono:

$$m \frac{dv}{dt} = Bli - kx - fv - Z_r v$$

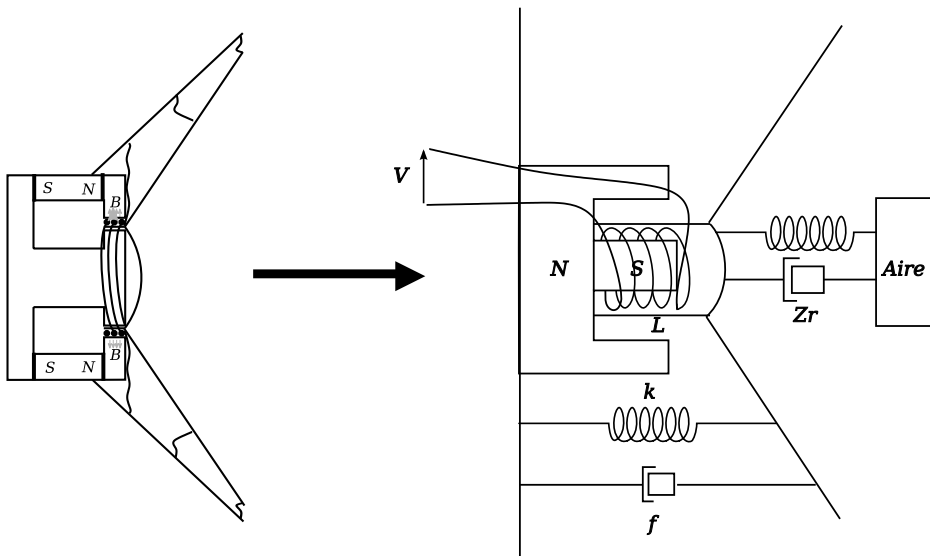


Figura 4.3: Equivalente esquemático del altavoz electrodinámico. Tenemos a la izquierda una un corte de un altavoz y a la derecha el equivalente al nivel de dinámica de cada uno de los componentes. Tenemos en la derecha los muelles corresponden a la elasticidad del baffle y el pistón los rozamientos. Tenemos además una masa de aire que el cono empuja y esta representado por una masa unida por un muelle y un pistón.

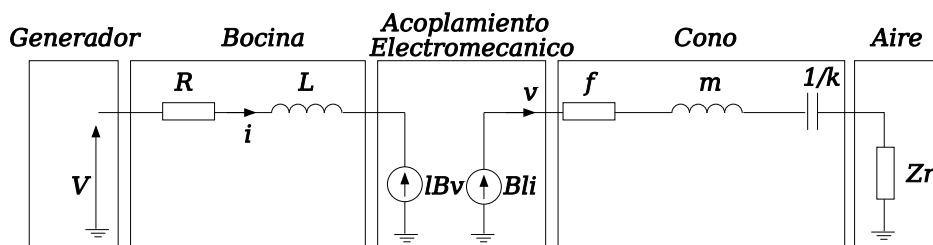


Figura 4.4: Esquema electro-mecánico equivalente completo del altavoz. La bocina se modeliza con una resistencia en serie con una inductancia. El sistema mecánico se compone de la masa del cono m , los rozamientos f así como la constante elástica k de los soportes. El acoplamiento electromecánico se puede representar también por un transformador de corriente a velocidad de relación de transformación Bl

En regimen harmonico la expresión se simplifica en:

$$mj\omega v = Bli - \frac{k}{j\omega}v - fv - Z_r v$$

despejando la expresión tenemos:

$$v(mj\omega + \frac{k}{j\omega} + f + Z_r) = Bli$$

Definimos la impedancia mecanica como:

$$Z_m = mj\omega + \frac{k}{j\omega} + f \quad (4.3)$$

La velocidad se expresa sencillamente por:

$$v(Z_m + Z_r) = Bli \quad (4.4)$$

La precedente ecuación diferencial se puede también representar en forma de un circuito electrico en el cual la velocidad de la membrana juega el papel de la intensidad en el circuito electrico. Estas analogias entre circuitos electricos y mecanicos son muy practicas a la hora de calcular funciones de transferencia de un sistema electroacústico. El esquema completo de la impedancia del altavoz se muestra en la figura 4.4 donde representamos la impedancia electrica y mecanica. Notese que los generados de fuerza electromtriz pueden considerarse como un transformador de corriente a velocidad con relación de transformación Bl .

Gracias a esta expresión y con la ayuda de la ecuación (4.1) podemos ahora determinar la función de transferencia total del sistema.

4.3. Función de transferencia

Ahora nos interesa obtener la impedancia total del sistema, es decir queremos expresar la tensión V en función de i para caracterizar el altavoz. Para llegar a esta expresión necesitamos las ecuaciones (4.1) y (4.4).

$$\begin{cases} v(Z_m + Z_r) = Bli \\ V - Z_e i - vlB = 0 \end{cases}$$

Después del calculo obtenemos la siguiente formula:

$$V = \left(Z_e + \frac{(Bl)^2}{Z_m + Z_r} \right) i \quad (4.5)$$

Es la impedancia total que se puede medir a partir de la tensión eléctrica. El factor Bl es el factor que permite el acoplamiento electro-mecánico, es el elemento que hace el puente entre los dos dominios. Por otra parte es un parametro importante en el diseño de los altavoces y se conoce también como el factor de fuerza. Este factor acopla las impedancias mecanicas y electricas en a figura 4.4. A partir de este esquema podemos llegar a la misma ecuación (4.5).

Como veremos adelante es posible medir la impedancia del altavoz experimentalmente. A partir de esta medida de impedancia podemos obtener mucha información sobre las características del altavoz.

4.4. Potencia y rendimiento

Para estimar la potencia de un altavoz en primer estancia podemos usar el modelo del piston plano apantallado para lo cual existe una expresión aproximada de la impedancia de radiación como hemos visto en el primer capítulo:

$$Z_{ar} \simeq \rho_0 c \pi a^2 \left(1 + j \frac{2c}{\pi a \omega} \right) \quad (4.6)$$

para $\omega \gg c/2a$, y

$$Z_{ar} \simeq \rho_0 c \pi a^2 \left(\frac{a^2 \omega^2}{2c^2} + j \frac{8a\omega}{3\pi c} \right) \quad (4.7)$$

para $\omega \ll c/2a$. Representamos en la figura 4.5 la impedancia de radiación normalizada a $\rho_0 c/S$ con $S = \pi a^2$ para estas aproximaciones así como la solución exacta de la impedancia del piston. Notese que las aproximaciones son bastante exactas en sus dominios de validez es decir para $ka \ll 1/2$ y $ka \gg 1/2$. En la misma figura hemos dibujado la impedancia de radiación de la esfera pulsante. La aproximación de la esfera pulsante es también satisfactoria en bajas frecuencias y en altas frecuencias. Entremedio la aproximación deja de ser valida y la referencia a la solución exacta es necesaria.

La potencia irradiada por el altavoz total se expresa como:

$$P = |v_m|^2 Z_{ar} \quad (4.8)$$

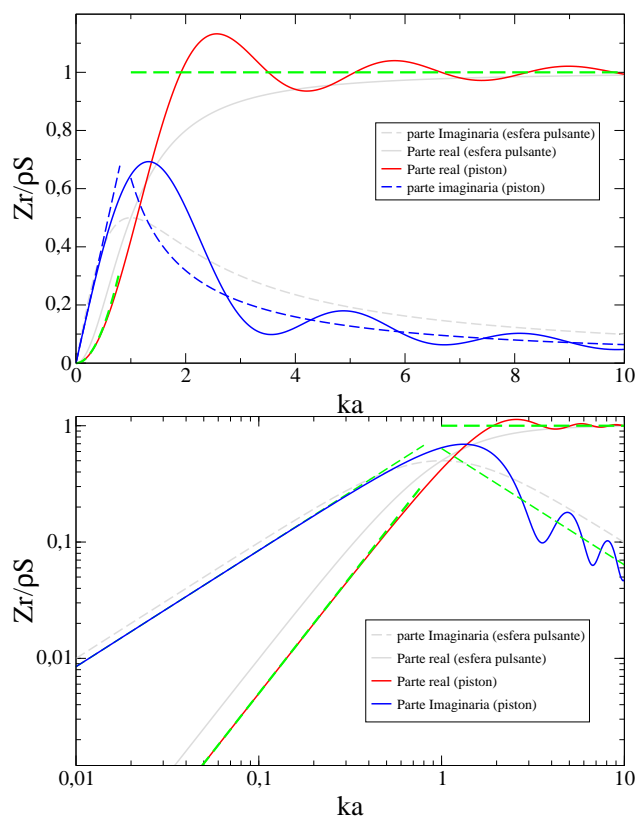


Figura 4.5: Impedancia de radiación del pistón apantallado junto con las aproximaciones en baja frecuencia y en alta frecuencia (líneas discontinuadas). En la misma figura hemos dibujado la impedancia de radiación de la esfera pulsante. Abajo representamos la misma figura en escala log-log.

Con v_m la velocidad en valor eficaz de la membrana. La potencia tiene entonces una parte real, la potencia activa y una parte imaginaria, la potencia reactiva. La potencia real corresponde al flujo de energía que se transmite al medio. La potencia reactiva corresponde a la energía almacenada en el entorno del altavoz y de esta energía una parte se disipa en el medio y otra vuelve a la membrana. Corresponde también al desfase entre la presión y la velocidad del fluido.

Para calcular la potencia real radiada por el altavoz consideramos la potencia total:

$$P_r = |v_m|^2 R_{ar} \quad (4.9)$$

La velocidad de la membrana se puede obtener a partir de las ecuaciones anteriores para el altavoz (4.1) y (4.4), después de un cálculo sencillo tenemos para la velocidad:

$$v_m = \frac{VBl}{(R + jL\omega)(mj\omega + k/(j\omega) + f + Z_{ar}) + (Bl)^2} \quad (4.10)$$

Por lo tanto podemos expresar la potencia del altavoz con:

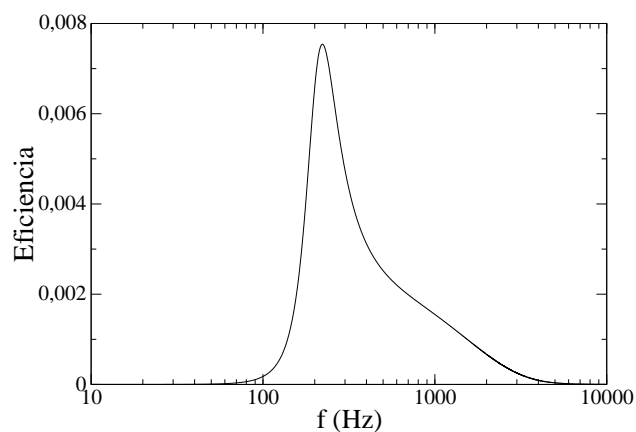
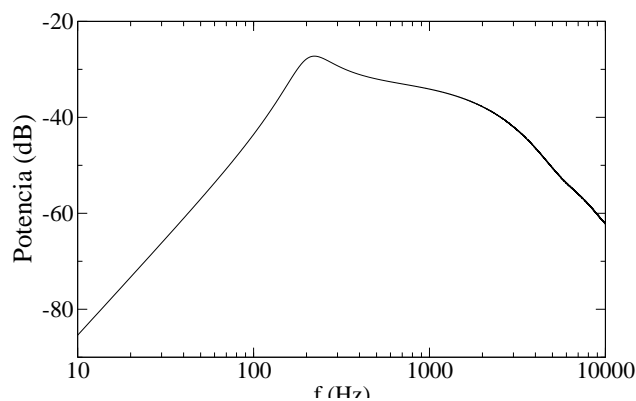
$$P_r = \left| \frac{VBl}{(R + jL\omega)(mj\omega + k/(j\omega) + f + Z_{ar}) + (Bl)^2} \right|^2 2R_{ar} \quad (4.11)$$

Esta expresión depende de la frecuencia y de los parámetros del altavoz. La potencia se puede aproximar en baja frecuencia y en alta frecuencia con las fórmulas anteriores de la impedancia de radiación. En la figura 4.6 enseñamos un ejemplo de simulación numérica de potencia de un altavoz pequeño.

El rendimiento corresponde en la relación entre la potencia acústica radiada y la máxima potencia eléctrica suministrada por la fuente:

$$\eta = \frac{P_r}{P_e} = \frac{P_r}{V^2/R} = \left| \frac{\sqrt{R}Bl}{(R + jL\omega)(mj\omega + k/(j\omega) + f + Z_{ar})} \right|^2 2R_{ar} \quad (4.12)$$

El rendimiento del altavoz también va a depender de la frecuencia de la onda. Tenemos que recordar aquí que las fórmulas precedentes son válidas para un pistón rígido sobre un plano infinito, lo que está lejos de corresponder al caso real. La membrana del altavoz no vibra de manera uniforme, es decir como una sola pieza, sino que aparecen modos de vibraciones complejos dependiendo de la frecuencia. Zonas distintas de la membrana pueden vibrar y oscilar con fases distintas. Estas vibraciones pueden llegar a cancelarse y afectar el patrón de radiación.



(b)

Figura 4.6: Simulación numérica de la potencia de un altavoz pequeño con los parámetros siguientes: $R = 4\Omega$, $L = 3,3 \cdot 10^{-4}\text{H}$, $V = 1\text{Volt}$, $Bl = 5$, $m = 0,01\text{kg}$, $k = 1,6 \cdot 10^4\text{N}\cdot\text{m}^{-1}$, $f = 0,5$, $a = 0,04\text{m}$. Esta simulación está basada en la aproximación lineal del pistón apantallado. En la figura b) tenemos la eficiencia en función de la frecuencia. Se observa que la mayor eficiencia se encuentra alrededor de la resonancia mecánica del altavoz. Además podemos notar que la eficiencia de este tipo de altavoz es bajísima, del orden de un 1 %.

4.5. Parametros de Thiele-Small

Los parametros de Thiele-Small son un conjunto de datos que caracterizan un altavoz. Estos permiten estimar el comportamiento del altavoz en ciertas condiciones, es decir cuando $ka \ll 1$ con a el radio del altavoz y para potencias relativamente bajas. Es decir estos parametros se deducen de una aproximación lineal del altavoz como la que hemos desarrollado antes. La realidad es como siempre mucho mas compleja.

Los parametros de Thiele-Small para un altavoz son:

1. f_m la frecuencia de resonancia mecanica del altavoz.
2. Q_e el factor de calidad electrico en la frecuencia de resonancia.
3. Q_m el factor de calidad mecánico en la frecuencia de resonancia.
4. Q_t el factor de calidad total del altavoz.

Hemos calculado la frecuencia de resonancia antes, esta se obtiene facilmente a partir de los parametros del altavoz:

$$f_m = \frac{1}{2\pi} \sqrt{\frac{k}{m}}$$

el factor de calidad de un altavoz se deduce de la relación entre la impedancia en la

$$Q_e = \frac{2\pi f_m R m}{k(Bl)^2}$$

$$Q_m = \frac{2\pi f_m m}{f}$$

4.6. Identificación de los parametros

Con la función de transferencia anterior se puede medir la tensión y la corriente del altavoz y luego identificar esta función de transferencia. El montaje de la figura 4.7 nos muestra una manera de grabar las señales del altavoz. El dispositivo es el siguiente: primero se conecta el altavoz a una fuente de

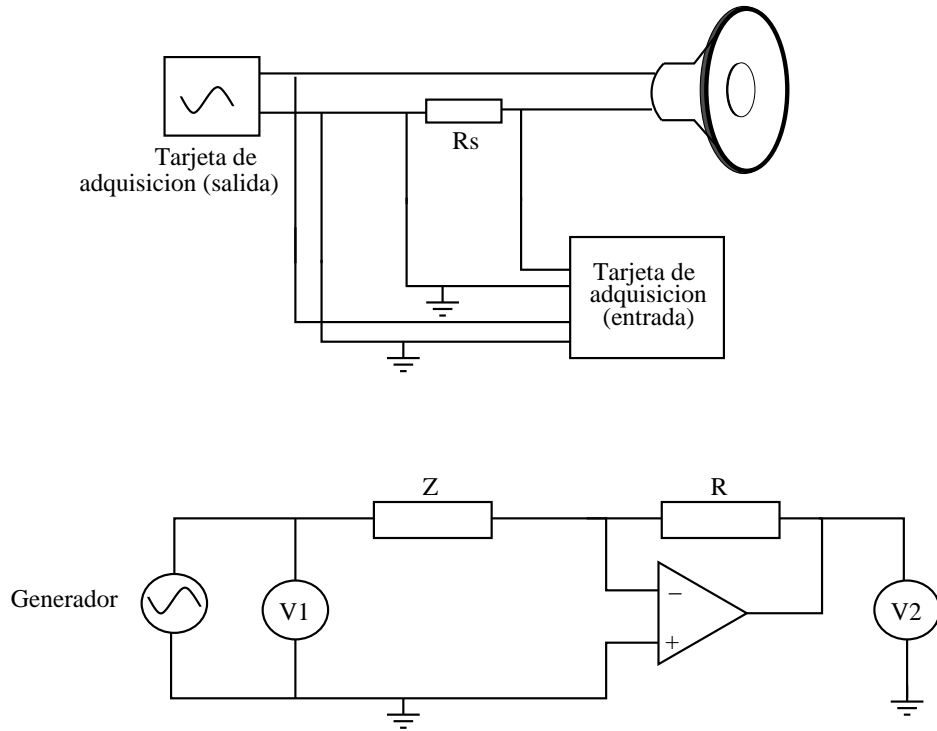


Figura 4.7: Esquema para identificar los parametros de un altavoz. Arriba el metodo con una resistencia en serie, se graba despúes las señales de entrada y la tensión en la resistencia para estimar la corriente. Abajo se enseña el segundo montaje, mas eficiente en el cual se usa un amplificador operacional con una masa virtual. El amplificador compensa la corriente que fluye en la resistencia R y esta corriente es la misma que en el altavoz. Se graban las dos tensiones V_1 y V_2 para obtener la tension y la corriente en el la impedancia Z , en nuestro caso es el altavoz.

señal sinusoidal como por ejemplo un generador de señales o la salida de una tarjeta de sonido para PC programada para emitir una señal sinusoidal. Para medir la impedancia en función de la frecuencia existen varios montajes, el mas sencillo consiste en inserta en serie una resistencia muy baja (1Ω) y se deriva la corriente a partir de la ley de Ohm y de la tensión en esta resistencia. El otro montaje que usaremos se llama medidas de impedancia con puente de compensación. El esquema se muestra en la figura 4.7 y un convertidor corriente a tension se usa, también se aprovecha la masa virtual del amplificador operacional. La tensión recuperada es proporcional a la corriente $V(t) = Ri(t)$. Para la generación y la grabación de estas señales usamos una tarjeta de adquisición de datos con un canal de salida y dos canales de entrada (ver figura 4.7). También esta señal se podría grabar por ejemplo con un canal de entrada de una tarjeta de sonido, pero en este caso hay que calibrar la tarjeta de sonido. Se hace un barrido de toda las frecuencias audibles (o hasta la frecuencia maxima de muestreo de la tarjeta) y se tratan las señales con transformadas de Fourier o de Hilbert. Recuperamos de esta forma la tension y la corriente necesaria para calcular la impedancia. Primero transformamos las dos señales con la transformada de Hilbert que permite describir la envolvente compleja de una señal real¹:

$$\hat{I} = \mathcal{H}(i(t)) \quad (4.13)$$

$$\hat{V} = \mathcal{H}(v(t)) \quad (4.14)$$

La impedancia compleja se escribe entonces como:

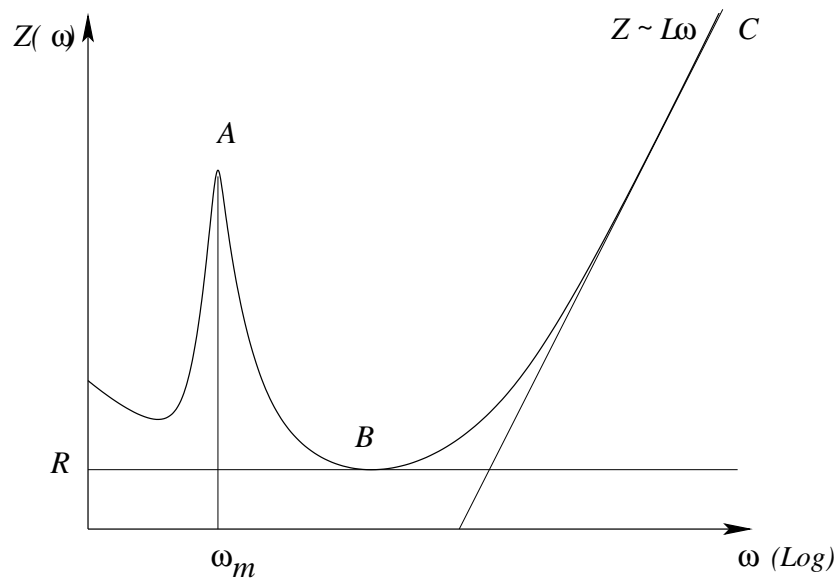
$$\hat{Z} = \frac{\hat{V}}{\hat{I}} \quad (4.15)$$

Este dispositivo se puede montar facilmente y las señales se pueden generar con un programa informático. En la figura 4.8(b) tenemos un ejemplo de impedancia compleja obtenida con este metodo experimental².

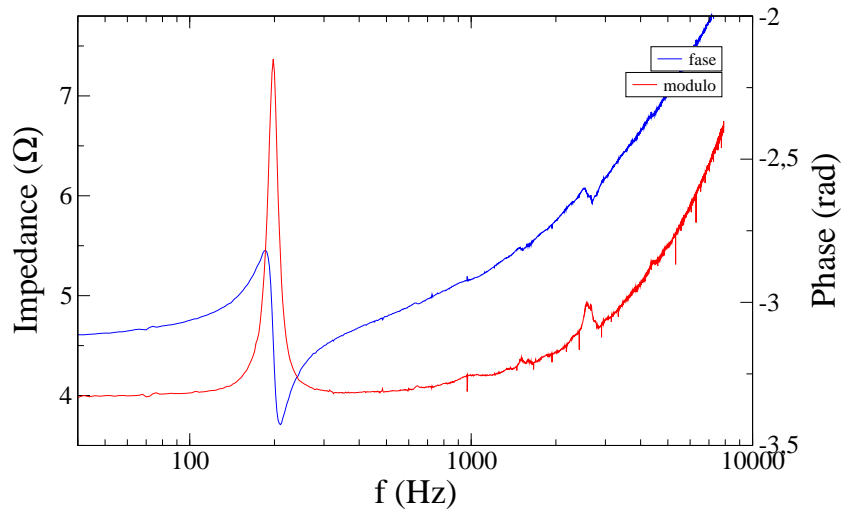
La curva de impedancia característica de un altavoz se puede observar en la figura 4.8. Se pueden observar en esta curva varias zonas de comportamientos. La primera marcada *A* en la figura corresponde a la resonancia mecánica del sistema. La resonancia mecanica interviene cuando el termino

¹La transformada de Hilbert se define como $\hat{s}(t) = \mathcal{H}\{s\} = (h * s)(t) = \frac{1}{\pi} \int_{-\infty}^{\infty} \frac{s(\tau)}{t-\tau} d\tau$ con una integral en componentes principales de Cauchy.

²En la practica se puede usar también la función `tf` de matlab para calcular funciones de transferencia.



(a)



(b)

Figura 4.8: (a) Esquema del módulo de la impedancia del altavoz. (b) Medidas del módulo y de la fase de un altavoz a partir de un análisis de la función de transferencia de la corriente y de la tensión. Características del altavoz: 1W, 4Ω , 7.5cm de diámetro. Se observan varias características típicas de un altavoz tales como la resonancia mecánica y el comportamiento inductivo en alta frecuencia.

Z_m de la ecuación (4.5) es mínimo. Es decir cuando la frecuencia minimiza la impedancia mecánica:

$$Z_m(\omega) = mj\omega + \frac{k}{j\omega} + f$$

Cuando el terminos $mj\omega + \frac{k}{j\omega}$ se anula encontramos la expresión de la pulsación de resonancia mecánica:

$$\omega_m = \sqrt{\frac{k}{m}} \quad (4.16)$$

Además la impedancia vale en este punto:

$$Z(\omega_m) \simeq R + \frac{(Bl)^2}{f + Z_r} \quad (4.17)$$

Se desprecian los efectos inductivos dado que la frecuencia de resonancia mecánica es relativamente baja. La impedancia de radiación se puede estimar gracias al modelo del piston apantallado dado con las ecuaciones (1.43) y (4.4)

En la segunda zona marcada B tenemos la banda útil del altavoz, y en el mínimo tenemos el punto en el que la parte imaginaria de la impedancia se anula. En este punto la impedancia vale

$$Z_m(B) = R$$

Buscando el mínimo de la función de transferencia podemos obtener la resistencia del bobinado.

En el punto C son los efectos inductivos que priman, en este parte la impedancia es proporcional a la inductancia de la bobina:

$$Z_m(C) \simeq L\omega$$

Ahora proponemos la medida de los parametros de Thiele y Small como propuesto en el articulo de Small [?]. Primero buscamos la impedancia máxima en el punto A así como la frecuencia de resonancia equivalente, llamamos esta impedancia r_0 . Buscamos en segundo lugar las frecuencias f_1 y f_2 tal que la impedancia en estos puntos valga $R\sqrt{r_0}$. Se puede demostrar que tenemos:

$$Q_m = \frac{f_m \sqrt{r_0}}{f_2 - f_1} \quad (4.18)$$

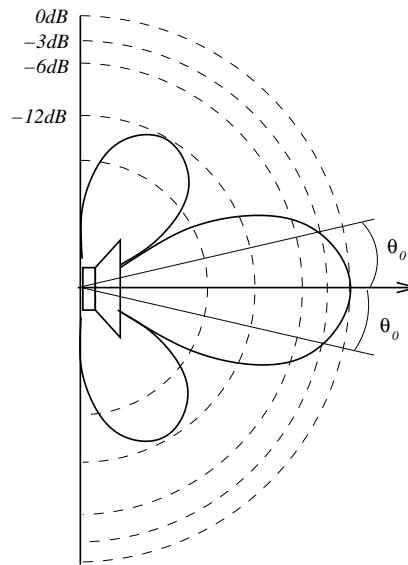


Figura 4.9: Ejemplo de ángulo de apertura para un altavoz.

y

$$Q_e = \frac{Q_m}{r_0 - 1} \quad (4.19)$$

El factor de calidad total es:

$$Q_t = \frac{Q_e Q_m}{Q_e + Q_m} \quad (4.20)$$

Gracias a estas medidas sencillas se pueden estimar una parte de los parámetros característicos de los altavoces. Sin embargo para obtenerlos todos se necesitan otros tipos de pruebas, como por ejemplo pegar masas en el altavoz para modificar ligeramente la frecuencia mecánica.

4.7. Ángulo de apertura

El ángulo de apertura de un altavoz depende de su tamaño y también de la frecuencia. El ángulo de apertura se define como el ángulo en el cual la potencia no pasa por debajo de 3dB en referencia a la potencia del eje. Para

determinar analíticamente se resuelve la ecuación:

$$20\log(h(\theta_0)) = -3 \quad (4.21)$$

Es decir buscamos el ángulo para el cual la función de directividad es igual a -3dB . En esta zona se radia lo principal de la potencia del altavoz. Este parámetro puede ser importante a la hora de elegir un altavoz. Sin embargo para las frecuencias altas este ángulo se cierra y se vuelve muy directivo. Para dar un ejemplo de ángulos de apertura consideramos un altavoz cuya función de directividad sea cerca de la del pistón que hemos descrito en el capítulo anterior:

$$h(\theta) = \frac{2J_1(ka \sin \theta)}{ka \sin \theta}$$

con $k = \omega/c$ y a el diámetro del altavoz o de la parte radiante. Para resolver la ecuación anterior conviene usar métodos numéricos, la resolución analítica es difícil. También se pueden usar tablas de funciones de Bessel para resolverla. Damos en ejercicio la resolución del ángulo de apertura con las funciones de Bessel. En la figura 4.10 tenemos un ejemplo de ángulo de apertura para un altavoz y también la variación del ángulo de apertura para el modelo del pistón con un radio de 10cm. El ángulo decrece muy rápidamente y se encuentra en un margen muy pequeño de ángulos. Con la expresión anterior podemos determinar el ángulo θ_0 , primero ponemos $x = ka \sin(\theta)$ y despejamos:

$$J_1(x) = x \frac{10^{-3/20}}{2}$$

Con las tablas de las funciones de Bessel tenemos la aproximación de la solución $x_0 \simeq 1,61$. La solución para el ángulo theta se puede escribir como:

$$\theta_0 = \arcsin(x_0/(ka)) \quad (4.22)$$

Para determinar la apertura conviene coger 2 veces el ángulo, la apertura es entonces:

$$\theta_a = 2\arcsin(x_0/(ka)) \quad (4.23)$$

Este ángulo disminuye cuando aumenta la frecuencia como se puede apreciar en la figura 4.10. Para una frecuencia dada el ángulo aumenta cuando disminuye el radio del altavoz. Como lo hemos visto en el capítulo precedente cuando el radio es pequeño frente a la longitud de onda el modelo se acerca a un fuente monopolar, la cual es omnidireccional. Cuando el radio aumenta el altavoz "empuja" el aire en una dirección privilegiada. Hay que tener un

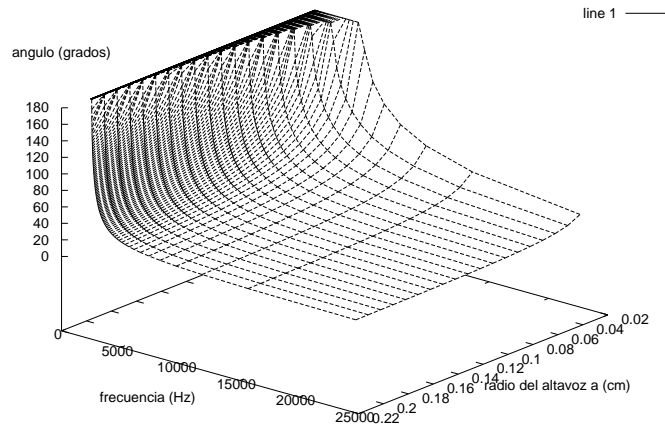
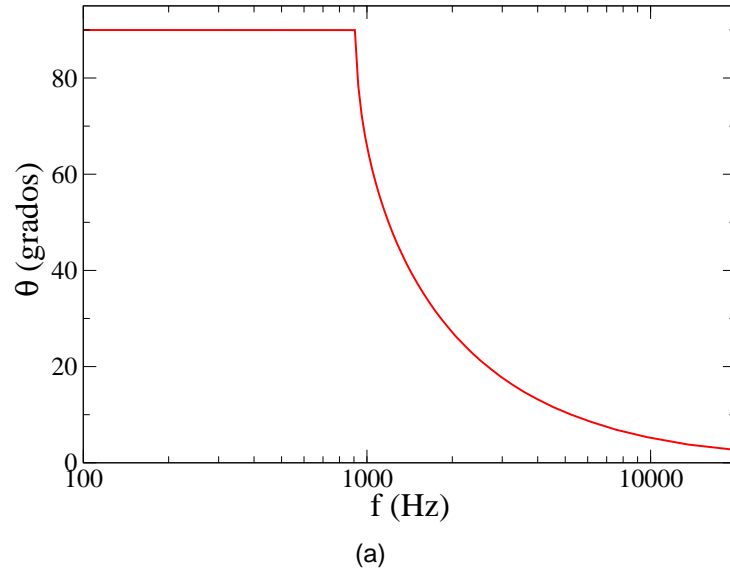


Figura 4.10: Angulo de apertura en grados de un altavoz de 10cm en función de la frecuencia. La apertura disminuye hasta algunos grados para 20Khz.

balance entre la directividad y la potencia radiada. Los pequeños altavoces radian en todas las direcciones pero la potencia radiada es muy débil, por eso se prefieren altavoces más grandes para las bajas frecuencias.

Se puede estimar la directividad de un altavoz también calculando la apertura del primer lóbulo. Este ángulo se determina con los ceros de la función de Bessel, cuando esta se anula la directividad es nula. Los ceros sucesivos determinan los lóbulos sucesivos del diagrama de directividad. El primer cero se calcula con las tablas:

$$\alpha_0 = \arcsin(x_0/(ka)) \quad (4.24)$$

con $x_0 \simeq 3,9$.

4.8. Diseño de bafles

En la sonorización es importante tomar en cuenta la calidad de los bafles. Las revistas técnicas dan medidas muy precisas de la directividad o de la calidad de la respuesta en frecuencia de los bafles de alta-fidelidad. De los criterios importantes podemos destacar:

- El ancho de banda: este determina el rango de frecuencia en el cual la potencia del altavoz es como mucho 3dB inferior al máximo de la respuesta. Para un altavoz mediocre este se encuentra entre 100Hz y algunos kilohertzios. Un altavoz de altafidelidad cubre todo el espectro audible.
- Directividad: como hemos visto con el ángulo de apertura, este parámetro puede ser importante según el tipo de aplicaciones.
- Potencia
- Impedancia, tiene que adaptarse a la impedancia del amplificador para una mejor disipación de la potencia.

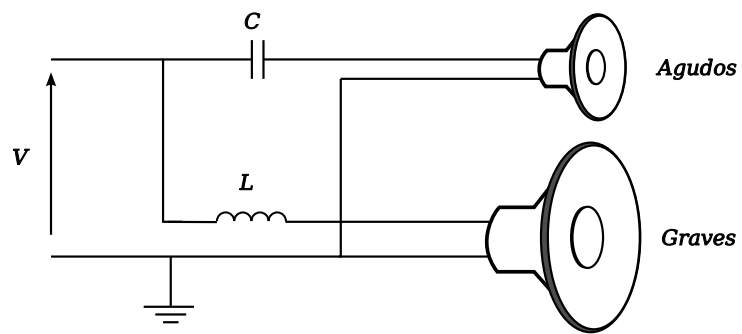
Para el diseño del baffle las dimensiones de la caja así como el relleno de estas se toman en cuenta. El tamaño y el material influyen sobre la radiación y la respuesta en frecuencia del baffle. Se tiene que llenar el altavoz de un material muy absorbente para amortiguar la presión generada por los altavoces en el interior de la caja. Estas ondas cancelan la onda de presión en la parte

exterior del baffle (es el cortocircuito acústico) y se deben atenuar al máximo.

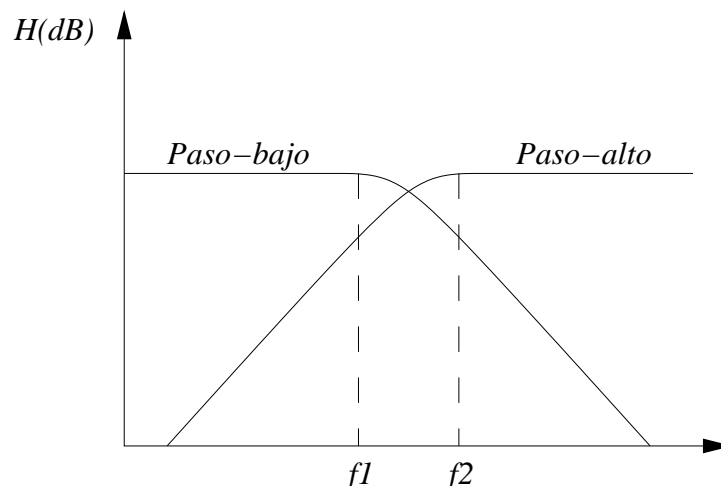
Al nivel de diseño eléctrico se debe repartir la señal eléctrica según el tipo de altavoz. Se filtran las señales para adaptarlas al tipo de altavoz es decir agudos (tweeter) graves (boomer y woofers) o muy graves (sub-woofers). Los circuitos se componen de filtros analógicos pasivos, el altavoz es entonces llamado pasivo, o circuitos activos y por lo tanto necesita alimentación, el altavoz es activo. En la figura 4.11 damos un ejemplo de diseño básico de un baffle sencillo.

El condensador en serie con el altavoz grave actúa como un filtro paso-bajo, para determinar cuál es la frecuencia de corte se necesita saber la impedancia del altavoz. Para el agudo se coloca en serie una inductancia que actúa como un filtro paso alto, dejando pasar solo las frecuencias altas para este altavoz. Conviene ajustar lo mejor posible las frecuencias de cortes de los filtros para no cortar algunas frecuencias del espectro como representado en la figura 4.11. Estos filtros se llaman cross-over filters y son muy importantes para la separación de las vías del altavoz. Existen varias técnicas para el cálculo de estos filtros, se usan filtros de Butterworth, Chebichev y otros tipos clásicos. También se usan filtros activos para mejorar la respuesta del altavoz.

En determinados casos se usan baffles con una realimentación, se usa un sensor de presión para corregir la respuesta del altavoz y mejora el ancho de banda y la respuesta.



(a)



(b)

Figura 4.11: Diseño básico de los filtros de un altavoz (arriba). Aspecto del dominio en frecuencia de cada uno de los filtros (bajo).

Capítulo 5

Micrófonos

Los microfonos forman la otra gran familia de transductores electro-acústico. La función del microfono es la complementaria del altavoz. Transforma una señal acústica en una señal electrica. Esta señal esta despues tratada y adaptada para el uso que se quiere hacer (amplificación, grabación, transmisión ect...).

Un microfono consta siempre de una parte acústica sensible a la onda de presión del aire. Esta parte en la mayoría de los caos consiste en una membrana circular montada sobre un soporte. El soporte consiste en un circuito acústico que determina el patrón de directividad del microfono. También contiene los elementos para la detección y la transducción de la señal acústica.

En una primera parte estudiamos los tipos de soportes comunes en los microfonos y en la segunda parte describimos los principales tipos de transductor electro-acústico.

5.1. Sensibilidad

La sensibilidad de un microfono es una característica importante conjuntamente con la respuesta frecuencial. La sensibilidad consiste en la relación entre la amplitud de la salida electrica y la presión de entrada. Hay una relación fuerte entre la respuesta en frecuencia y la sensibilidad. Un microfono con mas sensibilidad es generalmente mas grande y la membrana mas pesada lo que afecta las performances en frecuencias. Los microfonos pequeños al contrario tienen una sensibilidad pobre pero pueden operar a frecuencias bajas y altas.

Se define la sensibilidad como:

$$S = \frac{\text{Salida eléctrica}}{\text{Entrada mecánica}} \quad (5.1)$$

O también en forma logarítmica como:

$$L_s = 10 \log \left(\frac{E_{out}/p}{E_{re}} \right)^2 \quad (5.2)$$

en dBV/ μ bar con E_{out} la tensión de salida, E_{re} la tensión de referencia y p la presión r.m.s.

Otra cantidad importante para la caracterización de los microfonos, es la sensibilidad acústica. Esta se define como:

$$S_a = \frac{F}{p} \quad (5.3)$$

con p el campo de presión difuso, es decir para todas las direcciones, y F la fuerza que se ejerce sobre la membrana. Basicamente se calcula el producto de la presión por la superficie.

La directividad de los microfonos también son importantes según el tipo de aplicaciones destinadas. No es lo mismo gravar el ambiente en una sala que gravar o amplificar un instrumento. La directividad se puede ajustar con la fabricación del mismo. Podemos obtener directividad cardioide, muy útil para gravar solo en una dirección, o omnidireccional.

5.2. Tipos de receptores

5.2.1. Microfonos de presión

Cuando la sensibilidad del microfono no depende del angulo entonces tenemos un microfono omnidireccional. Es el caso de un microfono de presión. Este microfono consiste en una membrana que recibe las ondas de presión acústicas. La membrana esta unida a una cavidad de aire cerrada. Este tipo de micronofonos son poco sensibles a la dirección de la onda siempre que la onda tenga un longitud de onda superior a las dimensiones del microfono. La tensión de salida del microfono es proporcional a la presión recibida en la parte delantera, es decir la membrana del transductor.

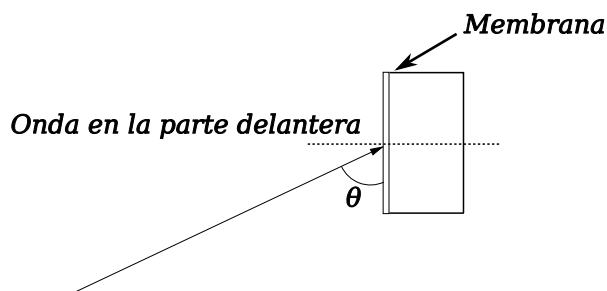


Figura 5.1: Principio del micrófono de presión, consiste en una membrana que recibe la onda directa en la parte delantera. Estos micrófonos son en general omnidireccionales hasta longitudes de ondas del orden del radio de la membrana.

5.2.2. Micrófonos de gradiente de presión

El micrófono de gradiente de presión, como su nombre lo indica, es sensible a una diferencia de presión. Concretamente la diferencia de presión entre la parte delantera de la membrana sensible y la parte trasera donde se sitúa la cavidad. En la figura 5.2 mostramos un ejemplo de un micrófono a gradiente de presión. Este micrófono presenta distintas características según las frecuencias y el ángulo de la onda de presión. La presión total de la membrana es la suma de la onda de presión en la parte delantera menos la presión de la parte posterior. Dependiendo del ángulo el desfase entre la potencia entre la parte delantera y interior es máxima o mínima. Por ejemplo cuando la onda llega perpendicularmente al micrófono las presiones se cancelan y no se capta ningún sonido. Se puede modificar esta sensibilidad modificando las aperturas del micrófono.

En la figura 5.3 podemos ver como una onda de presión plana llega sobre la membrana de un micrófono con un ángulo θ . Tenemos una diferencia de presión entre la parte frontal p_f y dorsal p_d de la membrana:

$$p_m = p_f - p_d \simeq p(r) - p(r + \delta) = Ae^{-ikr} - Ae^{-ik(r+\delta)} = Ae^{-ikr}(1 - e^{-ik\delta})$$

para $k\delta \ll 1$ tenemos $e^{ik\delta} = 1 - ik\delta$. Tras algunas transformaciones tenemos:

$$p_m = p_f k\delta e^{i\pi/2} \quad (5.4)$$

La presión de la membrana es proporcional a un factor de $k\delta$ y con un desfase de $\pi/2$ con la presión frontal. Esta aproximación es válida para $\delta \ll \lambda/2\pi$

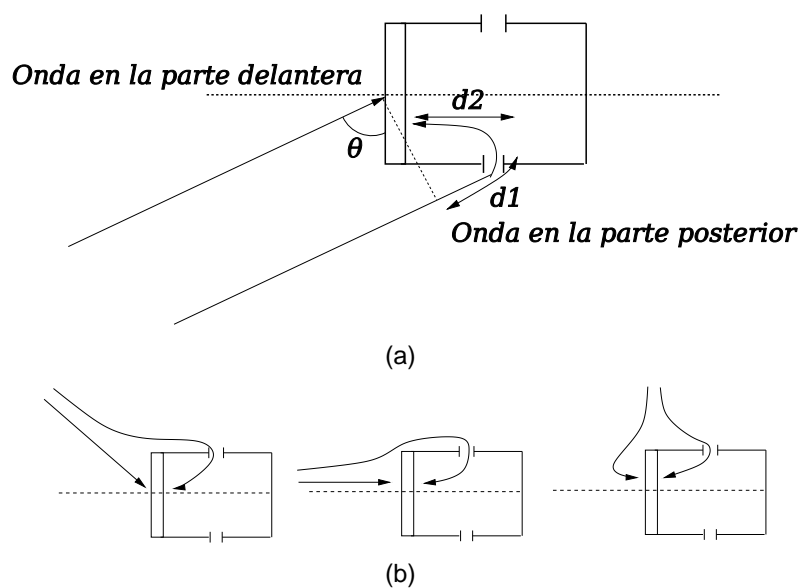


Figura 5.2: Principio del micrófono de gradiente de presión, consiste en una membrana que recibe la onda directa en la parte delantera y una onda en desfase por la parte trasera.

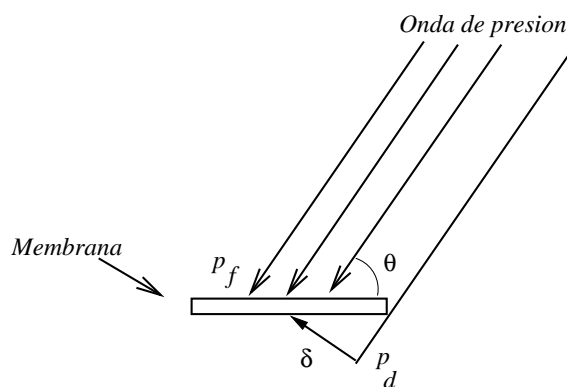


Figura 5.3: Onda de presión llegando sobre la membrana del micrófono con un ángulo θ .

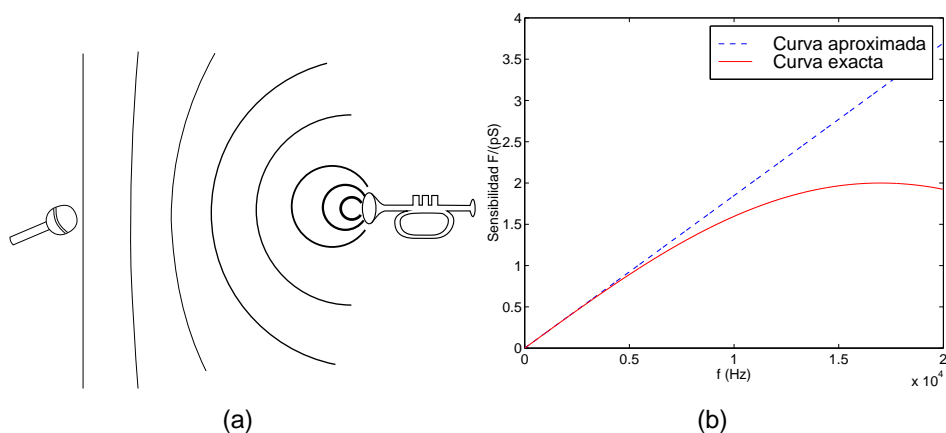


Figura 5.4: Sensibilidad del micrófono de gradiente de presión para una onda plana, ($r = 1\text{m}$, $a = 1\text{cm}$). Dibujamos la sensibilidad aproximada así como la exacta, según el eje del micrófono.

sabiendo que la longitud de onda mínima en señales de audio se encuentra alrededor de $\lambda = 3\text{cm}$, camino tiene que ser inferior a algunos milímetros. Generalmente en la construcción de células de micrófono el sensor es pequeño. Por otra parte de la figura 5.3 podemos deducir $\delta = a \cos \theta$ y por tanto la directividad del micrófono tendrá una dependencia $h(\theta) = \cos \theta$ con el ángulo de incidencia de la onda. La sensibilidad acústica del dispositivo se escribe en modulo como

$$S_a = \frac{F}{p_f} = \frac{p_m S_m}{p_f} = S_m k a \cos \theta = \pi a^3 k \cos \theta \quad (5.5)$$

con $S_m = \pi a^2$ la superficie de la membrana. Notamos que por un lado debemos mantener la membrana lo suficiente pequeña para no deformar las señales y por otro lado la sensibilidad depende directamente de la superficie. Como en muchos casos en ingeniería un compromiso entre potencia y ancho de banda es necesario. Por otra parte la sensibilidad aumenta con la frecuencia pero hasta cierto punto. Cuando la aproximación de pequeños ángulos deja de ser cierta la sensibilidad vuelve a caer. En la figura 5.4 dibujamos la sensibilidad del micrófono en campo lejano para la sensibilidad aproximada anteriormente y también la sensibilidad calculada a partir de las ecuaciones sin aproximación.

Podemos generalizar este resultado para una onda esferica, a partir de ello podemos obtener una información importante relativa al diseño de microfones. La suma de la dos ondas esfericas en la parte frontal y dorsal del microfono se escribe como:

$$p_m = p_f - p_d \simeq p(r) - p(r + \delta) = \frac{A}{r} e^{ikr} - \frac{A}{r + \delta} e^{ik(r+\delta)} = A e^{ikr} \left(\frac{1}{r} - \frac{e^{ik\delta}}{r + \delta} \right)$$

En el caso de angulos pequeños $k\delta \ll 1$ tenemos la aproximación: $e^{ik\delta} = 1 - ik\delta$. La expresión precedente se escribe entonces:

$$p_m \simeq A e^{ikr} \left(\frac{1}{r} - \frac{1 - ik\delta}{r + \delta} \right) = \frac{A}{r} e^{ikr} \left(\frac{\delta}{r + \delta} + i \frac{r}{r + \delta} k\delta \right)$$

podemos simplificar la formula:

$$p_m \simeq p_f \frac{\delta}{r + \delta} (1 + ikr) \quad (5.6)$$

con $\delta = a \cos \theta$. La sensibilidad del microfono va a depender de la frecuencia y de la distancia de la fuente al microfono. Encontramos la aproximación de la onda plana cuando $r \gg 1$. La sensibilidad acústica se escribe como:

$$S_a = \frac{F}{p_f} = S_m a \cos \theta \sqrt{\left(\frac{1}{r}\right)^2 + k^2} \quad (5.7)$$

Esta aproximación permite calcular la sensibilidad en baja frecuencia. En la figura 5.5 podemos ver la sensibilidad aproximada por la precedente formula y la sensibilidad calculada a partir de las ecuaciones completas. Como se puede apreciar en la figura la aproximación es mejor en baja frecuencia. Para frecuencias mas altas esta aproximación es mala.

Comparando las sensibilidades en campo lejanos y en campo cercanos podemos observar que la sensibilidad difiere. Un microfono tiene una respuesta diferente segun esta colocado, por ejemplo un microfono arreglado para el campo cercano tendra a privilegiar las frecuencias altas. Al revés, un microfono arreglado para el campo lejano tendra tendencia a amplificar los bajos en campo cercano. Hay que tener un compromiso entre la sensibilidad en baja y alta frecuencia así como el radio de la membrana a .

Como hemos visto en la figura 5.1 la onda puede tener caminos mas largos y la diferencia de camino δ depende de la geometria del microfono, la onda

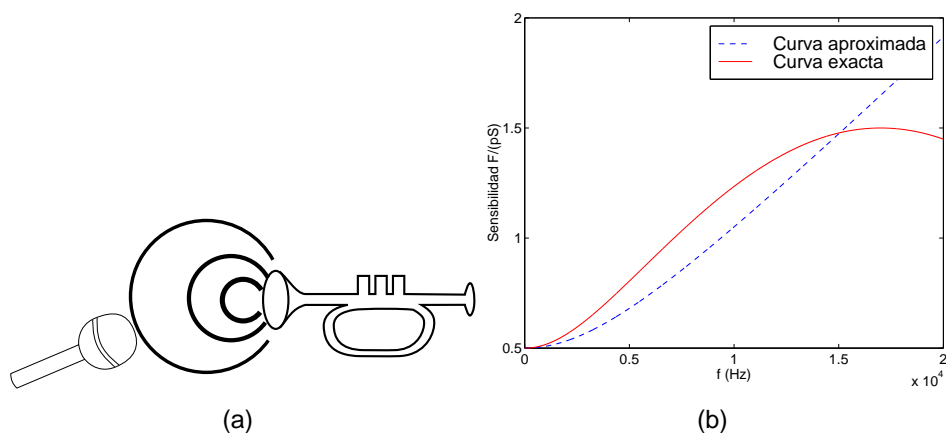


Figura 5.5: Sensibilidad del microfono de gradiente de presión para una onda esferica en campo cercano. Dibujamos la sensibilidad aproximada así como la exacta. En baja frecuencia para la sensibilidad en campo lejano el microfono es muy ineficiente hay que acercarlo lo mas posible de la fuente. Es la razón por la que por ejemplo se coloca el microfono dentro del bombo de las baterias y no fuera.

dorsal recorre un camino $d_1 + d_2$. este camino se puede escribir como $d + d \cos(\theta)$ con una geometria adecuada del microfono, es decir tenemos una sensibilidad de la forma $h(\theta) = d(1 + \cos(\theta))$. De manera general podemos definir la directividad de este tipo de microfones como:

$$S(\theta) = A + B \cos(\theta) = A(1 + A/B \cos(\theta)) \quad (5.8)$$

con A y B dependiendo del tipo de microfono y de su directividad. Por ejemplo un microfono cardiode tiene unos coeficientes $A=0.5$ y $B=0.5$, un microfono bidirectivo tiene $A=0$ y $B=1$. Sin embargo como veremos mas adelante para tener un modelo mas preciso que permite tener modelos cuantativos de microfones necesitamos tener otro tratamiento y considerar la geometria del microfono estudiado.

Se puede modificar la geometria del microfono para obtener distintos tipos de directividad. Tambien se pueden tomar arrays de microfones y con el ayuda de filtros numericos se puede obtener diferentes directividad con el mismo microfono. Los microfones de estudios electroestatico pueden cambiar su directividad con la polarización de los electrodos. De esta manera se puede

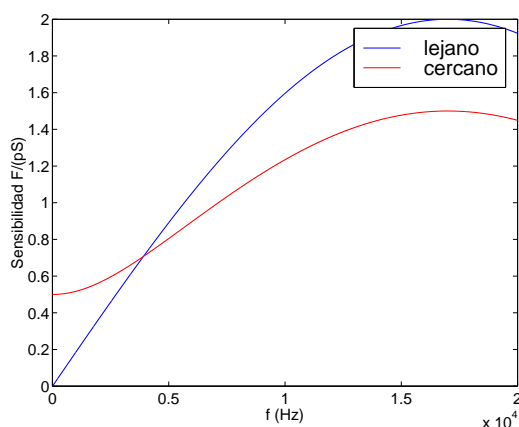


Figura 5.6: Sensibilidad del microfono de gradiente de presión para una onda plana. Dibujamos la sensibilidad aproximada así como la exacta. En baja frecuencia la sensibilidad de un microfono en campo lejano es muy baja, hay que acercarlo lo mas posible de la fuente. Para una batería se colocan los microfones dentro del bombo y para los platillos se aleja el microfono de un metro.

tener una directividad omnidireccional, cardioide segun el uso deseado. A continuación describimos mas en detalle los aspectos tecnologicos de los microfones.

5.2.3. Circuitos acústico

Para obtener un modelo mas cuantitativo tenemos que detallar los circuitos acústicos que componen el microfono. El ejemplo que trataremos ahora consisten en un tipo común de microfones que tiene una directividad cardioide. Una explicación cualitativa con la diferencia de presión ha sido descrita justo antes. Ahora cogemos las analogias acústico-electricas para describir nuestra celula de microfono. En la figura 5.7 podemos observar un circuito acústico de un microfono tipico con una apertura en la parte atras. Esta apertura sirve para ajustar la presión interna de la cavidad. Al nivel acústico se puede modelizar por una resistencia, la diferencia de diametro hace que el aire tiene dificultades para pasar. Se puede poner también unos parches de fieltro para aumentar la resistencia. El circuito consiste en la presión en la parte delantera

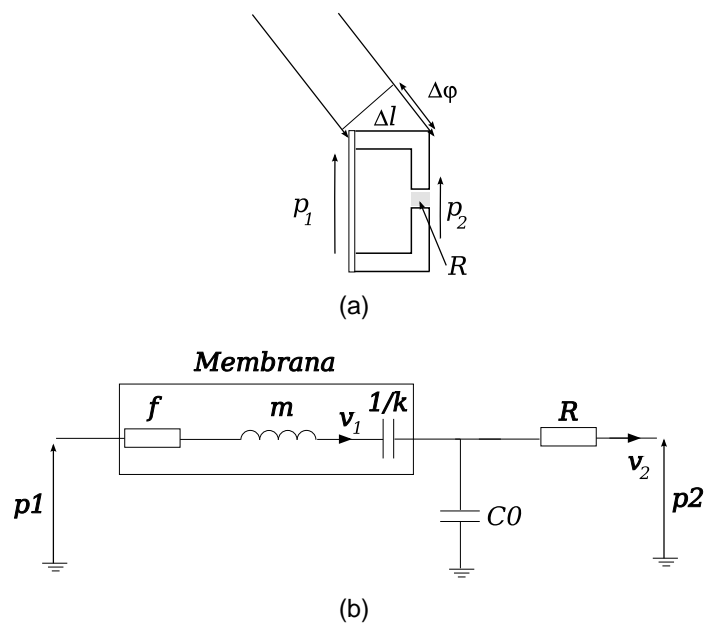


Figura 5.7: Modelo acústico de un microfono. Consiste en un pistón (equivalente de la membrana) al final de un tubo cerrado en el otro extremo.

de la membrana p_1 junto con la impedancia mecánica de la membrana Z_d . La presión en la parte trasera p_2 esta relacionada con la presión p_1 en función del angulo de incidencia de la presión. Tenemos la presión p_1 con la siguiente expresión:

$$p_1(x) = p_0 \frac{e^{-jkx}}{x} \quad (5.9)$$

con p_0 la presión de la fuente.

La membrana esta excitada por la presión p_1 con una velocidad v_1 y el aire dentro de la cavidad tiene una elasticidad C_0 . Esta cavidad esta conectada a la apertura con la resistencia R y tiene como salida la presión p_2 . La diferencia de presión entre la parte delantera y la parte trasera es proporcional al gradiente de presión:

$$p_2(x) - p_1(x) = p_0 \frac{e^{-jk(x+\Delta\phi)}}{x + \Delta\phi} - p_0 \frac{e^{-jkx}}{x} \quad (5.10)$$

tenemos por definición de la derivada:

$$f'(x) = \lim_{\Delta\phi \rightarrow 0} \frac{f(x + \Delta\phi) - f(x)}{\Delta\phi} \quad (5.11)$$

Por lo que para $\Delta\phi$ pequeño tenemos la diferencia de presión:

$$p_2(x) - p_1(x) = p_0 \Delta\phi \frac{\partial}{\partial x} \frac{e^{-jkx}}{x} \quad (5.12)$$

Por otra parte tenemos la diferencia de camino $\Delta\phi = \Delta l \cos(\theta)$. La expresión precedente se simplifica como:

$$p_2(x) - p_1(x) = -p_0 \Delta\phi \frac{e^{-jkx}}{x} \left(\frac{1}{x} + jk \right) \quad (5.13)$$

$$p_2(x) - p_1(x) = -p_1(x) \Delta\phi \left(\frac{1}{x} + jk \right) \quad (5.14)$$

Y por ultimo tenemos la relación entre la presión p_1 y p_2 :

$$p_2(x) = p_1(x) (1 - \Delta l \cos \theta jk) \quad (5.15)$$

La presión p_d de la membrana se puede expresar en función de la presión frontal p_1 y de las parametros acústicos y mecánicos del microfono.

$$p_d = p_1 Z_d \frac{(1 + \frac{k\Delta l \cos \theta}{RC_0\omega})}{Z_d R_2 - j \frac{R + Z_d}{RC_0\omega}} \quad (5.16)$$

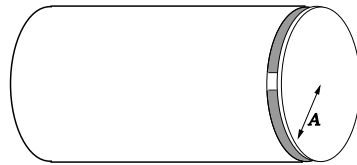


Figura 5.8: Modelo acústico de un microfono. Consiste en un pistón (equivalente de la membrana) al final de un tubo cerrado en el otro extremo.

La presión se puede expresar de forma mas sencilla en función de los parametros:

$$p_d = p_1 A (1 + B \cos \theta) \quad (5.17)$$

con los parametros:

$$A = \frac{Z_d}{Z_d R_2 - j \frac{R + Z_d}{RC_0 \omega}} \quad (5.18)$$

$$B = \frac{k \Delta l}{RC_0 \omega} \quad (5.19)$$

Tenemos la expresión de la presión para un microfono cardioide y podemos aplicar este metodo para fabricar o modelizar microfones.

Para poder tener un modelo completo de los microfones se necesita tener algunas nociones de como recibe la presión y como reaccionan los diversos elementos que lo componen.

La parte acústica de un microfono puede modelizarse por un pistón vibrando al final de un tubo cerrado. La impedancia de radiación de este pistón tiene una expresión parecida a la impedancia presentada en el capitulo I. Sin embargo el desarrollo matemático resulta mas complejo todavía.

La impedancia mecánica de este dispositivo puede representarse de forma aproximada para el rango de frecuencia util por el circuito de la figura ??.

5.3. Tipos de Microfonos

5.3.1. Micrófono electrodinámico

Este microfono es uno de los mas extendidos dado su bajo coste de fabricación y su robustez para una gran variedad de aplicaciones. El principio de

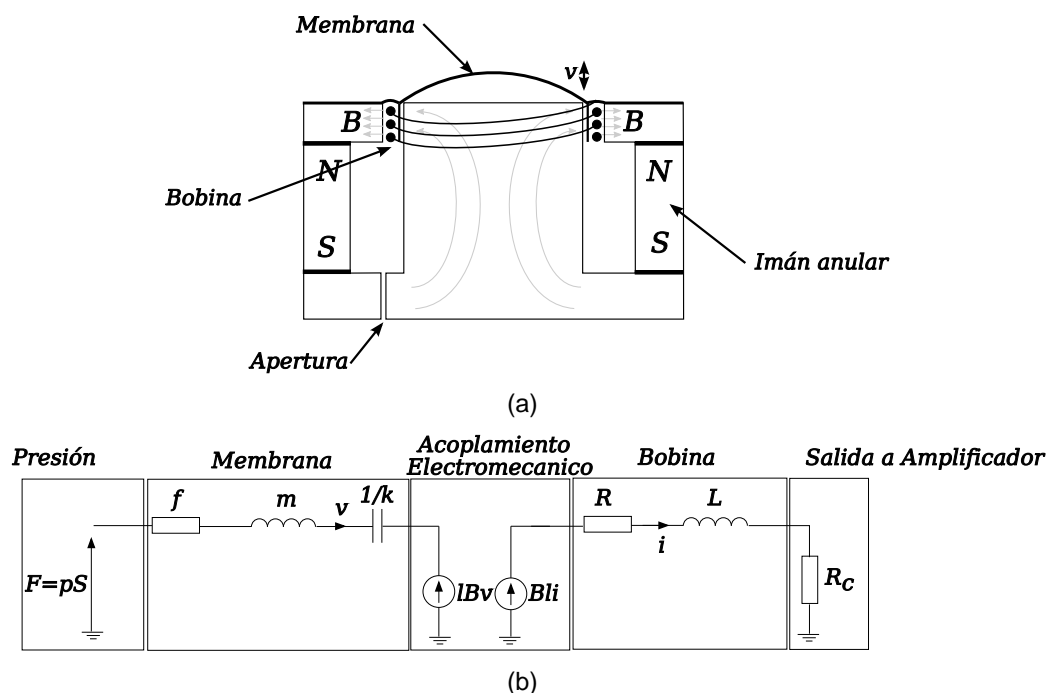


Figura 5.9: Micrófono electrodinámico

este micrófono es idéntico al de un altavoz electrodinámico. Una membrana delgada capta la señal acústica y pone en movimiento la bobina (ver figura 5.9). La bobina se encuentra en un campo magnético uniforme y una corriente eléctrica nace del movimiento. Las ecuaciones del movimiento y de la impedancia son las mismas que para el altavoz electrodinámico con algunas diferencias:

- Primero no se impone una corriente sino que se recupera la tensión generada
- La resonancia mecánica se encuentra a varios kilohertzios debido al peso del equipo móvil y la tensión de la membrana.

El esquema equivalente electrodinámico del micrófono se puede ver en la figura 5.9. Este sistema está muy simplificado, dependiendo del tipo y modelo de micrófono otros efectos entran en juego. Por ejemplo los filtros para la protección y otros conductos tienen una influencia sobre el comportamiento

mecánico de la membrana. Las ecuaciones del microfono se pueden separar en dos contribuciones, la parte electrica y la parte mecánica. El acoplamiento electro-acústico se efectua con la bobina, las fuerzas de Laplace y la ley de Lenz hacen el resto (para un analisis mas profundo ver la sección de altavoces). El factor de acoplamiento es Bl Saliendo de la figura 5.9 vemos que la entrada del sistema es la fuerza de la onda acústica sobre la membrana del microfono. El sistema mecanico se compone de una masa, unas fijación flexible que se asimilan a un muelle y las fuerzas de rozamiento. Estas pueden llegar a ser importante debido al rozamiento de la bobina en un espacio reducido. Discutiremos el papel de los rozamientos mas adelante. La impedancia mecanica equivalente de este sistema es:

$$Z_m = \frac{k}{j\omega} + f + mj\omega \quad (5.20)$$

con k la elasticidad de la membrana, f los rozamientos y m la masa del sistema membrana/bobina.

La parte electrica se puede resumir a la inductancia de la bobina y la resistencia del cobre. El microfono esta unido a una carga R_c ficticia para poder efectuar los calculos, esta se puede cambiar por un amplificador. La impedancia electrica se escribe entonces:

$$Z_e = R_e + jL\omega \quad (5.21)$$

con R_e la resistencia del cobre y L la inductancia de la bobina.

Las ecuaciones del microfono electrodinámico son:

$$V_0 - Blv = -iZ_e \quad (5.22)$$

$$F = Bli + vZ_m \quad (5.23)$$

Podemos expresar la función de transferencia entre la fuerza y el voltaje de salida:

$$\frac{V_0}{F} = \frac{BlR_c}{R_cZ_m + (Bl)^2 + Z_eZ_m} \quad (5.24)$$

Para un circuito abierto ($R_c \rightarrow \infty$) podemos simplificar esta expresión como:

$$\frac{V_0}{F} = \frac{Bl}{Z_m} \quad (5.25)$$

Sin embargo esta expresión no es valida en cuanto se conecta el microfono a un equipo.

La sensibilidad del microfono puede deducirse directamente de esta expresión:

$$S_a = \frac{V_0}{p} = \frac{SBl}{Z_m} \quad (5.26)$$

La sensibilidad es proporcional al factor de fuerza Bl y a la superficie S de la membrana. En el denominador tenemos la impedancia mecánica. Lejos de la resonancia mecánica la sensibilidad es proporcional a SBl/f . La sensibilidad aumenta cuando reducimos los rozamientos. Pero por otra parte, reducir los rozamientos significa aumentar la resonancia mecánica y por tanto reducir la banda útil del microfono. Como en otros casos un compromiso es necesario. Notese que para aumentar los rozamientos se pueden añadir fieltros o reducir el tamaño de las cavidades (a menor tamaño mas rozamiento).

5.3.2. Microfono electrostático

Este tipo de microfones es la segunda gran clase de microfones, estos están basados en el movimiento de las placas de un condensador. Cuando las placas se desplazan el potencial se mantiene constante (la polarización suele ser alta) y un movimiento de cargas aparece debido al cambio de capacidad del dispositivo.

En la figura 5.10 se puede observar un esquema del dispositivo. La membrana vibrante tiene una superficie muy reducida y es ligera. Por lo que la resonancia mecánica del microfono no ocurre por debajo de varias decenas de kilohertzios. Podemos recuperar las variaciones de intensidades en una resistencia en serie con el circuito de polarización del microfono. Se puede estimar la variación de la capacidad del microfono considerando la fórmula de la capacidad para un condensador plano:

$$C(x) = \frac{S\varepsilon_0}{d-x} \quad (5.27)$$

Donde d representa la distancia entre las placas del condensador y x el desplazamiento. Sabiendo que el desplazamiento es muy inferior a la distancia d podemos hacer un desarrollo en serie de $C(x)$:

$$C(x) = \frac{S\varepsilon_0}{d} \left(1 + \frac{x}{d}\right) = C_0 \left(1 + \frac{x}{d}\right) \quad (5.28)$$

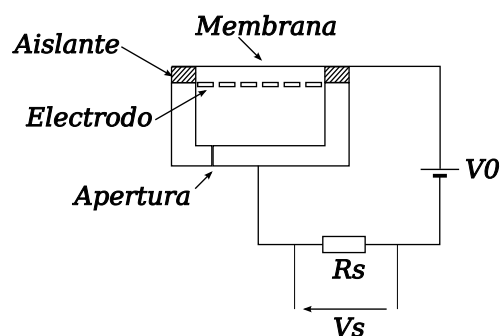


Figura 5.10: Micrófono electroestático

para $x \ll d$. Por otra parte la carga en las placas del condensador depende del potencial y de la capacidad:

$$Q(x) = C(x)(U_0 - V_s) \quad (5.29)$$

Desarrollamos esta expresión:

$$Q(x) = C_0 U_0 + C_0 U_0 \frac{x}{d} - V_s C_0 \left(1 + \frac{x}{d}\right) = C_0 U_0 + C_0 U_0 \left(\frac{x}{d} - \frac{V_s}{U_0} \left(1 + \frac{x}{d}\right)\right) \quad (5.30)$$

y para $V_s \ll U_0$ y $x \ll d$:

$$Q(x) = C_0 U_0 + C_0 U_0 \left(\frac{x}{d} - \frac{V_s}{U_0}\right) \quad (5.31)$$

La corriente que circula es la fluctuación de la carga en el tiempo:

$$\frac{dQ}{dt} = C_0 \frac{dV_s}{dt} + \frac{U_0}{d} \frac{dx}{dt} = I \quad (5.32)$$

La velocidad de la membrana v es la derivada de la distancia x :

$$v = \frac{dx}{dt} \quad (5.33)$$

En régimen armónico tenemos:

$$I = j\omega C_0 V_s + \frac{U_0}{d} v \quad (5.34)$$

Por otra parte $V_s = R_s I$, llegamos a la expresión de la función de transferencia:

$$\frac{V_s}{v} = \frac{U_0}{d} \frac{j\omega R_s C_0}{1 - j\omega R_s C_0} \quad (5.35)$$

La impedancia mecánica de la membrana es similar al sistema del microfono dinámico:

$$Z_m = \frac{k}{j\omega} + f + mj\omega \quad (5.36)$$

y expresa la relación entre la fuerza y la velocidad de vibración, $F = vZ_m$. La sensibilidad en función de la frecuencia del microfono electrostatico se expresa como:

$$\frac{V_s}{p} = \frac{Z_m S U_0}{d} \frac{j\omega R_s C_0}{1 - j\omega R_s C_0} \quad (5.37)$$

La impedancia mecánica en muchos casos se puede aproximar por $Z_m \simeq k/j\omega$. Es decir que se puede tomar en cuenta unicamente la tensión de la membrana. Esta muy tensada para mejorar la sensibilidad y disminuir el ruido.

En la banda util la sensibilidad se puede entonces aproximar por:

$$\frac{V_s}{p} \simeq \frac{k S U_0}{d} \quad (5.38)$$

5.3.3. Otros tipos de micrófonos

Para cerrar este capitulo podemos citar otro tipo de microfono como el piezoelectrico, el microfono de cintas. Vamos a describir brevemente el funcionamiento de cada uno de estos.

- Microfono Piezoelectrico: se basa en la deformación de un cristal piezoelectrico, este produce un campo electrico segun la direccion de la deformación. La tensión esta recuperada y amplificada (ver figura 5.11).
- Microfono de banda: se basa en el principio de inducción. Una banda metalica se encuentra en un campo magnetico y oscila con la onda de presión. La oscilación cambia la reluctancia del circuito magnetico y induce una variación del potencial.
- Microfono con carbones: es un microfono muy robusto pero también muy impreciso. Se usaba en los primeros telefonos. La onda de presión induce un cambio en la resistividad del ciruito, y consecuentemente una variación del voltage en el circuito.

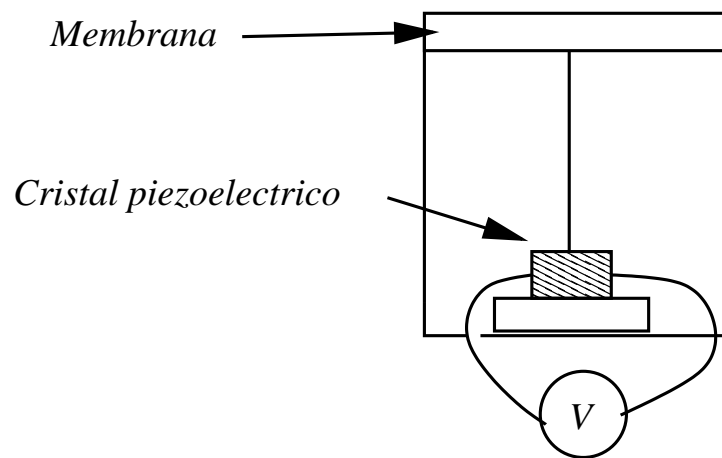


Figura 5.11: Principio del micrófono piezoeléctrico

5.4. Micrófono de guitarras

Los micrófonos de guitarras son un buen ejemplo de transductores adaptado para una aplicación concreta. Trataremos el caso aquí de las guitarras eléctricas, dado que las guitarras con caja (guitarras españolas, folk, ect) usan micrófonos piezoeléctricos.

El principio de funcionamiento de estos micrófonos se basa en la ley de Faraday. Se trata de un devanado de cobre sobre un imán. Las cuerdas son constituidas de materiales ferromagnéticos como el níquel y el hierro. Las cuerdas débilmente magnetizadas se comportan como imanes, al vibrar estas inducen una tensión eléctrica en el devanado alrededor del imán, ver figura 5.13. El flujo magnético varía con la velocidad transversal de la cuerda:

$$e = -\frac{d\Phi}{dt} \quad (5.39)$$

El micrófono se comporta como una inductancia. Un primer modelo de la impedancia eléctrica sería una simple inductancia L . Sin embargo la longitud del hilo puede llegar a ser muy grande, por lo que la resistencia no es despreciable. Por otra parte la capacidad de hilo a hilo puede sumarse y tener un valor también importante. En conclusión, el modelo aproximado de un micrófono puede llegar a ser parecido al de la figura 5.13.

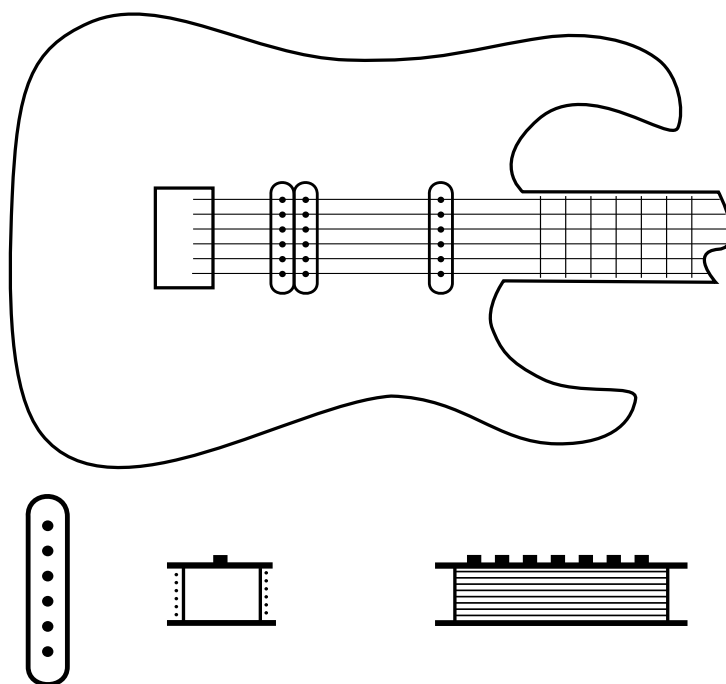


Figura 5.12: Microfonos de guitarra. Consiste en unos imanes permanente debajo de las cuerdas y alrededor tenemos un devanado de hilo de cobre.

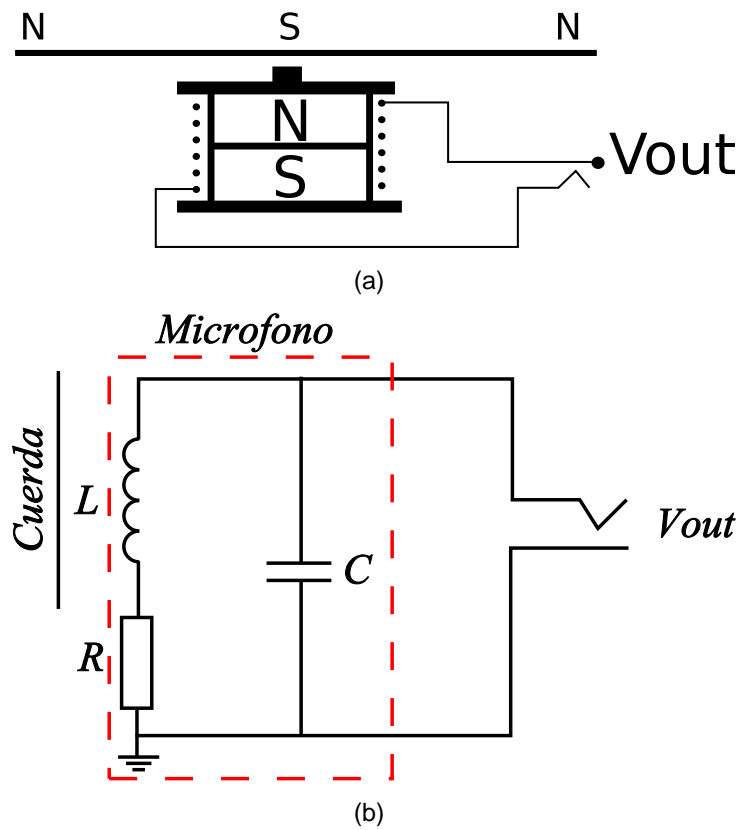


Figura 5.13: Microfonos de guitarra y esquema electrico equivalente.

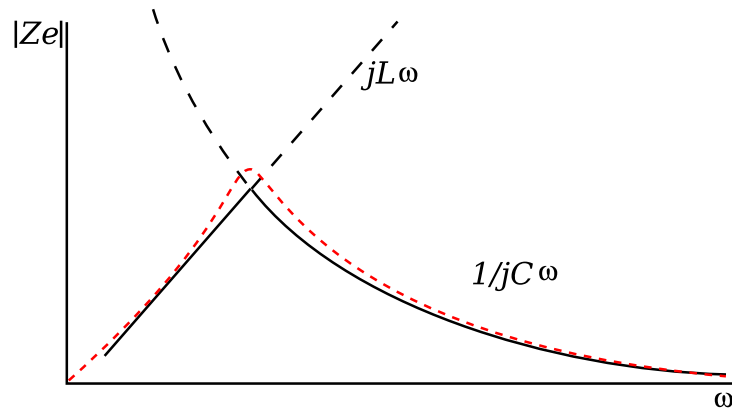


Figura 5.14: Representación del módulo de la impedancia del microfono en función de la frecuencia.

La impedancia electrica toma la siguiente forma:

$$Z_e = \frac{(R + jL\omega)}{(R + jL\omega)jC\omega + 1} \quad (5.40)$$

La impedancia electrica en función de la frecuencia se puede observar en la figura 5.15. En baja frecuencia domina el comportamiento inductivo, la impedancia crece con la frecuencia, cuando en alta frecuencia es el comportamiento capacitivo que domina. En el ultimo caso la impedancia disminuye con la frecuencia. Tenemos un filtro paso bando. El diseñador del microfono tiene que tomar en cuenta que el número de vueltas influye sobre la capacidad pero también sobre la inductancia. También el material y el tipo de imanes influyen sobre la calidad y la potencia del sonido. El modelo presentado aqui es muy simplificado, no se toman en cuenta los modos de vibración de las cuerdas, la saturación de los imanes ect...

5.5. Ejercicios

1. Parametros de altavoces.

Dar

2. Angulo de apertura

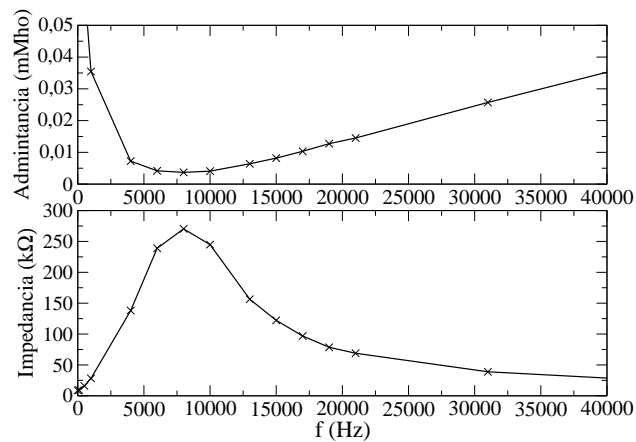


Figura 5.15: Medida de la impedancia de un microfono de guitarra de type "Humbucker", de marca Jackson. Es un microfono doble con dos bobinas en vez de una para reducir el ruido de fondo. Se observa el comportamiento inductivo en baja frecuencia y capacitivo en alta frecuencia. La impedancia en vacio (a 0Hz) es de 8292Ω .

Dado un altavoz de tipo tweeter de 4000Hz-20000Hz dar el diametro a del altavoz para no bajar de 60° .

3. Parametros de microfonos
4. Directividad
5. Potencia y radiación
6. Calculo de filtros
7. Resonancia de un bafle.

Frecuencia de resonancia con una caja de a, b , y c Dado las dimensiones dar las tres primeras frecuencias de resonancia.

x	$J_1(x)$	x	$J_1(x)$
0.0	0.0000	3.4	0.1792
0.2	0.0995	3.6	0.0955
0.4	0.1960	3.8	0.0128
0.6	0.2867	4.0	-0.0660
0.8	0.3688	4.2	-0.1386
1.0	0.4401	4.4	-0.2028
1.2	0.4983	4.6	-0.2566
1.4	0.5419	4.8	-0.2985
1.6	0.5699	5.0	-0.3276
1.8	0.5815	6.0	-0.2767
2.0	0.5767	7.0	-0.0047
2.2	0.5560	8.0	0.2346
2.4	0.5202	9.0	0.2453
2.6	0.4708	10.0	0.0435
2.8	0.4097	11.0	-0.1768
3.0	0.3391	12.0	-0.2234
3.2	0.2613		

Cuadro 5.1: Función de Bessel de primer especie y de orden 1.

Capítulo 6

Psicoacústica

En esta sección introducimos los conceptos básicos de la percepción humana del sonido. El conocimiento del funcionamiento de las percepciones auditivas son la base de numerosas aplicaciones de ingeniería y aplicaciones médicas.

6.1. El oído humano

El oído humano es un tipo de transductor acústico, transforma ondas de presión acústica en señales nerviosas interpretadas por el cerebro.

6.2. Anatomía

El oído se descompone en tres partes:

- El oído externo, o pavillon: es la parte visible del oído la oreja. Su papel es concentrar el sonido en el conducto auditivo para amplificarlo.
- El conducto auditivo: se encarga de encaminar el sonido hasta el tímpano. Es ligeramente torcido, lo que evita la introducción de objetos hasta el tímpano.
- El oído medio: en esta parte empiezan las tareas de transducción. El oído medio se compone de varios huesecillos que realizan la amplificación mecánica. Este sistema mecánico transmite al oído interno las vibraciones a través del estribo.

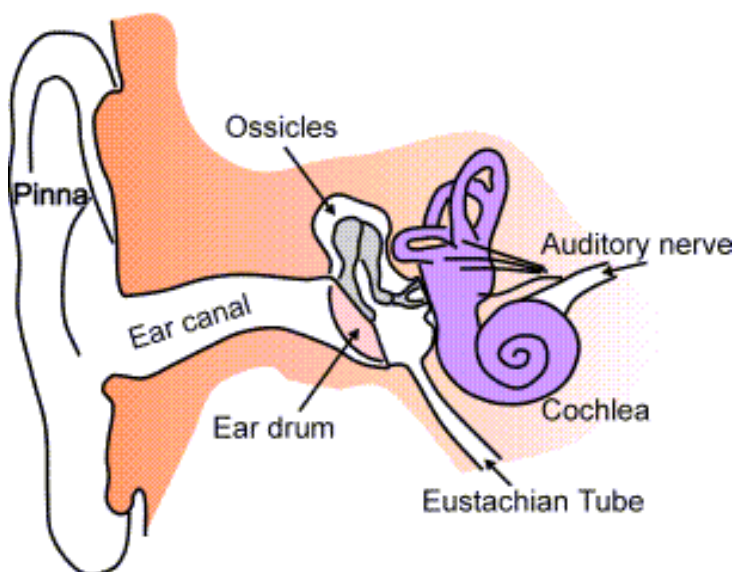


Figura 6.1: Esquema del sistema auditivo

- El oído interno: esta parte tiene dos funciones esenciales. La primera consiste en la regulación del equilibrio a través de tres canales semi-circulares. Estos tres canales cada uno situado en tres direcciones ortogonales envía contiene un liquido lo cual circula por inercia y activa sensores indicando la posición en el conducto. El movimiento del liquido es luego interpretado por el cerebro para la gestión del equilibrio. La segunda función del oído interno es la transformación de las vibraciones mecánicas (acústicas) en señales nerviosas interpretables por el cerebro. Para desarrollar esta función el oído medio esta conectado a un organo muy complejo que es la coclea.

6.3. Fisiología

6.3.1. El oído medio

El sistema de huesecillos del oído medio permite la transducción a la coclea, llena del liquido basilear. Los huesecillos son el fruto de la evolución para

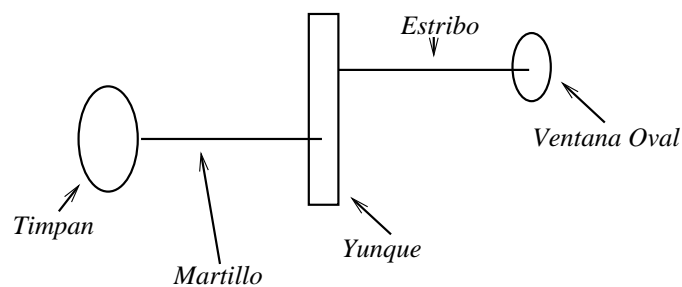


Figura 6.2: Esquema del sistema de huesecillos. La diferencia de superficie entre la entrada (timpán) y la salida (ventana oval) amplifican la señal. Además el efecto de palanca de los huesecillos amplifican la amplitud de las vibraciones.

la adaptación de un medio líquido a un medio aerio. La coclea esta muy bien adaptada a la vida marina y los peces no necesitan el sistema de huesecillos para oír. Estos han evolucionado para adaptar la impedancia del aire a la impedancia del agua. Es un adaptador de impedancia mecánica. Amplifica la vibraciones mecánicas gracias a un ingenioso sistema de palancas.

La amplificación se realiza primero por la relación entre las superficies del timpan y de la ventana oval. El timpan percibe la vibración acústica y la transmite al sistema de huesos lo cual lo transmite a través de la ventana oval a la coclea. La potencia transmitida se aplica sobre una superficie mas pequeña y por lo tanto hay un fenómeno de amplificación. El timpán tiene una superficie de $0,6\text{cm}^2$ y la ventana oval de $0,04\text{cm}^2$ en media. Por otra parte el sistema de huesecillos representado en la figura 6.2 amplifica también la señal mecánica. Los huesecillos estan atados al creano a través de tendones y musculos. Estos pueden afectar la tensión del martillo sobre el yunque y así atenuar el sonido, cuando los muslos se relajan el sonido se amplifica. Este reflejo protege para sonidos de mas de 500ms de duración, no protege para sonidos impulsivos (disparos ect).

6.3.2. El oído interno

Es el organo mas complejo del sistema auditivo, es allí donde se realiza la química de la transducción. Como hemos mencionado antes, el oído interno también desempeña funciones relacionadas con el equilibrio. El oído esta

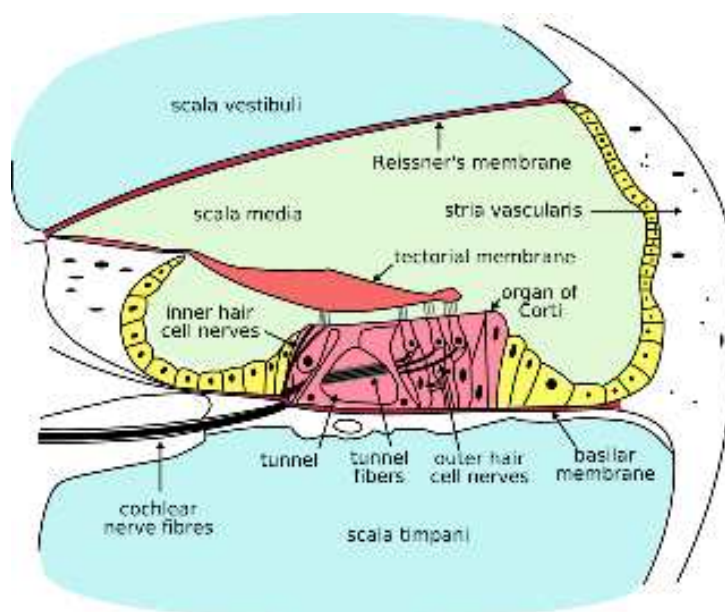


Figura 6.3: Sección de la coclea

compuesto por el laberinto, lo cual es una cavidad osea con: los canales semi-circulares, el vestibulo, y el caracol. La coclea es el organo donde los sonidos se transforman en flujo nervioso. Es un tubo enrollados en espiral, en la figura 6.3 tenemos una sección de la coclea. El estribo transmite entonces las vibraciones al liquido contenido en la coclea a traves de la ventana oval, en la rampa vestibular. El estribo provoca en la rampa vestibular una diferencia de presión con relación la parte inferior, la rampa timpanica. Esta diferencia de presión provoca una vibración de la membrana basilar. La membrana basilar se extiende a lo largo de la coclea pero es mas rigidez cerca de la base ver figura 6.4. La frecuencia del sonido se detecta con la oscilación de unas celulas solidarias de la membrana basilar, la celulas ciliadas. Debido a la rigidez no uniforme de la membrana, el maximo de amplitud de vibración se alcanza en un sitio depediendo de la frecuencia. Es el equivalente de una cuerda de rigidez creciente. Depediendo de la frecuencia la cuerda alcanza un maximo de vibración distinto. Este maximo permite a la coclea de localizar de forma espacial la frecuencia de un sonido y las correspondenties celulas de mandar la información al cerebro a traves del nervio auditivo. La envolvente de la onda de vibración se mueve con la frecuencia del sonido. Así las frecuencias bajas

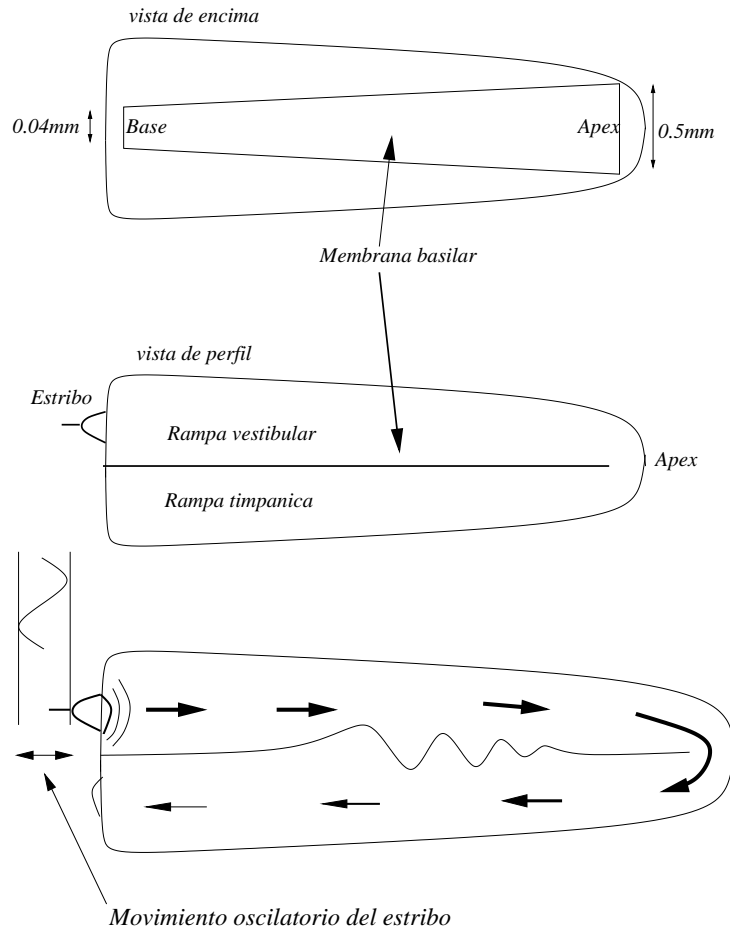


Figura 6.4: Esquema de la coclea visto de perfil y encima. Movimiento oscilatorio de la membrana basilar cuando esta excitada a través de la ventana oval

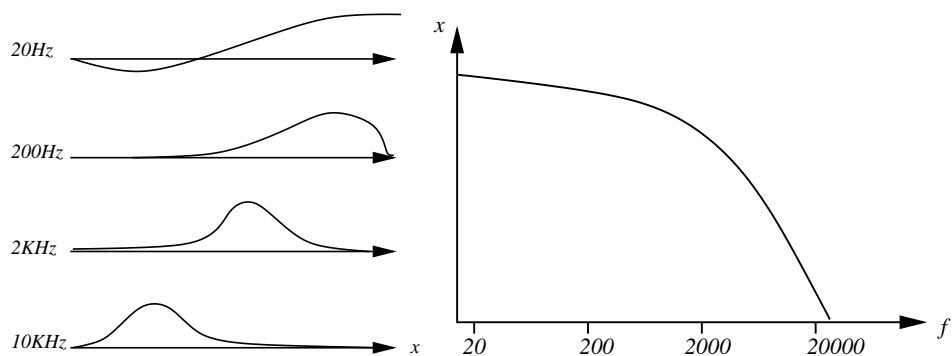


Figura 6.5: Maximo de vibración de la membrana basilar en función de la frecuencia, el maximo se acerca de la base según aumenta la frecuencia.

se encuentran mas cerca del apex y las mas altas cerca de la base. En la figura 6.5 tenemos ejemplos de situación de maximo de vibración en función de la frecuencia de un tono puro. Las células ciliadas están excitadas por la vibración de la membrana basilar. Esta excitación se transmite al nervio mediante las células ciliadas internas. Las células ciliadas externas tienen un papel todavía no muy conocido, forman parte del sistema nervioso aferente y no del sistema sensitivo. Podrían tener un papel en la selección de frecuencias, o para afinar la detección.

6.4. Percepción

6.4.1. Sensibilidad de potencia

Como ya lo hemos mencionado anteriormente al definir la noción de intensidad del sonido el oído, la sensación de potencia, es función del logaritmo de la excitación. Es decir que si tenemos un estímulo mucho mas fuerte para tener la sensación que este sea mas fuerte. El oído tiene entonces una ley de percepción logarítmica es la ley de Weber-Fechner:

$$S = c \ln\left(\frac{E}{E_0}\right) \quad (6.1)$$

con E_0 la mínima excitación detectable por el oído. Sin embargo esta ley no vale para todas las excitaciones, el oído no tiene un comportamiento similar

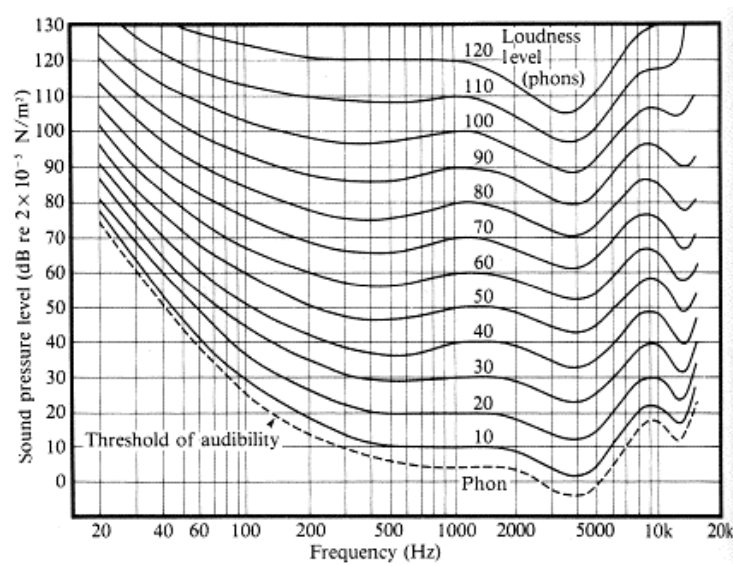


Figura 6.6: Cartas de Fletcher Robinson & Dadson in 1956, following the original work of Fletcher & Munson (Fletcher, H. and Munson, W.A. (1933) J.Acoust.Soc.Am. 6:59;

para todas las frecuencias. Como se trata de sensaciones también depende del sujeto. Se necesita hacer carta de audición medias para distintas frecuencias, son las cartas de Fletcher como enseñado en la figura 6.6. La grafica enseña los isofonos, es decir las curvas para la cual la sensación de potencia es la misma para todo el rango de frecuencias audibles. El phono corresponde a un aumento de 1dB SPL con referencia al umbral de audición. Estos diagramas experimentales se obtienen pidiendo a un sujeto que escuche sonidos de una determinada frecuencia. Se aumenta poco a poco la potencia y cuando el sujeto nota un cambio se apunta en la carta el nuevo umbral de percepción correspondiendo a un phono mas.

6.4.2. Sensibilidad en frecuencia

6.4.3. El efecto coktel

La escucha selectiva es una propiedad del oído humano de discernir un instrumento, una conversación de un ruido ambiente. Hay dos tipos de fenómenos,

primero el cerebro espera una cierta información y es capaz de reconstruir a partir de una información parcial o ruidosa el resto de la información. Por ejemplo somos capaces de entender una conversación en un entorno ruidoso aun si no se han oído todas las palabras. El otro fenómeno es menos conocido, las células de Corti en la cóclea podrían tener un papel en la escucha selectiva. Este mecanismo es todavía desconocido pero las células de Corti externas tienen un papel en el reconocimiento de tonos.

6.4.4. Enmascaramiento y codificación audio

Los populares codificadores de audio tienen como base modelos de psicoacústica. En el total de sonido que escuchamos ciertos sonidos de potencias menores están enmascarados por sonidos de potencias mayores. A partir de este principio es posible quitar toda la información inaudible de un flujo de sonido. Es el principio de la codificación perceptiva. Hay tres tipos básicos de enmascaramiento:

1. Los sonidos por debajo del umbral de frecuencia no se oyen y pueden ser suprimidos.
2. El enmascaramiento en frecuencia es el hecho que algunos sonidos enmascaran sonidos de frecuencia próxima pero de potencia inferior. Se definen ventanas debajo de las cuales los sonidos no están percibidos.
3. El enmascaramiento temporal consiste en el enmascaramiento de sonidos cercanos en el tiempo. Un impulso de potencia inferior después de un sonido fuerte no se percibe. También existen modelos psicoacústicos para este tipo de enmascaramiento.

En la figura 6.8 se ve un ejemplo de enmascaramiento temporal y frecuencial. El sonido marcado por una flecha deforma las curvas de percepción y enmascara una zona del espectro. Para el enmascaramiento temporal se muestra como un sonido puede enmascarar antes y después sonidos más débiles en potencia. El enmascaramiento pre-temporal es de algunos milisegundos cuando el enmascaramiento post es de alrededor de 10 milisegundos.

Para codificar los sonidos se analizan tramas de N bits siguiendo el esquema de la figura ???. Primero se evalúan las potencias por debajo del umbral de audición, después se evalúan los umbrales de enmascaramiento para cada componente (frecuencial y temporal). Se eliminan las muestras innecesarias

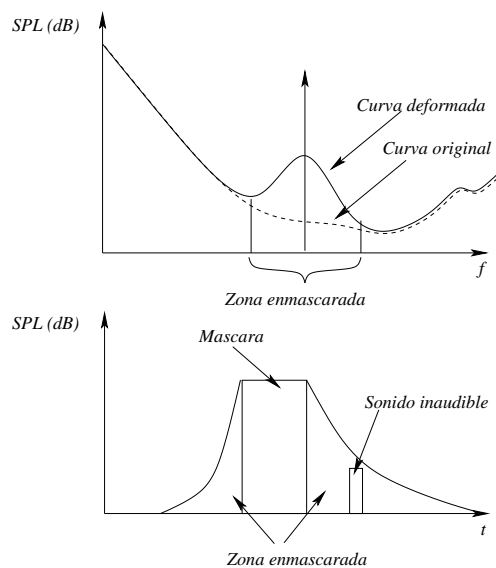


Figura 6.7: Enmascaramiento en frecuencia y enmascaramiento temporal

después del análisis de las máscaras. Se codifican después con el número mínimo de bits, esta etapa es muy importante, porque equivale a aumentar el ruido en cada banda. Se evalúa entonces cuál es la cantidad de ruido que se puede añadir sin que sea percibido por el auditor. Este ruido tiene que siempre por debajo del umbral de enmascaramiento.

6.5. Orientación auditiva

El hecho que tengamos dos orejas no es solo por cuestiones estéticas, sino también por cuestiones prácticas importantes. Sería muy difícil o casi imposible localizar sonidos en el espacio con solo una oreja. Aquí describimos algunos de los mecanismos que nos permite identificar el origen de un sonido en el espacio.

6.5.1. Localización circular

Cuando la fuente de un sonido no está centrada frente a la cabeza, los oídos no perciben el mismo mensaje. El cerebro con esta diferencia consigue

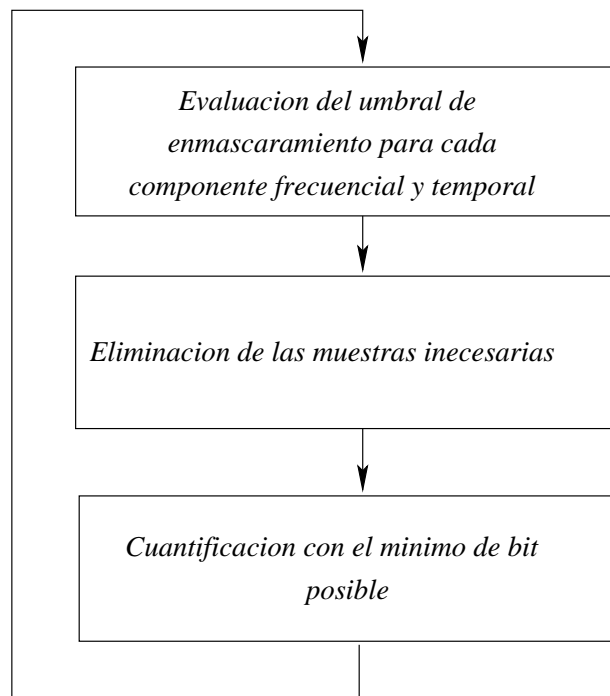


Figura 6.8: Algoritmo para la codificación perceptiva de audio

captar el origen de la fuente en muy poco tiempo. Para localizar la fuente el cerebro usa varios efectos conjuntamente:

- la diferencia de intensidad entre los oídos.
- La diferencia de fase.
- La diferencia de tiempo.

El papel de la fase es importante para sonido de longitud de ondas superiores a dos veces el tamaño de la cabeza $\lambda/2 > a$. La onda llega entonces con una fase distinta en cada oído. Este desfase permite al cerebro de localizar la fuente. En la figura 6.9 podemos expresar la diferencia de fase entre oídos en función del ángulo. La diferencia de camino en función de la anchura de la cabeza a y del ángulo θ . Siguiendo la notación de la figura 6.9, la diferencia entre los dos caminos es de 2δ y en función del ángulo tenemos (para $d \gg a$):

$$2\delta \simeq a \cos(\theta) \quad (6.2)$$

El desfase es máximo cuando $\theta = 0[\pi]$. La localización es más precisa en frente, la resolución es de 1° en frente y de 10° cuando están en los lados.

El papel de la intensidad es también importante, para las frecuencias altas la atenuación es bastante alta de un oído a otro. Aquí están algunos ejemplos:

$$\begin{array}{l|l} 300Hz & 0dB \\ 1000Hz & 8dB \\ 10000Hz & 30dB \end{array}$$

Este efecto permite la localización para sonidos de frecuencias más altas.

El último efecto es el *decalage* temporal entre oídos. Debido a la velocidad de propagación en el aire la diferencia de camino introduce un *decalage* temporal entre los dos oídos. El efecto Haas funciona para todas las frecuencias en el aire todas las frecuencias viajan a la misma velocidad.

Si ponemos a una persona un casco a una persona y se le manda dos impulsos breves sucesivos (unos clics) con un ligero *decalage* temporal en cada oído el sujeto percibe cosas distintas según el tiempo del *decalage* Δt :

- si $\Delta t > 2$ ms el sujeto percibe dos sonidos distintos.
- si $\Delta t < 3 \cdot 10^{-5}$ s el sujeto percibe un solo click sin localizar.

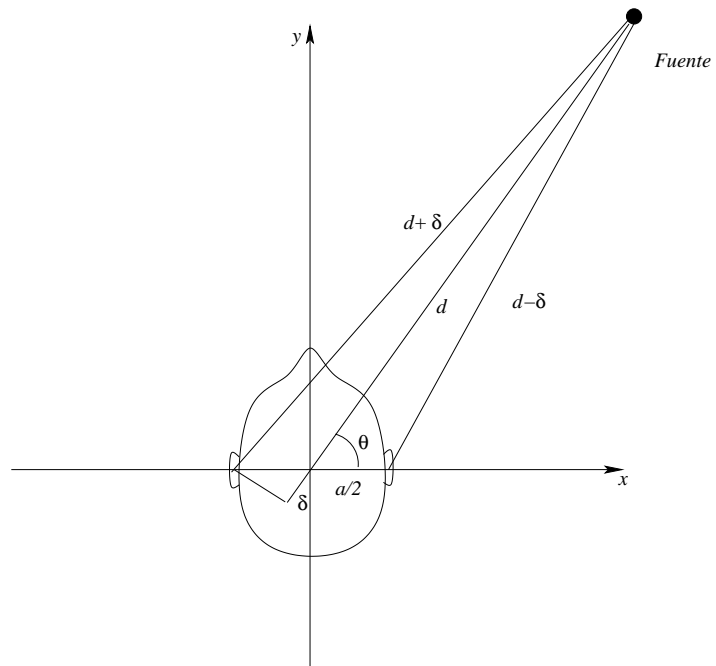


Figura 6.9: Algoritmo para la codificación perceptiva de audio

- si $\Delta t \in [3 \cdot 10^{-5}; 2 \cdot 10^{-3}]$ s entonces el sujeto percibe un solo click pero con una localización en el espacio.

Con la ayuda de la figura 6.9 podemos estimar este decalage temporal entre oídos fácilmente:

$$\Delta t \simeq a/c \cos(\theta) \quad (6.3)$$

con c la velocidad del sonido en el aire. Como ejemplo para $a = 0,2\text{m}$ y $c = 330\text{m}\cdot\text{s}^{-1}$ tenemos:

$$\Delta t \simeq 6 \cdot 10^{-4} \cos(\theta) \quad (6.4)$$

6.5.2. Estimación de la altura

El fenómeno de estimación de la altura no es muy establecido, podrían entrar en juego los canales semi-circulares.

6.5.3. Estimación de la distancia

Este tipo de localización esta unicamente en la experiencia, cuando escuchamos un ruido comparamos con las experiencias anteriores y podemos determinar a partir de ello la distancia de una fuente de sonido. Sin embargo muchas condiciones externas pueden engañar, como la temperatura del aire, el viento ect...

Capítulo 7

Acústica de las salas

En esta parte introducimos los conceptos básicos del diseño de salas a nivel de la acústica.

7.1. Salas pequeñas

En salas pequeñas es posible tener una estimación de la respuesta en frecuencia a partir de las dimensiones. Si consideramos las paredes muy reflexivas entonces podemos calcular los modos de vibración de la sala. Esto equivale a calcular las frecuencias de resonancias de una sala.

Para ello se resuelve la ecuación de propagación de una onda con las condiciones de contorno adecuadas, para una sala rectangular la ecuación de onda se escribe como:

$$\frac{\partial^2 p}{\partial t^2} = c^2 \left(\frac{\partial^2 p}{\partial x^2} + \frac{\partial^2 p}{\partial y^2} + \frac{\partial^2 p}{\partial z^2} \right) \quad (7.1)$$

La impedancia acústica de las paredes tienen en general una parte imaginaria, representando la parte elástica del material, y una parte real negativa representando las pérdidas en el material. En el caso más sencillo, consideramos la pared como puramente reflexiva, la impedancia es infinita y todas las ondas son reflejadas. La condición de contorno en una pared es entonces:

$$\frac{\partial p}{\partial r} = 0 \quad (7.2)$$

con r una de las coordenadas normal a la pared, es decir x, y o z . Como la ecuación de onda es lineal el problema es a variable separable, la solución

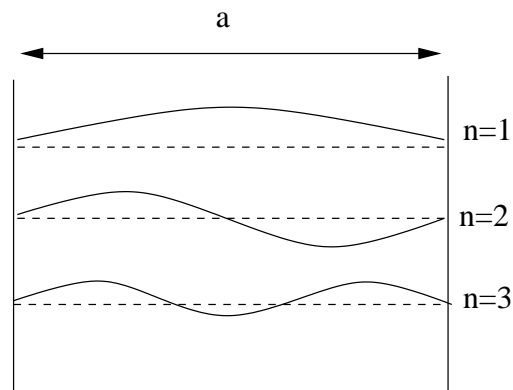


Figura 7.1: Modos de una onda en una cavidad de longitud a con la condición de contorno $\frac{\partial p}{\partial r} = 0$ en las paredes. Solo presentamos los tres primeros modos de vibración.

puede descomponerse como: $p(x, y, z) = p_x(x)p_y(y)p_z(z)$. La solución de la ecuación de onda con las condiciones de contorno para una sala de dimensiones a, b, c correspondiendo a los tres ejes x, y o z puede intuirse analizando los modos de una cavidad como en la figura 7.1.

Para calcular los modos relativo al eje x podemos calcular la solución según esta dimensión:

$$\frac{\partial^2 p_x}{\partial t^2} = c^2 \frac{\partial^2 p_x}{\partial x^2}$$

Para una solución harmonica tenemos la solución general de esta ecuación como:

$$p_x(x, t) = Ae^{j(\omega_x t - k_x x)} + Be^{j(\omega_x t + k_x x)}$$

poniendo $k_x = \omega_x / c$ y con A y B coeficientes complejos. Las condición de contorno (7.2) impone $\frac{\partial p_x}{\partial x} = 0$ en $x = 0$ y en $x = a$:

$$\begin{aligned} \frac{\partial p_x}{\partial x} \Big|_{x=0} &= -A + B = 0 \\ \frac{\partial p_x}{\partial x} \Big|_{x=a} &= -Ae^{-jk_x a} + Be^{jk_x a} = 0 \end{aligned}$$

Resolviendo las expresiones anteriores obtenemos:

$$\begin{aligned} A &= B \\ \sin(k_x a) &= 0 \end{aligned}$$

Y obtenemos un condición importante sobre las frecuencias posibles de vibración de las ondas en la cavidad:

$$k_x = \frac{l\pi}{a} \quad (7.3)$$

con l un entero. resolviendo la ecuación de onda en tres dimensiones (7.1) obtenemos una condición suplemental sobre la vibración de las ondas:

$$\omega^2 = c^2(k_x^2 + k_y^2 + k_z^2)$$

La solución de la ecuación(7.1) se expresa entonces como:

$$p(x, y, z) = A \cos\left(\frac{l\pi x}{a}\right) \cos\left(\frac{m\pi y}{b}\right) \cos\left(\frac{n\pi z}{c}\right) \sin(\omega t)$$

con l, m y n tres enteros y

$$\omega = \pi c \sqrt{(l/a)^2 + (m/b)^2 + (n/c)^2}$$

Vemos que la respuesta frecuencial de la sala depende mucho de sus dimensiones a, b, c . Podemos considerar la sala como un filtro pasivo que impone un “color” acústico a la sala, es decir un cierta respuesta. Se distingue tres tipos de modos particulares:

- Los modos axiales: 2 índices nulos.
- Los modos tangenciales: 1 de los tres índices nulos.
- Los modos oblicos: todos los modos son nulos.

Según las proporciones de la sala los modos van a estar bien repartidos o concentrados. Se prefiere en general una sala con modos mas repartidos, cuando los modos estan muy agrupados la sala tiene una respuesta muy marcada y privilegia ciertas frecuencias. Esto puede resultar desagradable y puede ser un problema para las aplicaciones de audio (como estudios de grabaciones) o las salas de concierto pequeñas. Las salas cubicas tienen una respuesta con muchos modos agrupados dando una respuesta “aguda”. Una sala rectangular con dimensiones (1,2,3) tiene una respuesta mas suave. Curiosamente salas con las dimensiones del nombre de aurio (1.618,1,0.618) tiene unos modos bien repartidos. Los arquitectos tienen que tomar en cuenta estos parametros si quieren tener una acústica buena.

El número de modos comprendidos en el rango $[0, f]$ de una sala se puede aproximar con una fórmula empírica:

$$N(f) \simeq \frac{4\pi}{3}V(f/c)^3 + \frac{\pi}{4}S(f/c)^2 + \frac{L'}{8}(f/c) \quad (7.4)$$

Donde V es el volumen de la sala, S su área y $L' = 4(L + W + H)$ es la suma de los perímetros de la sala. Sin embargo a partir de una cierta frecuencia los modos son más espaciados y tienen una banda más ancha casi plana por lo que casi no afectan a los fenómenos de resonancia.

7.2. Salas de conciertos y estudio

Desde los griegos con los anfiteatros se ha buscado la manera de aprovechar un espacio para que el sonido de un evento sea compartido por todo el mundo. Ha dado lugar a unos impresionantes anfiteatros hasta salas de concierto diseñadas para el placer del oyente. Vamos ahora a comentar los efectos importantes de una sala de un auditorio y cuáles son las características interesantes para el diseño.

7.2.1. Reverberación y eco

En una sala el sonido generado por la fuente (un locutor, un altavoz etc) llega al auditor de forma directa y luego llegan las reflexiones del sonido sobre las paredes de la sala. Los tiempos de reflexión son a menudo los que caracterizan la sala. Consideramos salas de más de 14 metros de ancho a continuación.

La respuesta de una sala se puede descomponer en tres momentos. Después de un impulso tenemos primero el sonido directamente de la fuente. En segundo lugar vienen las primeras reflexiones del techo y de las paredes. Para terminar un gran número de reflexiones llegan de todas las direcciones y muy agrupado en el tiempo. Es la reverberación. Para un impulso, podemos determinar los tiempos del primer sonido y de las primeras reflexiones. Sin embargo después solo podemos estimar el decrecimiento exponencial típico de las reverberaciones. Una característica interesante es la localización de los sonidos por el cerebro en las salas. Debido a los numerosos rayos reflejados el cerebro tiene que fijarse sobre el rayo directo. En efecto bajo ciertas

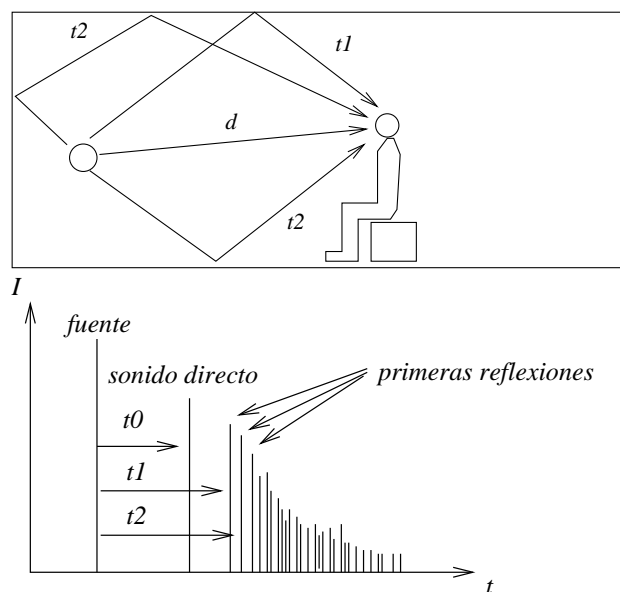


Figura 7.2: Reverberación de una sala.

condiciones el oído es capaz de localizar los sonidos sin dificultad en una sala como lo describe el efecto Haas (ver psicoacústica). La fuente está localizada sin dificultad si:

- el sonido directo llega antes de 35ms.
- El sonido no está demasiado deformado en espectro y amplitud.
- Los sonidos siguientes no sean demasiado fuertes en comparación con el directo.

Cuando se prolonga un sonido el sonido llega a un equilibrio, hay una suma de las amplitudes de las reflexiones hasta alcanzar un equilibrio. Cuando el sonido cesa la intensidad decrece exponencialmente. La figura 7.3 ilustra este fenómeno, el tiempo de decrecimiento es un parámetro importante para el diseño de las salas. A notar que el ataque del sonido es discontinuo cuando el decrecimiento es continuo. El decrecimiento de la intensidad del sonido es exponencial lo que corresponde a un decrecimiento lineal de la intensidad en decibelios (figura 7.3). El tiempo de reverberación corresponde al tiempo en el que un sonido todavía persiste cuando la fuente se apaga. Este tiempo puede

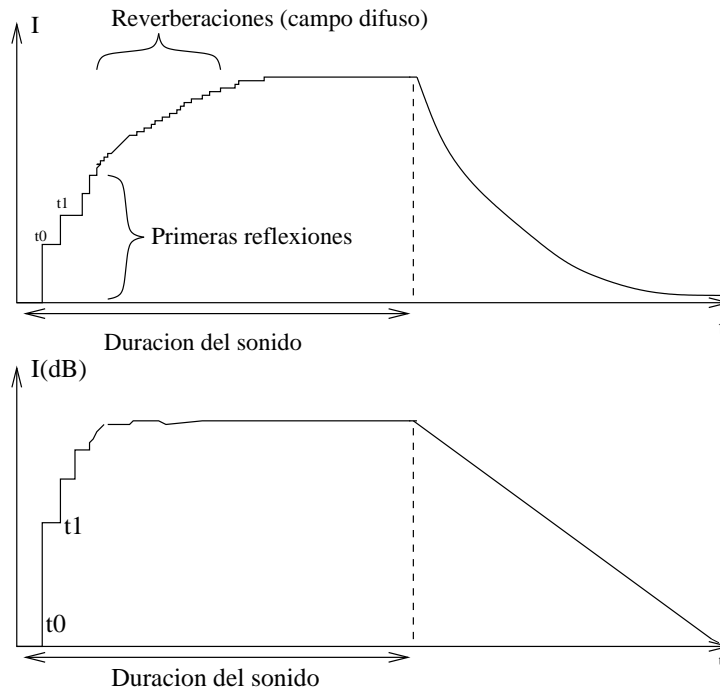


Figura 7.3: Reverberación de una sala con un sonido prolongado en intensidad y en logaritmo de la intensidad.

aproximarse cuando el sonido a bajado de 60dB de intensidad acústica, es el tiempo T_{60} . Cuando la energía del sonido esta repartida en una sala es facil calcular la enegia de la onda presente en el volumen, depende de la fuente y del volumen de la sala. La velocidad a la que el sonido esta absorbido por las superficies depende del material y de la superficie absorbante. En la mayoría de los casos todas las paredes absorben la misma cantidad de energia por lo que consideramos la area total de las paredes A . La formula de Sabine da una estimación del tiempo T_{60} como:

$$T_{60} = \frac{KV}{A} \quad (7.5)$$

con $K = 0,161$ y V el volumen de la sala y para superficies totalmente absorbantes. Se puede mejorar esta estimación si se conocen los parametros de absorción de los materiales $\alpha_1, \alpha_2 \dots$. La superficie se descompone en tal caso como: $S = S_1\alpha_1 + S_2\alpha_2 + \dots$. En la siguiente tabla se presentan algunos

coeficientes de absorción para un frecuencia de 500Hz.

Material	coeficiente
Cemento pintado	0.06
Cristal	0.18
Cortinas espesas	0.55
Suelo de madera	0.1
Alfombra	0.14
Isolante acústico sobre paredes	0.76

En un auditorio los asientos y los espectadores tienen un efecto importante sobre la absorción del sonido en una sala llena el sonido esta mucho mas absorbido. También los sillones inocuados añaden superficie absorbante. En la siguiente tabla se proponen algunos valores de aera absorbante en m^2 que se tiene en cuenta para el calculo de T_{60} , los valores se dan para una frecuencia de 500 Hz.

Tipo de asientos	Superficie absorbante en m^2
silla simple inocuada	0.02
sillón inocupo	0.39
Sillón ocupado	0.56

A partir de la formula de Sabine podemos obtener el tiempo de decrecimiento de la intensidad. Esta formula se puede deducir analiticamente a partir de hipotesis sencillas sobre la distribución del sonido en una sala. Antes de empezar los desarrollos matemáticos podemos dar una intuición de lo que ocurre en una sala cerrada. Supongamos que la sala esta vacia y que en el centro de esta se encuentra un emisor radiando un sonido de intensidad I_r . En cuanto empieze el sonido llega a las paredes y una parte esta absorbida y una parte esta reflejada. Llamamos I_1 esta onda reflejada de todas partes. Si la onda se refleja por todas las direcciones entonces despues de la primera reflexión la intensidad en la sala es: $I_1 = I_r + rI_r$ con r el coeficiente de reflexión medio de la sala. Esta onda reflejada va a su vez alcanzar las paredes y una reflexión despues la intensidad es: $I_2 = I_r + rI_r + r^2I_r$. Al cabo de N reflexiones la intensidad del sonido es:

$$I_n = \sum_0^N I_r r^n \quad (7.6)$$

Para $|r| < 1$ y $N \rightarrow \infty$ esta sucesión converge hacia:

$$I_{\infty} = \frac{I_r}{1 - r} \quad (7.7)$$

Es decir que la intensidad de la sala alcanza un régimen estacionario. Sin embargo la dinámica del proceso no es del todo discreta, las reflexiones son difusas y una aproximación en tiempo continuo se impone.

Podemos tomar el ejemplo de una sala de 8m por 5,4m de ancho y de tres metros de altura. En la figura 7.4.a tenemos la grabación de un sonido seco, como el sonido de unas palmas. El sonido ha sido grabado con un microfono en el centro de la sala. Se ve claramente un decrecimiento exponencial de la amplitud del sonido a lo largo del tiempo. Este decrecimiento es todavía mas claro en la escala logaritmica de la figura 7.4.b. A continuación tenemos algunos datos sobre el material que componen la sala:

- Techo: placas absorbantes, coeficiente de absorbción 0,4.
- Suelo: cemento con linoleum, coeficiente de absorbción 0,06.
- Paredes: madera con escayola, coeficiente de absorbción 0,1.
- Ventana de 2,77 por 1,6m, coeficiente de absorbción 0,18.
- Superficie absorbante total: $S = (0,76 + 0,06) \cdot 8 \cdot 5,4 + 0,18 \cdot 2,77 \cdot 1,59 + 0,1(8 \cdot 3 \cdot 2 + 5,4 \cdot 3 \cdot 2 - 2,77 \cdot 1,6)$

A partir de la figura 7.4.b podemos estimar que el tiempo para que el sonido decaiga de 60dB esta comprendido entre 0,7 y 0,8s. Podemos calcular el T_{60} teorico a partir de la formula de Sabine:

$$T_{60} = \frac{K \cdot 8 \cdot 4,6 \cdot 3}{S} = 0,73s \quad (7.8)$$

La formula de Sabine nos da una estimación correcta para esta sala.

7.2.2. Formula de Norris-Eyring

Una alternativa a la formula de Sabine para la reverberación es la formula de Norris-Eyring. Al igual que la formula de Sabine esta se basa en hipotesis sobre la repartición del sonido en la sala. La formula de Sabine sale del

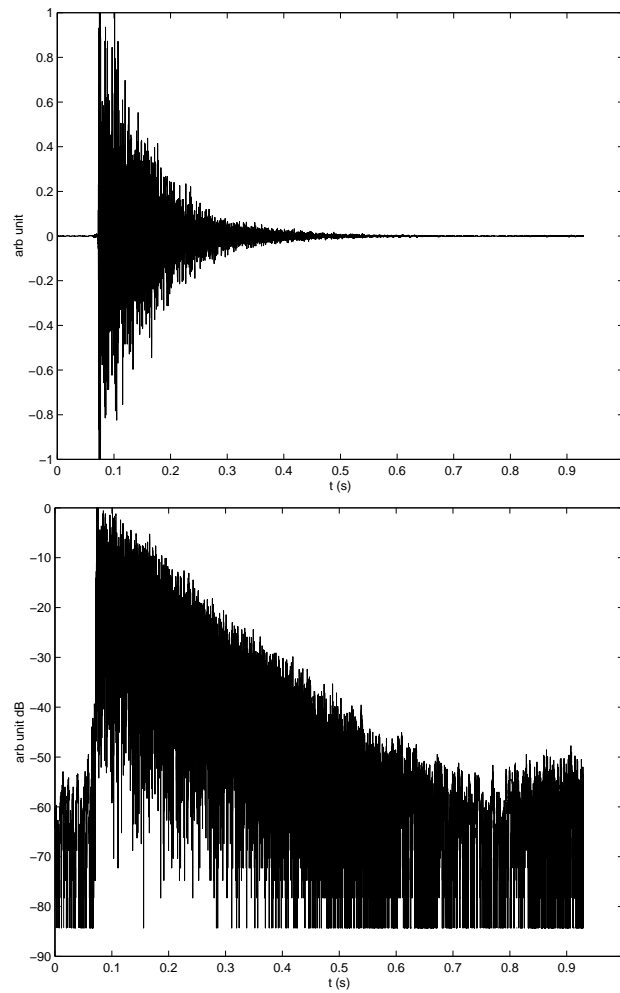


Figura 7.4: Reverberación de una sala de 8x5,4x3 m en escala lineal y en escala logaritmica.

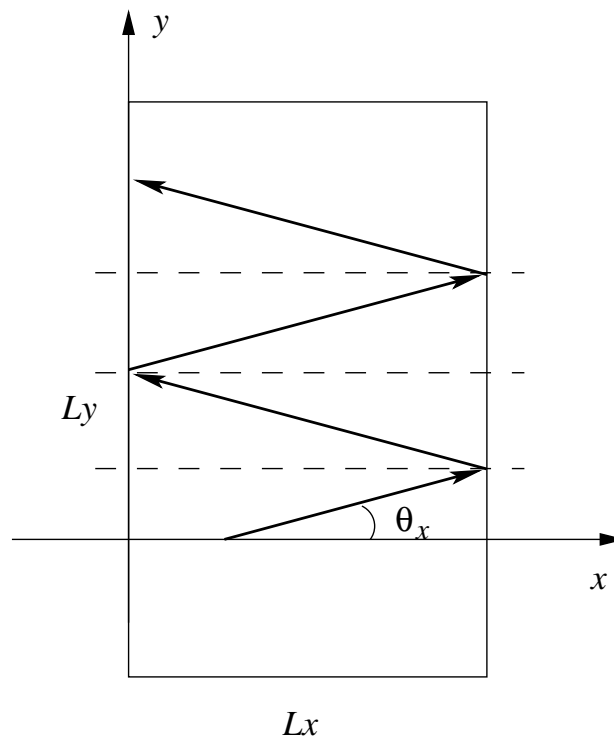


Figura 7.5: Reverberación en una sala de dimensión L_x, L_y, L_z .

principio que la energía está repartida uniformemente en un volumen, lo que no es siempre cierto cuando tratamos fuentes “reales”. El planteamiento de Norris-Eyring es de seguir el camino medio entre cada reflexión para una onda y tener en cuenta las absorciones en cada reflexión. De este modo se obtiene también la dinámica de la sala.

Para empezar, es preciso calcular el número medio de reflexiones por unidad de tiempo. Para ello consideramos una sala con las dimensiones L_x, L_y y L_z , en la figura 7.5 representamos la sala en un plano y un trayecto de una onda plana en esta sala. La onda forma un ángulo θ_x con el eje x . El trayecto realizado entre dos reflexiones por la onda es:

$$l_x(\theta) = \frac{L_x}{|\cos(\theta)|} \quad (7.9)$$

tenemos $|\cos(\theta)|$ para tener distancias positivas cuando $\theta > \pi/2$. despreciando la primera reflexión podemos obtener la expresión del número de re-

flexiones en un tiempo t conociendo la velocidad c del sonido en el aire, es simplemente el trayecto recorrido en el tiempo t es decir ct entre el trayecto $l_x(\theta)$

$$N_x(\theta) = \frac{ct|\cos(\theta)|}{L_x} \quad (7.10)$$

La densidad de reflexiones por unidad de tiempo se halla derivando frente al tiempo:

$$n_x(\theta) = \frac{dN_x}{dt} = \frac{c|\cos(\theta)|}{L_x} \quad (7.11)$$

Esta cantidad depende del angulo θ , para tener una cantidad independiente de θ conviene promediar para todos los angulos como indicado en la figura 7.6, el calculo se detalla como:

$$\bar{n}_x = \frac{\int_0^{2\pi} \int_0^\pi n_x(\theta) \sin\theta d\theta d\Phi}{\int_0^{2\pi} \int_0^\pi \sin\theta d\theta d\Phi} = \frac{c \int_0^{2\pi} \int_0^\pi |\cos\theta| \sin\theta d\theta d\Phi}{4\pi L_x} \quad (7.12)$$

$$\bar{n}_x = \frac{c \int_0^{2\pi} \int_0^{\pi/2} \sin 2\theta d\theta d\Phi}{4\pi L_x} = \frac{2\pi c}{4\pi L_x} = \frac{c}{2L_x} \quad (7.13)$$

De la misma manera podemos definir la densidad temporal de reflexiones para las otras direcciones y y z y definimos la densidad total \bar{n} :

$$\bar{n} = \bar{n}_x + \bar{n}_y + \bar{n}_z = \frac{c}{2} \left(\frac{1}{L_x} + \frac{1}{L_y} + \frac{1}{L_z} \right) = \frac{cS}{4V} \quad (7.14)$$

tenemos $V = L_x L_y L_z$ y $S = 2(L_x L_y + L_x L_z + L_y L_z)$. Esta ecuación es por supuesto una aproximación, pero da resultados razonables para condiciones "normales". A partir de esta ecuación podemos definir el trayecto medio de una onda entre dos reflexiones como el ratio entre el la velocidad del sonido y la densidad del sonido:

$$\bar{l} = \frac{c}{\bar{n}} = \frac{4V}{S} \quad (7.15)$$

Ahora tenemos todas las herramientas para deducir la formula de Norris-Eyring. El planteamiento es bastante similar a lo que vimos anteriormente con las reflexiones entre dos parades con una absorbción entre cada reflexión de la onda. Esta vez consideramos la energia de una onda plana E_0 y calculamos la absorbción entre cada reflexión:

$$\begin{aligned} E_0 - \alpha E_0 &= E_0(1 - \alpha) \\ E_0(1 - \alpha) - \alpha E_0(1 - \alpha) &= E_0(1 - \alpha)^2 \\ &\vdots \\ E_0(1 - \alpha)^{k-1} - \alpha E_0(1 - \alpha)^{k-1} &= E_0(1 - \alpha)^k \end{aligned} \quad (7.16)$$

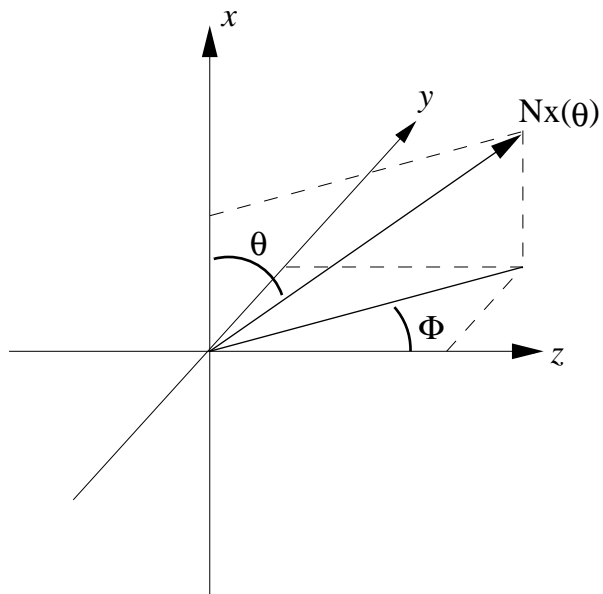


Figura 7.6: Para poder tener la cantidad media de reflexiones por unidades de tiempo integramos la densidad $n_x(\theta)$ sobre todos los ángulos posible de propagación es decir para $\theta \in [0; \pi]$ y $\Phi \in [0; 2\pi]$.

Después de k reflexiones la energía residual es $E_0(1 - \alpha)^k$. α aquí es el coeficiente medio de absorción en las paredes de la sala. Hemos calculado el número medio de rayos reflejados por segundos como $\bar{n} = cS/4V$ y podemos entonces deducir el tiempo de decaimiento sabiendo que el número de rayos en función del tiempo es $k = \bar{n}t$ y la intensidad de la onda en función del tiempo (cuando la fuente se apaga) es:

$$L(t) = 10 \log \frac{E_0(1 - \alpha)^{\bar{n}t}}{E_r} \quad (7.17)$$

con E_r la energía de referencia para el umbral de sensibilidad. El tiempo T_r de reverberación de una sala se puede escribir entonces como el tiempo a partir del cual tenemos $60dB$ de atenuación es decir: $L_0 - L(T_r) = 60dB$ con respecto a la intensidad inicial: $L_0 = 10 \log E_0/E_r$. Después del cálculo tenemos la **formula de Norris-Eyring**:

$$T_r = \frac{-0,16V}{S \ln(1 - \alpha)} \quad (7.18)$$

Esta fórmula aproxima mejor el tiempo de reverberación cuando la absorción α es grande. Para absorpciones pequeñas la fórmula de Sabine consiste en una mejor aproximación debido al tipo de hipótesis.

Podemos dar algunos ejemplos para distintos tipos de salas.

Material	coeficiente
Cemento pintado	0.06
Cristal	0.18
Cortinas espesas	0.55
Suelo de madera	0.1
Alfombra	0.14
Isolante acústico sobre paredes	0.76

7.3. Claridad

La claridad es un criterio de calidad de una sala, consiste en medir la energía contenida en los primeros 80 ms de un sonido. El resto del sonido se considera como "ruido". Este parámetro se define como:

$$C_{80} = 10 \log \frac{\text{Energía en los primeros 80ms}}{\text{Energía después de 80 ms}} \quad (7.19)$$

El criterio subjetivo de calidad para una buena acústica se encuentra entre -6db y 6db. Una sala con una claridad por debajo de 6dB sera confusa, como una iglesia. Por encima de 6dB la sala es demasiado absorbente y se considera como "seca". Se pueden calcular ejemplos de claridad a partir del tiempo de reverberación de una sala.

Suponemos una sala con un tiempo de reverberación T_r . Al emitir un sonido, la intensidad de este decrece exponencialmente con el tiempo:

$$I(t) = I_0 e^{-t/T_r} \quad (7.20)$$

La energía y la claridad pueden deducir se entonces facilmente con esta formula:

$$C_{80} = 10 \log \frac{\int_0^{80ms} I_0 e^{-t/T_r} dt}{\int_{80ms}^{\infty} I_0 e^{-t/T_r} dt}$$

calculamos:

$$C_{80} = 10 \log \frac{-T_r [e^{-t/T_r}]_0^{80ms}}{-T_r [e^{-t/T_r}]_{80ms}^{\infty}} = 10 \log (e^{80ms/T_r} - 1)$$

7.4. Criterios para una buena acústica

Obtener una acústica buena es un compromiso entre varios factores y depende también del tipo de aplicación. Primero para la claridad se necesita un tiempo de reverberación corto pero para tener un buen nivel sonoro se requiere un alto nivel de sonido reverberado. También para la vivacidad del sonido un tiempo mas largo de reverberación se requiere. Algunas características que se toman en cuenta son:

- Un nivel sonoro aceptable
- Se tiene que escuchar bien en todos los sitios.
- La claridad requiere unos materiales absorbentes para que el sonido directo sea lo suficientemente fuerte.
- Vivacidad: el espectador tiene que estar bañado en el sonido de todas partes.
- Ecos, el primer sonido reverberado tiene que llegar lo suficientemente pronto.
- El ruido externo y interno tiene que ser reducido al maximo.

Bibliografía

- [1] Antonio Fischetti Initiation à l'acoustique, Belin sup.
- [2] Thomas D Rossing, Neville Fletcher, Principle of vibration and sound, Springer 2004.
- [3] Philip M. Morse, K. Uno Ingard, Theoretical Acoustics, Princeton University Press, 1987.
- [4] Daniel R. Raichel, The Science and Applications of Acoustics, Springer, 2006.
- [5] Frank Fahy, Foundations of engineering acoustics, Academic Press, 2003.
- [6] Kinsler, Frey, Coppens y Sanders, Fundamentals of acoustics Lawrence John Wiley and Sons, 2000.
- [7] M. A. Saposhkov, Electroacústica, Reverté, 1983.
- [8] Leo Beranek. Physics Acoustics. MIT press.